
**POUR $l \neq 2$, LA \mathbb{Z}_l -COHOMOLOGIE DU MODÈLE DE
DELIGNE-CARAYOL ET DES VARIÉTÉS DE SHIMURA DE
KOTTWITZ EST SANS TORSION**

par

Boyer Pascal

Résumé. — Nous montrons que pour $l \neq 2$, il n'y a pas de torsion dans la \mathbb{Z}_l -cohomologie du modèle de Deligne Carayol ainsi que dans celle des variétés de Shimura simples de Kottwitz.

Abstract (For $l \neq 2$, the \mathbb{Z}_l -cohomology of Deligne-Carayol's model and those of Shimura varieties of Kottwitz is without torsion)

For $l \neq 2$, we prove that there is no torsion in the \mathbb{Z}_l -cohomology of the local model of Deligne-Carayol and in those of the simple Shimura varieties of Kottwitz.

Table des matières

Introduction.....	1
1. Rappels sur les représentations de $GL_n(K)$	2
1.1. sur $\overline{\mathbb{Q}}_l$ avec $l \neq p$: représentations elliptiques.....	2
1.2. sur $\overline{\mathbb{F}}_l$ avec $l \neq p$: niveau de Whittaker.....	4
1.3. sur $\overline{\mathbb{F}}_l$ avec $l \neq p$: classification à la Zelevinski.....	4
1.4. Représentations superunipotentes ; niveau de cuspidalité.....	6
1.5. Involution de Zelevinski et réduction modulo l	7
1.6. Cas limite classique.....	8
1.7. Réduction modulo l des représentations elliptiques.....	9
2. Réduction modulo l de la cohomologie.....	14
3. Données géométriques et résultats cohomologiques de [2].....	15
3.1. Le modèle local de Deligne-Carayol.....	15
3.2. Variétés de Shimura simples et systèmes locaux.....	16
4. Énoncé du théorème local.....	18
5. Énoncé du théorème global.....	18
6. Suites spectrales.....	19
6.1. Faisceaux pervers et suites spectrales de stratification.....	19
6.2. Suite spectrale de stratification des extensions par zéro des systèmes locaux d'Harris-Taylor.....	20
6.3. Suite spectrale de stratification du complexe des cycles évanescents.....	21
6.4. Suites spectrales d'autodualité.....	22
7. Principe de la preuve.....	22
7.1. Initialisation.....	24
7.2. Hypothèses de récurrence.....	27
8. Structures entières des suites spectrales de.....	31

Classification mathématique par sujets (2000). — 14G22, 14G35, 11G09, 11G35, 11R39, 14L05, 11G45, 11Fxx.

Mots clefs. — Variétés de Shimura, modules formels, correspondances de Langlands, correspondances de Jacquet-Langlands, faisceaux pervers, cycles évanescents, filtration de monodromie, conjecture de monodromie-poids.

8.1. stratification de l'extension par zéro.....	31
8.2. stratification des cycles évanescents.....	33
8.3. dualité.....	35
9. Preuve de l'inductivité.....	36
9.1. Étape 1.....	37
9.2. Étape 2.....	39
9.3. Étape 3.....	40
9.4. Étape 4.....	42
9.5. Étape 5.....	44
10. Trivialité de la torsion des groupes de cohomologie.....	44
10.1. des extensions intermédiaires et par zéro des $\mathcal{F}_{\overline{\mathbb{Z}}_l}(t, \pi_v)$	44
10.2. de la variété de Shimura.....	45
11. Figures.....	46
Références.....	52

Introduction

Dans [2], nous avons étudié la $\overline{\mathbb{Q}}_l$ -cohomologie du modèle de Deligne-Carayol et des variétés de Shimura simples à la Kottwitz. L'objectif de ce texte est de faire de même sur $\overline{\mathbb{F}}_l$. Ne disposant plus des arguments de poids, l'idée est donc d'étudier la torsion dans la \mathbb{Z}_l -cohomologie. Le résultat principal est que, pour $l \neq 2$, cette torsion est nulle. Comme dans loc. cit., il y a un jeu de va et vient entre les situations locales et globales ; à l'instar de [2], on étudie tout d'abord les faisceaux de cohomologie en raisonnant par récurrence sur le modèle local et ensuite, parallèlement à [1], on étudie les groupes de cohomologie.

Pour remplacer la filtration de monodromie-poids de $R\Psi_{\eta_v}(\overline{\mathbb{Q}}_l)$ utilisée dans [2], on considère la $\overline{\mathbb{F}}_l$ -filtration de stratification de $R\Psi_{\eta_v}(\overline{\mathbb{F}}_l)$ donnée par les strates de Newton dont les gradués, par comparaison avec ce qui se passe sur $\overline{\mathbb{Q}}_l$, sont les $\overline{\mathbb{F}}_l$ -faisceaux pervers d'Harris-Taylor. On dispose alors d'une suite spectrale de "stratification" dont les termes initiaux sont les faisceaux de cohomologie des $\overline{\mathbb{F}}_l$ -faisceaux pervers de Harris-Taylor et qui calcule les faisceaux de cohomologie du $\overline{\mathbb{F}}_l$ -complexe des cycles évanescents. Ainsi la torsion dans le modèle local peut provenir soit du fait que les faisceaux de cohomologie des $\overline{\mathbb{F}}_l$ -faisceaux pervers d'Harris-Taylor ne sont pas la réduction modulo l de leur $\overline{\mathbb{Z}}_l$ -version, soit du fait que les $\overline{\mathbb{Z}}_l$ -flèches non nulles de la suite spectrale deviennent nulles après réduction modulo l .

Malheureusement il n'est pas possible de détacher une première étape qui consisterait à prouver, proposition (5.0.14), que les faisceaux pervers de Harris-Taylor sont sans torsion. L'ingrédient décisif, corollaire (7.0.5), est une propriété "d'autodualité" vérifiée par les fibres des faisceaux pervers des cycles évanescents donnée par Laurent Fargues dans [4]. On est alors amené naturellement à contrôler les "deux bouts" de la suite spectrale précédente. Concrètement pour tout diviseur g de $d = sg$, on raisonne par récurrence sur t de 0 à $\lfloor \frac{s-2}{2} \rfloor$, en supposant connue la " g -partie" des termes initiaux $E_1^{p,q}$ de la suite spectrale précédente pour $p + q \leq 1 - s + t$ et $-t \leq p + q \leq 0$. On introduit les suites spectrales de stratification des extensions par zéro des systèmes locaux d'Harris-Taylor ainsi que les suites spectrales de "dualité" des faisceaux pervers d'Harris-Taylor. Le principe est alors de raisonner par récurrence sur ces familles de suites spectrales. Afin d'utiliser ce qui a été fait sur $\overline{\mathbb{Q}}_l$, on introduit les $\overline{\mathbb{Z}}_l$ -versions de ces familles de suites spectrales qui nous permettent, en quelque sorte, d'utiliser le lemme de Schur entre deux réduction modulo l de $\overline{\mathbb{Q}}_l$ -représentations entières, alors que ces réductions ne sont pas irréductibles. Au final, pour montrer que les scalaires non nuls associés d'après le lemme de Schur, aux flèches non nulles des $\overline{\mathbb{Z}}_l$ -suites spectrales étudiées, sont de valuation nulle, on se ramène en utilisant (7.0.5), à prouver que certaines $\overline{\mathbb{F}}_l$ -représentations ne sont pas des sous-quotients de la réduction modulo l de certaines $\overline{\mathbb{Q}}_l$ -représentations entières ; cette technique nous force alors à supposer $l \neq 2$.

Une fois prouvé le fait que les $\overline{\mathbb{Z}}_l$ -faisceaux de cohomologies des faisceaux pervers de Harris-Taylor sont sans torsion, on s'attaque à la cohomologie de ces derniers dont on prouve qu'elle est

sans torsion. Finalement on prouve que la cohomologie globale de la variété de Shimura est sans torsion.

Le plan de l'article s'articule comme suit. Pour K une extension finie de \mathbb{Q}_p , on rappelle quelques notions et résultats sur les représentations de $GL_n(K)$ sur $\overline{\mathbb{Q}}_l$, §1.1, puis modulo l . Outre la notion de niveau de Whittaker, §1.2, on utilise la notion de niveau de cuspidalité, §1.4.7, qui est liée à la notion de représentation unipotente et superunipotente, §1.4. En vue de l'utilisation de (7.0.5), on rappelle, d'après [11], la définition de l'involution de Zelevinski dans ce contexte et ses propriétés élémentaires, §1.5. Comme mentionnée ci-avant, l'argument final repose sur l'étude de la réduction modulo l des représentations elliptiques présentes dans la description de la $\overline{\mathbb{Q}}_l$ -cohomologie du modèle local ; on se ramène à savoir si la triviale peut en être un sous-quotient, §1.7.

Après quelques banalités sur la réduction modulo l de la cohomologie entière, §2, on introduit la situation locale, §3.1 celle du modèle de Deligne-Carayol, puis globale, §3.2 celle des variétés de Shimura de [6] introduites par Kottwitz. On énonce ensuite, §4, le fait qu'il n'y a pas de torsion dans la \mathbb{Z}_l -cohomologie du modèle de Deligne-Carayol, théorème (4.0.12), ce qui fournit la description dans le groupe de Grothendieck correspondant des faisceaux de $\overline{\mathbb{F}}_l$ -cohomologie de ces modèles. En global, proposition (5.0.14), les faisceaux pervers d'Harris-Taylor sont sans torsion, toutefois comme mentionné plus haut cet énoncé ne sera prouvé qu'à la toute fin du raisonnement, dans le même temps que l'énoncé local. En ce qui concerne la torsion des groupes de cohomologie globaux, on énonce, théorème (5.0.15), que celles-ci sont nulles pour les extensions intermédiaires ou par zéro des systèmes locaux de Harris-Taylor pour $l \neq 2$ et qu'alors il en est de même pour la cohomologie de la variété de Shimura.

Concernant la preuve des résultats, on introduit §6, les diverses suites spectrales que l'on utilisera : celles associées à la filtration de stratification des extensions par zéros des systèmes locaux d'Harris-Taylor §6.2, du complexe des cycles évanescents §6.3, puis celles d'autodualité des faisceaux pervers d'Harris-Taylor §6.4. Le principe de la preuve repose sur le corollaire (7.0.5) prouvé par Fargues dans [4]. On commence alors §7.1 par étudier les premiers termes des suites spectrales introduites, puis on définit §7.2, sur celles-ci un certain nombre d'hypothèses de récurrence reliées entre elles. Pour leur étude, on essaie d'utiliser les résultats de [2] ce qui nous amène à introduire les $\overline{\mathbb{Z}}_l$ -versions des suites spectrales précédentes, §8 en expliquant les renseignements que l'on peut tirer des résultats sur $\overline{\mathbb{Q}}_l$. Enfin dans le dernier paragraphe §9, il s'agit de prouver l'inductivité de nos hypothèses de récurrence ; celle-ci est découpée en 5 étapes chacune d'elles reposant sur l'étude des représentations de $GL_n(K)$ modulo l .

En ce qui concerne la torsion des groupes de cohomologie globaux, de l'étude des suites spectrales de stratification de l'extension par zéro des systèmes locaux d'Harris-Taylor jointe à celle associée aux faisceaux de cohomologie de ses extensions intermédiaires, on obtient, théorème (10.1.1), la nullité de la torsion de la cohomologie de ces deux extensions. De la suite spectrale de stratification du complexe des cycles évanescents en deux places v et v' non ramifiées, on en déduit alors, théorème (10.2.1), la trivialité de la torsion des groupes de cohomologie des variétés de Shimura considérées.

1. Rappels sur les représentations de $GL_n(K)$

Dans la suite K désigne une extension finie de K de corps résiduel de cardinal q une puissance de p .

1.1. sur $\overline{\mathbb{Q}}_l$ avec $l \neq p$: représentations elliptiques. — On rappelle dans ce paragraphe, quelques notations sur les $\overline{\mathbb{Q}}_l$ -représentations admissibles de $GL_d(K)$, tirées de [2]. Pour π_1 et π_2 des représentations de respectivement $GL_{n_1}(K)$ et $GL_{n_2}(K)$, on rappelle que $\pi_1 \times \pi_2$ désigne l'induite $\text{Ind}_{P_{n_1, n_1+n_2}(K)}^{GL_{n_1+n_2}(K)} \pi_1(n_2/2) \otimes \pi_2(-n_1/2)$ relativement au parabolique standard. Dans le cas du parabolique opposé au standard, on notera la même induite $\pi_1 \times_{op} \pi_2$.

1.1.1. Définitions. — Soit g un diviseur de $d = sg$ et π une représentation cuspidale irréductible de $GL_g(K)$:

- les sous-quotients irréductibles de $V(\pi, s) := \pi(\frac{1-s}{2}) \times \pi(\frac{3-s}{2}) \times \cdots \times \pi(\frac{s-1}{2})$ seront dits elliptiques de type π ;

- $V(\pi, s)$ possède un unique quotient (resp. sous-espace) irréductible que l'on notera $[\overleftarrow{s-1}]_\pi$ (resp. $[\overrightarrow{s-1}]_\pi$); c'est une représentation de Steinberg (resp. de Speh) généralisée notée habituellement $St_s(\pi)$ (resp. $Speh_s(\pi)$);

- pour π_1 et π_2 des représentations respectivement de $GL_{t_1g}(K)$ et $GL_{t_2g}(K)$, on notera $\pi_1 \overrightarrow{\times} \pi_2$ (resp. $\pi_1 \overleftarrow{\times} \pi_2$) l'induite $\pi_1(-t_2/2) \times \pi_2(t_1/2)$ (resp. $\pi_1(t_2/2) \times \pi_2(-t_1/2)$) relativement au parabolique standard. On notera comme précédemment $\overrightarrow{\times}_{op}$ et $\overleftarrow{\times}_{op}$ les mêmes induites relativement au parabolique opposé.

Convention : on conviendra que $\Pi_t \times [\overleftarrow{-1}]_\pi := \Pi_t$.

Propriétés : pour $(\pi_i)_{1 \leq i \leq 3}$ des représentations de $GL_{t_i g}(K)$, on a les égalités suivantes :

$$\begin{aligned} (\pi_1 \overrightarrow{\times} \pi_2)^\vee &\simeq \pi_1^\vee \overleftarrow{\times} \pi_2^\vee \\ (\pi_1 \overrightarrow{\times} \pi_2) \overrightarrow{\times}_g \pi_3 &= \pi_1 \overrightarrow{\times} (\pi_2 \overrightarrow{\times} \pi_3) \\ (\pi_1 \overleftarrow{\times} \pi_2) \overleftarrow{\times}_g \pi_3 &= \pi_1 \overleftarrow{\times} (\pi_2 \overleftarrow{\times} \pi_3) \end{aligned}$$

On a les mêmes égalités pour les versions relativement aux paraboliques opposés au standard. En outre si π_1 et π_2 sont elliptiques de type π , il en est de même de $\pi_1 \overrightarrow{\times} \pi_2$ et donc de $\pi_1 \overleftarrow{\times} \pi_2$.

Propriétés : pour g un diviseur de $d = sg$ et π une représentation irréductible cuspidale de $GL_g(K)$, on a pour $1 \leq t \leq s$:

- l'induite

$$[\overleftarrow{t-1}]_\pi \overrightarrow{\times} [\overrightarrow{s-t-1}]_\pi \quad (\text{resp. } [\overleftarrow{t-1}]_\pi \overrightarrow{\times}_{op} [\overrightarrow{s-t-1}]_\pi)$$

est de longueur 2 ; on notera

$$[\overleftarrow{t-1}, \overrightarrow{s-t}]_\pi, \quad (\text{resp. } [\overrightarrow{s-t}, \overleftarrow{t-1}]_\pi)$$

son unique sous-espace irréductible, et

$$[\overleftarrow{t}, \overrightarrow{s-t-1}]_\pi \quad (\text{resp. } [\overrightarrow{s-t-1}, \overleftarrow{t}]_\pi)$$

son unique quotient irréductible ;

- par dualité, l'induite

$$[\overleftarrow{t-1}]_\pi \overleftarrow{\times} [\overrightarrow{s-t-1}]_\pi \quad (\text{resp. } [\overleftarrow{t-1}]_\pi \overleftarrow{\times}_{op} [\overrightarrow{s-t-1}]_\pi)$$

est de longueur 2 avec

$$[\overrightarrow{s-t-1}, \overleftarrow{t}]_\pi \quad (\text{resp. } [\overleftarrow{t}, \overrightarrow{s-t-1}]_\pi)$$

pour unique sous-espace irréductible et

$$[\overrightarrow{s-t}, \overleftarrow{t-1}]_\pi \quad (\text{resp. } [\overleftarrow{t-1}, \overrightarrow{s-t}]_\pi)$$

pour unique quotient irréductible.

1.1.2 — Foncteur de Jacquet : soit $P = MN$ un parabolique de GL_d de Lévi M et de radical unipotent N . Pour π une représentation admissible de $GL_d(K)$, l'espace des vecteurs $N(K)$ -coinvariants est stable sous l'action de $M(K) \simeq P(K)/N(K)$. On notera $J_N(\pi)$ cette représentation tordue par $\delta_P^{-1/2}$.

1.1.3. Définition. — Pour une suite r_1, r_2, \dots, r_k telle que $\sum_{i=1}^k r_i = d$, on note P_{r_1, r_2, \dots, r_k} le sous-groupe parabolique de GL_d standard associé au sous-groupe de Levi $GL_{r_1}(F_v) \times GL_{r_2}(F_v) \times \cdots \times GL_{r_k}(F_v)$ et on note N_{r_1, \dots, r_k} son radical unipotent. On mettra en exposant op pour désigner les paraboliques opposés.

Propriétés : soit g un diviseur de $d = sg$ et π une représentation irréductible cuspidale de $GL_g(K)$, on a

$$\begin{aligned} J_{N_{tg,sg}}(\overleftarrow{[s-1]}_\pi) &= \overleftarrow{[t-1]}_{\pi((s-t)/2)} \otimes \overleftarrow{[s-t-1]}_{\pi(-t/2)} \\ J_{N_{tg,sg}}(\overrightarrow{[s-1]}_\pi) &= \overrightarrow{[t-1]}_{\pi((t-s)/2)} \otimes \overrightarrow{[s-t-1]}_{\pi(t/2)} \\ J_{N_{tg,sg}^{op}}(\overleftarrow{[s-1]}_\pi) &= \overleftarrow{[t-1]}_{\pi((t-s)/2)} \otimes \overleftarrow{[s-t-1]}_{\pi(t/2)} \\ J_{N_{tg,sg}^{op}}(\overrightarrow{[s-1]}_\pi) &= \overrightarrow{[t-1]}_{\pi((s-t)/2)} \otimes \overrightarrow{[s-t-1]}_{\pi(-t/2)} \end{aligned}$$

1.2. sur $\overline{\mathbb{F}}_l$ avec $l \neq p$: niveau de Whittaker. — *Modèles de Whittaker et dérivées* : soit $\psi : \mathbb{Z}_p \rightarrow \overline{\mathbb{F}}_l^\times$ un caractère. Pour $\lambda = (\lambda_1 \geq \lambda_2 \geq \dots)$ une partition de n , on définit un caractère $\psi_\lambda(u) := \psi(\sum_i u_{i,i+1})$ sur le radical unipotent U du Borel standard de $GL_n(K)$ où la somme porte sur les indices $1 \leq i < n$ tels que $i \neq \lambda_1, \lambda_1 + \lambda_2, \dots$. Pour $\lambda = (\lambda_i)$ et $\lambda' = (\lambda'_i)$ deux partitions de n , on dit que $\lambda \geq \lambda'$ si $\lambda_1 \geq \lambda'_1, \lambda_1 + \lambda_2 \geq \lambda'_1 + \lambda'_2 \dots$

1.2.1. Définition. — Pour une $\overline{\mathbb{F}}_l$ -représentation π de $GL_n(K)$, on note λ_π une des partitions maximales λ de n telle que le nombre fini $m(\pi, \lambda) := \dim_{\overline{\mathbb{F}}_l} \text{Hom}_{\overline{\mathbb{F}}_l U}(\pi|_U, \psi_\lambda)$ est non nul.

1.2.2. Définition. — Si π est irréductible alors d'après [10] III.1.8, λ_π est unique. L'ordre de Bruhat sur les partitions d'un entier n , définit alors une relation d'ordre partiel sur les représentations irréductibles de $GL_n(K)$: on y référera comme **le niveau de Whittaker**.

Une représentation irréductible π de niveau de Whittaker maximal, i.e. telle que $\lambda_\pi = (n)$, est dite **non dégénérée** ou encore **générique** et on a $m(\pi, (n)) = 1$; c'est l'unicité du modèle de Whittaker. Quand $m(\pi, \lambda) \neq 0$, on dit que π a un modèle de λ -Whittaker.

1.2.3. Définition. — Soit π une représentation de longueur finie. Pour $k \geq 1$, la dérivée d'ordre k , $\pi^{(k)}$ de π est la restriction parabolique de $GL_n(K)$ à $GL_{n-k}(K) \times GL_k(K)$ suivie par l'application sur les $GL_{n-k}(K)$ -représentations, donnée par le nombre de modèles de Whittaker non dégénérés de sa $GL_k(K)$ -partie.

Propriétés : - la composée des dérivées d'ordre λ_i est égal à $m(\pi, \lambda)$, en tant que représentation de longueur finie de $\{1\}$;

- le foncteur dérivé d'ordre k est exact ;

- une $\overline{\mathbb{F}}_l$ -représentation irréductible a une dérivée d'ordre strictement positif non nulle ;

- on a $m(\pi, \lambda) = \sum_{\rho \in JH(\pi)} m(\rho, \lambda)$;

- pour π irréductible, λ_π se calcule comme suit. Soit k_1 le plus grand entier tel que $\pi^{(k_1)} \neq (0)$.

Si $k_1 = n$ alors $\lambda_\pi = (n)$ sinon soit $1 \leq k_2 \leq \inf(n - k_1, k_1)$ tel que la dérivée d'ordre k_2 de $\pi^{(k_1)}$ soit non nulle. Si $k_1 + k_2 = n$ alors $\lambda_\pi = (k_1, k_2)$ sinon on recommence jusqu'à obtenir $k_1 + \dots + k_r = n$.

1.3. sur $\overline{\mathbb{F}}_l$ avec $l \neq p$: classification à la Zelevinski. — Soient l et p des nombres premiers distincts ; étant donnée q une puissance de p , on note $e_l(q)$ l'ordre de l'image de q dans $\overline{\mathbb{F}}_l^\times$.

1.3.1. Définition. — Une représentation π de $GL_d(K)$ est dite cuspidale si pour tout parabolique propre de radical unipotent N , $J_N(\pi)$ est nul. Elle sera dite supercuspidale si elle n'est pas un sous-quotient d'une induite parabolique propre. On notera $\text{Cusp}_l = \bigcup_{n \geq 1} \text{Cusp}_l(n)$ la réunion de l'ensemble des classes d'isomorphismes des $\overline{\mathbb{F}}_l$ -représentations irréductibles cuspidales de $GL_n(K)$.

Le caractère non ramifié $\nu : g \in GL_n(K) \mapsto p^{\text{val}(\det g)} \in \overline{\mathbb{F}}_l$ agit sur Cusp_l par multiplication.

1.3.2. Définitions. — - Un segment de Zelevinski de longueur $r \geq 1$ est une suite (ρ, r) de longueur r dans Cusp_l de la forme

$$(\rho, r) = (\rho, \rho\nu, \dots, \rho\nu^{r-1}).$$

- Étant donné $\rho \in \text{Cusp}_l$, le **bloc** qui lui est associé est le sous-ensemble $\rho\nu^{\mathbb{Z}}$.

1.3.3 — Représentations de Steinberg : étant donné un multi-ensemble $s = \{\rho_1, \dots, \rho_t\}$, on note $\pi(s) = \rho_1 \times \dots \times \rho_t$ l'induite parabolique normalisée $n - \text{ind } \rho_1 \otimes \dots \otimes \rho_t$. Soit (ρ, s) un segment de Zelevinski, l'induite parabolique $\rho \times \rho\nu \times \dots \times \rho\nu^{s-1}$ admet un unique sous-quotient non dégénéré, i.e. qui ait un modèle de Whittaker : c'est une représentation de Steinberg généralisée que l'on note $\text{St}_s(\rho)$.

1.3.4. Définition. — La "droite" associée à ρ est par définition l'ensemble $\{\rho(i) / i \in \mathbb{Z}\}$; il est de cardinal fini $\epsilon(\rho)$ un diviseur de $e_l(q)$, cf. [12] p.51. On pose comme dans loc. cit. $m(\rho) = \epsilon(\rho)$ si $\epsilon(\rho) > 1$ et sinon $m(\rho) = l$.

1.3.5. Proposition. — ([12] III.5.14) La représentation $\text{St}_s(\rho)$ est cuspidale si et seulement si

$$s = 1, m(\rho), m(\rho)l, \dots, m(\rho)l^u, \dots$$

La réunion de ces dernières avec les supercuspidales forment l'ensemble des représentations cuspidales.

1.3.6. Définitions. — - Un **paramètre de Zelevinski** est un multi-ensemble $a = (\rho_i, r_i)_{1 \leq i \leq t}$ de segments de Zelevinski dans Cusp_l ; le support s de a est la réunion des multi-ensembles (ρ_i, r_i) .

- Un paramètre de Zelevinski de la forme $(\rho_i, r)_{1 \leq i \leq t}$ où (ρ_1, \dots, ρ_t) est un segment $(\rho, m(\rho)l^u)$ pour $u \geq 0$, est appelé **un cycle**.

- Un paramètre de Zelevinski qui ne contient pas de cycle est dit **restreint**. Si son support cuspidal est supercuspidal le paramètre est dit **supercuspidal**.

Remarque : (cf. [12] p.54) étant donné un paramètre de Zelevinski a , si le segment (ρ, r) apparaît dans a avec a cuspidal mais non supercuspidal, alors il existe une représentation ρ' supercuspidale et un entier $s = m(\rho')l^u$ tel que $\rho = \text{St}_s(\rho')$. En remplaçant systématiquement de tels (ρ, r) par le cycle $(\rho'\nu^i, r)_{0 \leq i < s}$, on obtient un paramètre supercuspidal a_{sc} . En procédant en sens inverse on peut remplacer tous les cycles par des segments de la forme $(\text{St}_s(\rho)\nu^i, r)_{0 \leq i < s}$ afin d'obtenir un paramètre restreint a_{rst} .

1.3.7 — Classification des représentations irréductibles : cf. [12] V.9 : étant donné un paramètre de Zelevinski $a = (\rho_i, r_i)_{1 \leq i \leq t}$, on lui associe une représentation irréductible $\langle a \rangle$ qui vérifie les propriétés suivantes :

- si $a = (\rho, r)$ alors $\langle \rho, r \rangle$ est l'unique, à isomorphisme près⁽¹⁾, sous-représentation de l'induite parabolique $\rho \times \rho\nu \times \dots \times \rho\nu^{r-1}$ telle que

$$r_{P_{n, 2n, \dots, rn}, GL_{nr}}(\langle \rho, r \rangle) = \rho \times \dots \otimes \rho\nu^{r-1}$$

où $P_{n, 2n, \dots, rn}$ est le parabolique standard de Levi GL_n^r ;

- de manière générale $\langle a \rangle$ est l'unique sous-quotient de $\pi(a)$ tel que $\lambda_{\langle a \rangle} = \lambda_{\pi(a)}$;

- on a $\langle a \rangle = \langle a_{sc} \rangle = \langle a_{rst} \rangle$ et le support supercuspidal (resp. cuspidal) de $\langle a \rangle$ est le support de a_{sc} (resp. de a_{rst});

- pour a et a' deux paramètres de Zelevinski supercuspidaux distincts alors $\langle a \rangle$ et $\langle a' \rangle$ ne sont pas isomorphes;

- l'application $a \mapsto \langle a \rangle$ est surjective.

⁽¹⁾i.e. la multiplicité n'est pas forcément égale à 1 dans le cas non banal

- la dérivée d'ordre n de $\langle \rho, r \rangle$ est $\langle \rho, r-1 \rangle$ qui est l'unique dérivée d'ordre strictement positive non nulle.

1.3.8 — *Classification des représentations génériques* : cf. [12] V.7 : toute $\overline{\mathbb{F}}_l$ -représentation générique π de $GL_n(K)$ est une induite irréductible

$$\pi = \times_{i=1}^t \text{St}_{r_i}(\rho_i)$$

où $(\rho_i, r_i)_{1 \leq i \leq t}$ est un paramètre de Zelevinski restreint s tel que pour tout $i \neq j$, (ρ_i, r_i) et (ρ_j, r_j) ne sont pas liés.

Par ailleurs pour tout paramètre de Zelevinski a tel que $a_{rst} = s$, π est l'unique sous-quotient irréductible non dégénéré des induites paraboliques $\pi(a)$, $\pi(a_{sc})$ et $\pi(a_{rst})$.

1.4. Représentations superunipotentes ; niveau de cuspidalité. — Rappelons qu'un bloc dans $\text{mod}_{\overline{\mathbb{F}}_l} GL_n$ est une sous-catégorie abélienne pleine qui est un facteur direct sans être le produit direct de deux sous-catégories abéliennes non nulles.

Soit (M, ρ) une $\overline{\mathbb{F}}_l$ -représentation irréductible cuspidale d'un sous-groupe de Levi M d'un parabolique de GL_n . On considère

$$\text{Irr}_{\overline{\mathbb{F}}_l GL_n, [\rho]}, \quad \mathfrak{B}_{\overline{\mathbb{F}}_l GL_n, [\rho]}$$

avec $\text{Irr}_{\overline{\mathbb{F}}_l GL_n, [\rho]}$ l'ensemble des classes d'isomorphismes des $\overline{\mathbb{F}}_l$ -représentations irréductibles de GL_n qui sont des sous-quotients de $n - \text{ind}_M^{GL_n} \rho'$ pour (M', ρ') inertiellement équivalent à (M, ρ) et $\mathfrak{B}_{\overline{\mathbb{F}}_l GL_n, [\rho]}$ la sous-catégorie abélienne de $\text{mod}_{\overline{\mathbb{F}}_l} GL_n$ constituée des $\overline{\mathbb{F}}_l$ -représentations de GL_n dont tous les sous-quotients irréductibles sont dans $\text{Irr}_{\overline{\mathbb{F}}_l GL_n, [\rho]}$.

1.4.1. Définition. — Dans le cas où ρ est la représentation triviale du groupe des matrices diagonales, le bloc correspondant est appelé le bloc unipotent. Les représentations irréductibles de ce bloc sont appelés les **unipotentes**. Les représentations **superunipotentes** sont les unipotentes caractérisées par les deux propriétés équivalentes suivantes : il existe un vecteur fixe par le sous-groupe d'Iwahori standard, la restriction parabolique au groupe diagonal n'est pas nul.

1.4.2. Théorème. — (cf. [12] théorème III.6) *La catégorie $\text{mod}_{\overline{\mathbb{F}}_l} GL_n$ est un produit direct de blocs, chaque bloc étant de la forme $\mathfrak{B}_{\overline{\mathbb{F}}_l GL_n, [\rho]}$.*

1.4.3. Proposition. — (cf. [12] IV.2.5, IV.6.2, IV.6.3) *On suppose ρ supercuspidal. Il existe alors un groupe G' de la forme $\prod_i GL_{n_i}(E_i)$ avec E_i une extension finie de K , ainsi qu'une bijection entre l'ensemble des représentations irréductibles cuspidal unipotentes de G' et $\text{Irr}_{\overline{\mathbb{F}}_l GL_n, [\rho]}$ qui respecte le support cuspidal.*

Remarque : dans le cas banal, on a même une équivalence de catégorie entre le bloc unipotent de G' et $\mathfrak{B}_{\overline{\mathbb{F}}_l GL_n, [\rho]}$.

1.4.4. Définition. — Soit ρ_0 une représentation cuspidale de $GL_g(K)$ pour g un diviseur de $d = sg$, et soit $\rho = \rho_0(\frac{1-s}{2}) \otimes \cdots \otimes \rho_0(\frac{s-1}{2})$ la représentation cuspidale de $M = GL_g(K)^s$. On dira d'une représentation dans le bloc $\mathfrak{B}_{\overline{\mathbb{F}}_l GL_n, [\rho]}$, qu'elle est ρ_0 -superunipotente si sa restriction parabolique au groupe diagonal par blocs M est non nulle. On notera Groth_{ρ_0-u} (resp. Groth_{ρ_0-su}) le groupe de Grothendieck des représentations ρ_0 -unipotentes (resp. ρ_0 -superunipotentes).

Remarque : les représentations superunipotentes sont avec cette définition les représentations 1_v -superunipotentes, où 1_v désigne la représentation triviale de K^\times .

Remarque : les foncteurs de Jacquet et d'induction ne respectent pas le caractère superunipotent. On introduit alors les groupes de Grothendieck superunipotent (resp. ρ_0 -superunipotent) en quotientant le groupe de Grothendieck classique par les non superunipotentes (resp. les non ρ_0 -superunipotentes).

1.4.5. Définition. — ([11] 4.4) Pour ρ une représentation cuspidale de $GL_g(K)$ pour g un diviseur de $d = sg$, $\mathcal{M}_\rho : \text{Groth}_{\rho-u} \rightarrow \text{Groth}_{\rho_0-su}$ désigne la projection du groupe de Grothendieck des représentations ρ -unipotentes sur celui des ρ -superunipotentes.

1.4.6. Corollaire. — (cf. [12] IV.6.3 p47) Pour ρ_0 cuspidale, on a une bijection $F_{G,G'}$ entre les représentations ρ_0 -superunipotentes du bloc $\mathfrak{B}_{\mathbb{F}_l, GL_n, [\rho]}$ et les représentations superunipotentes de $GL_s(E)$ pour une certaine extension finie E/K . Ces $F_{G,G'}$ commutent alors aux foncteurs de Jacquet et d'induction.

Démonstration. — Le fait qu'il n'y ait qu'un seul $GL_s(E)$ découle de la construction de loc. cit. IV.3.3. Le groupe de Grothendieck superunipotent correspond à celui des modules sur l'algèbre de Hecke-Iwahori. La bijection découle alors de l'isomorphisme entre ces deux algèbres et la commutativité des foncteurs de Jacquet et d'induction, modulo les non superunipotentes, découle de loc. cit. p47. \square

1.4.7. Proposition. — Étant donné une représentation π de $GL_d(K)$, on considère les paraboliqes P de GL_d de radical unipotent N , tels que le foncteur de Jacquet J_N appliqué à π soit non nul. Cet ensemble de paraboliqes admet alors un unique élément minimal au sens de l'inclusion des sous-groupes de Lévi. L'ordre de Bruhat sur les partitions de d donne alors une relation d'ordre partiel sur les représentations irréductibles de $GL_d(K)$: on y référera comme **le niveau de cuspidalité**.

Démonstration. — Soit P un élément minimal de Lévi $\prod_{i=1}^r GL_{n_i}(K)$; d'après la transitivité des foncteurs de Jacquet on en déduit que $J_N(\pi)$ est cuspidal. Par réciprocity de Frobenius, π est un sous-espace de l'induite parabolique $\pi_1 \times \cdots \times \pi_r$ où π_i est une représentation irréductible cuspidale de $GL_{n_i}(K)$. Le résultat découle alors de l'exactitude du foncteur de Jacquet et du fait que la proposition est classiquement vérifiée pour $\pi_1 \times \cdots \times \pi_r$ où les π_i sont cuspidaux. \square

Remarque : dans le bloc unipotent, les superunipotentes sont les représentations de niveau de cuspidalité minimal.

1.5. Involution de Zelevinski et réduction modulo l . — Dans [8] les auteurs décrivent l'involution de Zelevinski $Z_{\bar{\mathbb{F}}_l}$ sur les représentations **superunipotentes**. Les paramètres de Zelevinski des superunipotentes sont les paramètres des unipotentes qui ne possèdent pas de cycles.

1.5.1. Définition. — ([11] 4.4) Étant donnée une représentation irréductible cuspidale ρ de $GL_g(K)$ pour un diviseur g de $d = sg$, on note $Z_\rho : \text{Groth}_{\rho-su} \rightarrow \text{Groth}_{\rho-su}$ la composée de $D = \sum_{\Theta \subset \Delta} (-1)^{d-|\Theta|} \text{Ind}_{P_\Theta}^{GL_d} \circ \text{res}_\Theta$ avec la projection \mathcal{M}_ρ . D'après loc. cit. théorème 4.6, Z_ρ est une involution qui préserve l'irréductibilité.

1.5.2. Lemme. — Soit ρ une $\bar{\mathbb{Q}}_l$ -représentation irréductible entière cuspidale de $GL_n(K)$. La semi-simplifiée de la réduction modulo l de la Steinberg généralisée $\text{St}_r(\rho)$ est égale, dans le groupe de Grothendieck, à $D(< (r_l(\rho), r) >)$. Pour $r < m(r_l(\rho))$, on obtient simplement $\text{St}_r(r_l(\rho))$ tandis que pour $r \geq m(r_l(\rho))$, on obtient

$$\text{St}_r(r_l(\rho)) + Z_\rho(< (r_l(\rho), r) >) + \sum_i \pi_i$$

où les π_i sont des quotients éventuellement nuls de $\bar{\rho}_1 \times \cdots \times \bar{\rho}_k$ où les $\bar{\rho}_j$ sont des représentations cuspidales de la forme $\text{St}_{m(r_l(\rho))l^n}(r_l(\rho))$ tels que l'induite ait le même support supercuspidal que $\text{St}_r(r_l(\rho))$ et que les $\bar{\rho}_i$ ne soient pas tous égaux à $r_l(\rho)$.

Démonstration. — Le foncteur D commute au foncteur de réduction r_l d'où la première égalité. Par ailleurs comme les foncteurs dérivés commutent à r_l , l'unicité du modèle de Whittaker implique que $r_l(\text{St}_r(\rho))$ contient exactement une fois $\text{St}_r(r_l(\rho))$. La réductibilité de la Steinberg généralisée est donnée dans [10] et l'écriture de la semi-simplifiée découle du théorème 4.6 de [11]. \square

1.5.3. Lemme. — Pour $\epsilon(\rho) > 2$ (resp. $\epsilon(\rho) = 2$), $Z_\rho(\langle \rho, s \rangle)$ est égale à $\langle a \rangle$ pour le paramètre de Zelevinski a :

$$(\rho\nu^{-q}, q+1), (\rho\nu^{1-q}, q+1), \dots, (\rho\nu^{r-1-q}, q+1), (\rho\nu^{r+1-q}, q), (\rho\nu^{r+2-q}, q), \dots, (\rho\nu^{-1-q}, q)$$

où r est le reste de la division euclidienne de s par $\epsilon(\rho) - 1 > 1$: $s = q(\epsilon(\rho) - 1) + r$, (resp. $\langle \rho, s \rangle$ pour s pair et $\langle \rho(1), s \rangle$ pour s impair).

Démonstration. — D'après (1.4.6), on se ramène au cas superunipotent. Le résultat découle alors de la description de l'involution de Zelevinski donnée dans [8]. \square

1.6. Cas limite classique. — Cela signifie que $q \equiv 1 \pmod{l}$ et $d < l$. On s'intéresse aux représentations super-unipotentes, c'est à dire aux représentations engendrées par leurs vecteurs fixes sous le sous-groupe d'Iwahori standard I . D'après [10], le foncteur $V \mapsto V^I$ induit une équivalence de catégories entre la catégorie des représentations super-unipotentes et la catégorie des modules sur l'algèbre de Hecke-Iwahori. On en déduit alors le résultat bien connu suivant.

1.6.1. Proposition. — L'induite normalisée de la représentation triviale du Borel, est semi-simple. Ses facteurs irréductibles sont en bijection avec les représentations irréductibles du groupe symétrique Σ_d , la multiplicité étant alors égale à la dimension de la représentation de Σ_d associée.

Remarque : la bijection s'explique comme suit. On rappelle que les représentations irréductibles de Σ_d sont en bijection avec les diagrammes de Young $DY : n_1 \geq n_2 \geq \dots \geq n_r$ auquel on associe le paramètre de Zelevinski $a(DY) = (1, n_1), \dots, (1, n_r)$ et donc la représentation irréductible de $GL_d : \langle a(DY) \rangle$.

1.6.2. Proposition. — Étant donné un parabolique de Young $\Sigma_{n_1} \times \Sigma_{n_2}$ de Σ_n ainsi que deux diagrammes de Young DY_1, DY_2 de respectivement Σ_{n_1} et Σ_{n_2} , l'induite parabolique $\langle a(DY_1) \rangle \times \langle a(DY_2) \rangle$ est une somme directe $\bigoplus_{DY} \langle a(DY) \rangle$ qui porte sur les diagrammes de Young DY qui s'obtiennent à partir de DY_1 en lui adjoignant λ_1 carrés numérotés 1 sans en mettre plus d'un dans une même colonne, puis λ_2 numérotés 2 et ainsi de suite où $\lambda_1 \geq \lambda_2 \geq \dots$ est la partition de n_2 associée à DY_2 , de sorte qu'en comptant les nouveaux carrés du haut vers le bas et de droite à gauche, le nombre de i est supérieur ou égal au nombre de $i+1$ pour tout i . (cf. [5] corollaire 4.39 ainsi que l'appendice).

1.6.3. Corollaire. — Pour tout $s < l$ et pour tout $0 \leq i \leq s$, la réduction modulo l de $[\overleftarrow{i}, \overleftarrow{s-1-i}]_1$ et $[\overrightarrow{i}, \overleftarrow{s-1-i}]_1$ est irréductible.

Démonstration. — On raisonne par récurrence sur i , en partant du fait que pour $i = 0$, la réduction modulo l de $[\overleftarrow{s-1}]_1$ et $[\overleftarrow{s-1}]_1$ est irréductible. Supposons donc le résultat acquis jusqu'au rang i et traitons le cas de i . L'induite parabolique $[\overrightarrow{i}]_1 \times [\overleftarrow{s-2-i}]_1$ a pour sous-quotient $[\overrightarrow{i}, \overleftarrow{s-1-i}]_1$ et $[\overrightarrow{i+1}, \overleftarrow{s-2-i}]_1$. La réduction modulo l de cette induite est d'après la proposition précédente la somme directe $\langle a(DY_1) \rangle \oplus \langle a(DY_2) \rangle$ où DY_1 (resp. DY_2) est le diagramme de Young associé à la partition $(i+1, 1, \dots, 1)$ (resp. $(i+2, 1, \dots, 1)$). D'après l'hypothèse de récurrence la réduction modulo l de $[\overrightarrow{i}, \overleftarrow{s-1-i}]_1$ est $\langle a(DY_1) \rangle$ de sorte que celle de $[\overrightarrow{i+1}, \overleftarrow{s-2-i}]_1$ est $\langle a(DY_2) \rangle$ et est donc irréductible. Le raisonnement est identique pour $[\overleftarrow{i}, \overleftarrow{s-1-i}]_1$. \square

Remarque : on notera que la réduction modulo l de $[\overleftarrow{1}, \overrightarrow{1}, \overleftarrow{1}]_1$ n'est pas irréductible mais admet pour sous-quotient irréductible $\langle a(DY_1) \rangle$ et $\langle a(DY_2) \rangle$ où DY_1 (resp. DY_2) est le diagramme de Young associé à $(2, 1, 1)$ (resp. $(2, 2)$).

1.7. Réduction modulo l des représentations elliptiques. — Une $\overline{\mathbb{Q}}_l$ -représentation lisse de longueur finie π de $GL_n(K)$ est dite entière s'il existe une extension finie E/\mathbb{Q}_l d'anneau des entiers \mathcal{O}_E et une \mathcal{O}_E -représentation L de $GL_n(K)$ qui est un \mathcal{O}_E -module libre tel que $\overline{\mathbb{Q}}_l \otimes_{\mathcal{O}_E} L \simeq \pi$ et tel que L est un $\mathcal{O}_E GL_n(K)$ -module de type fini. Soit κ_E le corps résiduel de \mathcal{O}_E , on dit que $\kappa_E \otimes_{\mathcal{O}_E} L$ est la réduction de L et que $\overline{\mathbb{F}}_l \otimes_{\mathcal{O}_E} L$ est la réduction modulo l de L .

Principe de Brauer-Nesbitt : la semi-simplifiée de $\overline{\mathbb{F}}_l \otimes_{\mathcal{O}_E} L$ est une $\overline{\mathbb{F}}_l$ -représentation $r_l(\pi)$ de $GL_n(K)$ de longueur finie qui ne dépend pas du choix de L . On appelle $r_l(\pi)$ la réduction modulo l de π .

Remarque : la réduction modulo l ne respecte pas le caractère supercuspidal cependant la réduction modulo l d'une représentation irréductible entière supercuspidale est irréductible cuspidale.

On rappelle, cf. [10] II.4.12, qu'une $\overline{\mathbb{Q}}_l$ -représentation irréductible supercuspidale de $GL_n(K)$ est entière si et seulement si son caractère central est entier. De manière générale une représentation irréductible de $GL_n(K)$ est entière si et seulement si les constituants irréductibles de son support supercuspidal $sc(\pi)$ sont entiers.

Propriétés : - le foncteur r_l commute avec l'induction parabolique et les foncteurs de Jacquet ;
- soit ρ une $\overline{\mathbb{Q}}_l$ -représentation irréductible cuspidale de $GL_n(K)$; la réduction modulo l de $\langle \rho, r \rangle$, qui est une représentation de Sp_h , est irréductible isomorphe à $\langle r_l(\rho), r \rangle$;
- soit a un paramètre de Zelevinski sur $\overline{\mathbb{Q}}_l$, alors $\langle r_l(a) \rangle$ est l'unique sous-quotient de $r_l(\langle a \rangle)$ tel que $\lambda_{\langle a \rangle} = \lambda_{\langle r_l(a) \rangle}$;
- toute représentation cuspidale sur $\overline{\mathbb{F}}_l$ se relève en une représentation cuspidale sur $\overline{\mathbb{Q}}_l$, cf. [10] III.5.10 ; ainsi toute représentation irréductible sur $\overline{\mathbb{F}}_l$ est de la forme $\langle r_l(a) \rangle$ pour a un paramètre de Zelevinski sur $\overline{\mathbb{Q}}_l$;

1.7.1. Lemme. — (cf le lemme 6.11 de [3]) *Étant donnée une $\overline{\mathbb{Q}}_l$ -représentation entière irréductible π de $GL_n(K)$, il existe un réseau π^l tel que $\pi^l \otimes_{\mathbb{Z}_l} \overline{\mathbb{F}}_l$ est semi-simple.*

Remarque : dans le cas où $\text{St}_r(\rho)$ est réductible, il existe des réseaux tels que $\text{St}_r(r_l(\rho))$ est soit l'unique sous-espace, soit l'unique quotient de $r_l(\text{St}_r(\rho))$ soit un facteur direct.

Remarque : soit ρ une $\overline{\mathbb{Q}}_l$ -représentation irréductible cuspidale de $GL_n(K)$ telle que $r_l(\rho)$ soit supercuspidale et $\epsilon(r_l(\rho)) = 3$. On présente dans le tableau suivant la réduction modulo l des représentations elliptiques de $GL_{3n}(K)$ de type ρ :

$$\begin{aligned} \text{St}_3(\rho) = \langle \rho, \rho\nu, \rho\nu^2 \rangle &\mapsto \text{St}_3(r_l(\rho)) + \langle (r_l(\rho)\nu, 1), (r_l(\rho)\nu^2, 2) \rangle \\ \langle \rho, 1 \rangle, \langle \rho\nu, 2 \rangle &\mapsto \langle (r_l(\rho), 1), (r_l(\rho)\nu, 2) \rangle + \langle (r_l(\rho)\nu, 3) \rangle \\ \langle \rho, 2 \rangle, \langle \rho\nu^2, 1 \rangle &\mapsto \langle (r_l(\rho), 2), (r_l(\rho)\nu^2, 1) \rangle + \langle (r_l(\rho)\nu^2, 3) \rangle \\ \langle \rho, 3 \rangle &\mapsto \langle (r_l(\rho), 3) \rangle \end{aligned}$$

où l'involution de Zelevinski Z_ρ est

$$\begin{aligned} \langle (r_l(\rho), 3) \rangle &\longleftrightarrow \langle (r_l(\rho)\nu, 1), (r_l(\rho)\nu^2, 2) \rangle \\ \langle (r_l(\rho), 1), (r_l(\rho)\nu, 2) \rangle &\longleftrightarrow \langle (r_l(\rho)\nu^2, 3) \rangle \\ \langle (r_l(\rho), 2), (r_l(\rho)\nu^2, 1) \rangle &\longleftrightarrow \langle (r_l(\rho)\nu, 3) \rangle \end{aligned}$$

1.7.2. Lemme. — *Pour tout $0 \leq t \leq a$, la réduction modulo l de $[\overleftarrow{t}, \overrightarrow{a-t}]_\pi$ contient une unique représentation π -superunipotente que l'on notera $\mathcal{M}_l([\overleftarrow{t}, \overrightarrow{a-t}]_\pi) = \mathcal{M}_{r_l(\pi)}(r_l([\overleftarrow{t}, \overrightarrow{a-t}]))$.*

Démonstration. — - Le cas $t = 0$ est trivial puisque $r_l([\overrightarrow{a}]_\pi) = [\overrightarrow{a}]_{r_l(\pi)}$.

- Le cas $a = t$ se traite simplement par récurrence par application du foncteur de Jacquet $J_{N_{t,g,g}}$; en effet l'image de $[\overleftarrow{t}]_\pi$ est égale à $[\overleftarrow{t-1}]_{\pi(1/2)} \otimes [\overleftarrow{0}]_{\pi(-t/2)}$ dont la réduction modulo l , d'après

l'hypothèse de récurrence, ne contient qu'une seule représentation π -superunipotente. On conclut alors en remarquant que tout sous-quotient π -superunipotent de la réduction modulo l de $[\overleftarrow{t}]_\pi$ a une image π -superunipotente non nulle par tout foncteur de Jacquet.

- Dans le cas général, on considère un réseau tel que la réduction modulo l de $[\overleftarrow{t}, \overrightarrow{a-t}]_\pi$ soit semi-simple. Par application du foncteur de Jacquet $J_{N_{g,ag}}$ on en déduit alors que la réduction modulo l de $[\overleftarrow{t-1}]_{\pi(-1/2)} \overrightarrow{\times} [\overrightarrow{a-t-1}]_{\pi(1/2)}$ est semi-simple que l'on écrit sous la forme $\bigoplus_i \pi_i$: par ailleurs toutes les π -superunipotentes de $r_l([\overleftarrow{t}, \overrightarrow{a-t}]_\pi)$ contribuent pour au moins un π_i . Par réciprocity de Frobenius, on en déduit alors que pour tout i , $J_{N_{t_g, (a-t)_g}}(\pi_i)$ est un constituant de la réduction modulo l de $[\overleftarrow{t-1}]_{\pi(-1/2)} \otimes [\overrightarrow{a-t-1}]_{\pi(1/2)}$. Le résultat découle alors du fait que cette dernière n'admet qu'un seul constituant π -superunipotent d'après les cas $t = 0$ et $a = t$ et on conclut comme précédemment en arguant que toute représentation π -superunipotente a une image π -superunipotente non nulle par tout foncteur de Jacquet. \square

1.7.3. Lemme. — *Pour tout $0 < t < a$, l'image de $\mathcal{M}_l([\overleftarrow{t}, \overrightarrow{a-t}]_\pi)$ par le foncteur de Jacquet $J_{N_{(t+1)_g, (a-t)_g}}$ (resp. $J_{N_{(a-t+1)_g, t_g}}$, resp. $J_{N_{at, g}}$) contient*

$$\begin{aligned} & \mathcal{M}_l([\overleftarrow{t}]_{\pi(\frac{t-a}{2})}) \otimes [\overrightarrow{a-t-1}]_{r_l(\pi)(\frac{t+1}{2})}, \\ & \quad (\text{resp. } [\overrightarrow{a-t}]_{r_l(\pi)(-t/2)}) \otimes \mathcal{M}_l([\overleftarrow{t-1}]_{\pi(\frac{a-t+1}{2})}) \\ & \text{resp. } \mathcal{M}_l([\overleftarrow{t}, \overrightarrow{a-t-1}]_{\pi(-1/2)}) \otimes [\overrightarrow{0}]_{r_l(\pi(a/2))} + \\ & \quad \mathcal{M}_l([\overleftarrow{t-1}, \overrightarrow{a-t}]_{\pi(1/2)}) \otimes [\overrightarrow{0}]_{r_l(\pi(-a/2))} \end{aligned}$$

Démonstration. — Les différents cas se traitent de manière identique. En ce qui concerne le premier, d'après le lemme précédent, la réduction modulo l de $[\overleftarrow{t}]_\pi \overrightarrow{\times} [\overrightarrow{a-t-1}]_\pi$ admet exactement deux constituants π -superunipotent. Par ailleurs tout sous-espace ou quotient de $\mathcal{M}_l([\overleftarrow{t}]_\pi \overrightarrow{\times} [\overrightarrow{a-t-1}]_\pi)$ est par définition π -superunipotent. Le résultat découle alors de la réciprocity de Frobenius et du fait que $[\overleftarrow{t}, \overrightarrow{a-t}]_\pi$ est un sous-espace de $[\overleftarrow{t}]_\pi \overrightarrow{\times} [\overrightarrow{a-t-1}]_\pi$. \square

1.7.4. Lemme. — *Si $m_l(\pi) \neq 2$, alors pour tout $s \geq 2$ et pour tout δ , $[\overrightarrow{s-1}]_{r_l(\pi)(\delta)}$ n'est pas un sous-quotient de la réduction modulo l de $[\overleftarrow{s-1}]_\pi$.*

Démonstration. — Rappelons que la réduction modulo l de $[\overleftarrow{s-1}]_\pi$ contient une unique π -superunipotente, notée $\mathcal{M}_l([\overleftarrow{s-1}]_\pi)$. D'après (1.5.3), si $\epsilon_l(\pi) > 2$ celle-ci n'est pas de la forme $[\overrightarrow{s-1}]_{r_l(\pi)(\delta)}$. Considérons alors le cas $\epsilon_l(\pi) = 1$ de sorte que $m_l(\pi) = l \neq 2$ et raisonnons par l'absurde. Par application du foncteur de Jacquet $J_{N_{2g, (s-2)_g}}$, on est ramené au cas $s = 2$; la contradiction découle alors du fait que pour $l \neq 2$, la réduction modulo l de $[\overleftarrow{1}]_\pi$ est irréductible isomorphe à $[\overleftarrow{1}]_{r_l(\pi)}$. \square

1.7.5. Proposition. — *Soient $l \neq 2$ et $0 < t < a$. Alors pour tout δ , $[\overrightarrow{a}]_{r_l(\pi)(\delta)}$ n'est jamais isomorphe à $\mathcal{M}_l([\overleftarrow{t}, \overrightarrow{a-t}]_\pi)$*

Démonstration. — On raisonne par l'absurde. D'après (1.7.3), par application de $J_{N_{(t+1)_g, (a-t)_g}}$, on devrait alors avoir

$$[\overrightarrow{t}]_{r_l(\pi)(\delta + \frac{t-a}{2})} \simeq \mathcal{M}_l([\overleftarrow{t}]_{\pi(\frac{t-a}{2})}) \quad [\overrightarrow{a-t-1}]_{r_l(\pi)(\delta + \frac{t+1}{2})} \simeq [\overrightarrow{a-t-1}]_{r_l(\pi)(\frac{t+1}{2})}$$

Du deuxième isomorphisme, on obtient $\delta \equiv 0 \pmod{\epsilon_l(\pi)}$. On en déduit alors que $[\overrightarrow{t}]_{r_l(\pi)} \simeq \mathcal{M}_l([\overleftarrow{t}]_\pi)$ de sorte que d'après le lemme précédent on a $\epsilon_l(\pi) = 2$ (si $\epsilon_l(\pi) = 1$ alors $m_l(\pi) = l$ est distinct de 2 par hypothèse). Par ailleurs en appliquant $J_{N_{g, t_g}}$ au premier isomorphisme, l'égalité des supports cuspidaux impose alors $t \equiv 0 \pmod{\epsilon_l(\pi)}$. En considérant $J_{N_{t_g, (a-t+1)_g}}^{op}$, d'après (1.7.3), on obtient selon le même procédé $a \equiv 0 \pmod{\epsilon_l(\pi)}$. Ainsi avec $\epsilon_l(\pi) = 2$, on a $t \geq 2$ et $a - t \geq 2$.

En appliquant le foncteur de Jacquet $J_{N_{a,g,g}}$, on obtient alors que $[\overrightarrow{a-1}]_{r_l(\pi(-1/2))}$ est égal soit à $\mathcal{M}_l([\overleftarrow{t}, \overrightarrow{a-t-1}]_{\pi(-1/2)})$, soit à $\mathcal{M}_l([\overleftarrow{t-1}, \overrightarrow{a-t}]_{\pi(1/2)})$. La contradiction découle alors d'un raisonnement par récurrence. \square

1.7.6. Corollaire. — Soient $l \neq 2$ et $0 < t < a$. Alors pour tout δ , $[\overrightarrow{a}]_{\pi(\delta)}$ n'est jamais isomorphe à $\mathcal{M}_l([\overrightarrow{a-t}, \overleftarrow{t}]_{\pi})$

Démonstration. — Cela découle directement de la proposition précédente par dualité. \square

1.7.7. Corollaire. — Soient $l \neq 2$ et $0 < t < a$. Alors pour tout δ , $\mathcal{M}_l([\overleftarrow{a}]_{\pi(\delta)})$ n'est jamais isomorphe à $\mathcal{M}_l([\overrightarrow{a-t}, \overleftarrow{t}]_{\pi})$ ou $\mathcal{M}_l([\overleftarrow{t}, \overrightarrow{a-t}]_{\pi})$.

Démonstration. — Le résultat découle de (1.7.5) et (1.7.6) par application de l'involution de Zelevinski en remarquant que celle-ci conserve le caractère π -superunipotent. \square

Les trois lemmes suivants sont sûrement bien connus des experts de la théorie des représentations modulaires des algèbres de Hecke : le principe sous-jacent est le suivant. Étant donné des paramètres de deux représentations superunipotentes que l'on écrit sous forme d'une liste de tableaux de Young, si un des tableaux contient plus de deux lignes alors tous les sous-quotients de l'induite de ces deux représentations vérifient la même propriété : en particulier on ne retrouve pas la triviale. N'ayant pu trouver de référence j'ai traité à la main, les cas particuliers qui me seront nécessaires.

1.7.8. Lemme. — Si $m_l(\pi) > 2$, alors pour tout $i \geq 1$ et pour tout $j \geq -1$, $[\overrightarrow{i+j+1}]_{r_l(\pi)}$ n'est pas un sous-quotient de la réduction modulo l de $[\overleftarrow{i}]_{\pi(\delta)} \times [\overleftarrow{j}]_{\pi(\delta')}$ ni de celle de $[\overleftarrow{i}]_{\pi(\delta)} \times [\overrightarrow{j}]_{\pi(\delta')}$.

Démonstration. — Le cas $j = -1$ est donné par le lemme précédent tandis que le cas $j = 0$ découle de (1.7.4), (1.7.5) et (1.7.6). Supposons donc $j \geq 1$, en raisonnant par récurrence sur $i+j$ et par application du foncteur de Jacquet $J_{N_{(i+j+2)g,g}}$, on est ramené au cas $i = 1$. Dans le cas de $[\overleftarrow{1}]_{\pi(\delta)} \times [\overleftarrow{j}]_{\pi(\delta')}$, par application de $J_{N_{(j+3)g,g}}$ on est ramené à $[\overleftarrow{j}]_{\pi(\delta)} \times [\overleftarrow{0}]_{\pi(\delta')}$ soit à $[\overleftarrow{j+1}]_{\pi(\delta')}$, $[\overleftarrow{j}, \overrightarrow{1}]_{\pi(\delta')}$ ou $[\overrightarrow{1}, \overleftarrow{j}]_{\pi(\delta')}$, cas traités ci-dessus.

En ce qui concerne, $[\overleftarrow{1}]_{\pi(\delta)} \times [\overrightarrow{j}]_{\pi(\delta')}$, le cas où $\delta' - \delta \equiv \frac{3+j}{2} \pmod{\epsilon_l(\pi)}$ découle de (1.7.5) ce qui traite en particulier le cas $\epsilon_l(\pi) = 1$. On raisonne alors par l'absurde en supposant donc que $\delta' - \delta \not\equiv \frac{3+j}{2} \pmod{\epsilon_l(\pi)}$.

- L'image de $[\overleftarrow{1}]_{\pi(\delta)} \times [\overrightarrow{j}]_{\pi(\delta')}$ par $J_{N_{(j+3)g,g}}$ est égale à

$$[\overleftarrow{1}]_{\pi(\delta)} \times [\overrightarrow{j-1}]_{\pi(\delta'-1/2)} \otimes [\overrightarrow{0}]_{\pi(\delta'+j/2)} + [\overleftarrow{0}]_{\pi(\delta+1/2)} \times [\overrightarrow{j}]_{\pi(\delta')} \otimes [\overleftarrow{0}]_{\pi(\delta-1/2)}$$

D'après l'hypothèse de récurrence sur j , on en déduit alors que $[\overrightarrow{j+1}]_{r_l(\pi(-1/2))}$ doit être un constituant de la réduction modulo l de $[\overleftarrow{0}]_{\pi(\delta+1/2)} \times [\overrightarrow{j}]_{\pi(\delta')} \otimes [\overleftarrow{0}]_{\pi(\delta-1/2)}$ ce qui impose, comme $\delta' - \delta \not\equiv \frac{3+j}{2} \pmod{\epsilon_l(\pi)}$, $\delta + \frac{1}{2} \equiv \delta' + \frac{j}{2} + 1$.

- L'image de $[\overleftarrow{1}]_{\pi(\delta)} \times [\overrightarrow{j}]_{\pi(\delta')}$ par $J_{N_{(2+j)g,2g}}$ est égale à

$$[\overleftarrow{1}]_{\pi(\delta)} \times [\overrightarrow{j-2}]_{\pi(\delta'-1)} \otimes [\overrightarrow{1}]_{\pi(\delta'+\frac{j-1}{2})} + [\overrightarrow{j}]_{\pi(\delta')} \otimes [\overleftarrow{1}]_{\pi(\delta)} + \\ [\overleftarrow{0}]_{\pi(\delta+1/2)} \times [\overrightarrow{j-1}]_{\pi(\delta'-1/2)} \otimes [\overleftarrow{0}]_{\pi(\delta-1/2)} \times [\overrightarrow{0}]_{\pi(\delta'+j/2)}$$

L'hypothèse de récurrence sur j et le lemme (1.7.4), implique que $[\overrightarrow{j}]_{r_l(\pi(-1))} \otimes [\overrightarrow{1}]_{r_l(\pi(\frac{j+1}{2}))}$ ne peut pas être un constituant des deux premiers termes, de sorte qu'il serait un constituant de $[\overleftarrow{0}]_{\pi(\delta+1/2)} \times [\overrightarrow{j-1}]_{\pi(\delta'-1/2)} \otimes [\overleftarrow{0}]_{\pi(\delta-1/2)} \times [\overrightarrow{0}]_{\pi(\delta'+j/2)}$. Mais alors comme $\delta' - \delta \not\equiv \frac{3+j}{2} \pmod{\epsilon_l(\pi)}$, on en déduit que $\delta + \frac{1}{2} \equiv \delta' + \frac{j}{2} \pmod{\epsilon_l(\pi)}$ ce qui impose $\epsilon_l(\pi) = 1$, d'où la contradiction. \square

1.7.9. Lemme. — Pour tout $\alpha, \beta \geq 1$ (resp. $\alpha \geq 1, (\beta, \gamma) \neq (0, 0)$), la réduction modulo l de l'induite $[\overleftarrow{\alpha}, \overrightarrow{\beta}]_{\pi(\delta)} \overrightarrow{\times} [\overrightarrow{\gamma}]_{\pi(\delta')}$ (resp. de $[\overrightarrow{\beta}, \overleftarrow{\alpha}, \overrightarrow{\gamma}]_{\pi(\delta)}$) ne contient pas $[\overrightarrow{\alpha + \beta + \gamma + 1}]_{r_l(\pi)}$.

Démonstration. — On raisonne par récurrence sur $d = \alpha + \beta + \gamma + 1$. Le cas $d = 2$ découle de (1.7.5) et (1.7.6). Par application du foncteur de Jacquet $J_{N_{(d-1)g}}$ on est ramené au cas $\alpha = 1$ ou $\beta = 1$. Remarquons tout d'abord que le cas de l'induite implique le cas respé en prenant $\delta' = \delta - \alpha - \beta - \gamma - 1$: traitons donc le cas de l'induite.

Cas où $\delta \equiv \delta' \pmod{\epsilon_l(\pi)}$: par application du foncteur de Jacquet les constituants de la réduction modulo l de $J_{N_{dg}}([\overleftarrow{\alpha}, \overrightarrow{\beta}]_{\pi(\delta)} \overrightarrow{\times} [\overrightarrow{\gamma}]_{\pi(\delta')})$ susceptibles de contenir $J_{N_{dg}}([\overleftarrow{d}]_{r_l(\pi)})$ sont d'après l'hypothèse de récurrence pour $\beta \geq 2$ (resp. $\alpha \geq 2$, resp. $\alpha = \beta = 1$), $\pi_1 \otimes [\overleftarrow{0}]_{\pi(\delta-d/2)}$ (resp. $\pi_1' \otimes [\overleftarrow{0}]_{\pi(\delta+\frac{\alpha+\beta-\gamma-1}{2})}$, resp. la somme des deux précédentes) avec

$$\pi_1 := [\overrightarrow{\beta}]_{\pi(\delta-\frac{\alpha+\gamma-1}{2})} \times [\overrightarrow{\gamma}]_{\pi(\delta'+\frac{\alpha+\beta+1}{2})} \quad \pi_1' = [\overleftarrow{\alpha}]_{\pi(\delta-\frac{\gamma+\beta+1}{2})} \times [\overrightarrow{\gamma}]_{\pi(\delta'+\frac{\alpha+\beta+1}{2})}$$

Supposons tout d'abord que $[\overleftarrow{d-1}]_{r_l(\pi)(-1/2)} \otimes [\overleftarrow{0}]_{r_l(\pi)(d/2)}$ soit un constituant de $\pi_1' \otimes [\overleftarrow{0}]_{\pi(\delta+\frac{\alpha+\beta-\gamma-1}{2})}$. Si on a $\epsilon_l(\pi) = 1$ ou $\epsilon_l(\pi) \geq 3$, alors d'après le lemme précédent, la réduction modulo l de π_1' ne contient aucun $[\overleftarrow{d-1}]_{r_l(\pi(\delta'))}$ d'où la contradiction. On suppose donc $\epsilon_l(\pi) = 2$ et on obtient $\delta + \frac{\alpha+\beta-\gamma-1}{2} \equiv \frac{\alpha+\beta+\gamma+1}{2} \pmod{2}$ soit donc $\delta \equiv \gamma + 1 \pmod{\epsilon_l(\pi)}$. Par ailleurs si $d \equiv 1 \pmod{2}$ alors on a $\delta' + d/2 \equiv \delta - d/2 + 1 \pmod{2}$ de sorte que $r_l(\pi_1')$ est aussi la réduction modulo l de

$$[\overrightarrow{\gamma}]_{\pi(\delta'+d/2)} \overrightarrow{\times} [\overleftarrow{\alpha}]_{\pi(\delta'+d/2)}$$

et la contradiction découle de (1.7.6). Ainsi on suppose $d \equiv 0 \pmod{2}$; la réduction modulo l de $J_{N_{g,(d-1)g}}(\pi_1')$ est de la forme

$$[\overleftarrow{0}]_{\pi(\delta-d/2+\alpha)} \otimes ?? + [\overleftarrow{0}]_{\pi(\delta'+d/2-\gamma)} \otimes ??$$

Or comme par hypothèse $\beta = 1$, on a $(\delta - d/2 + \alpha) - (\delta' + d/2 - \gamma) = (\delta - \delta') - d + \alpha + \gamma \equiv 0 \pmod{2}$ et $\delta' + d/2 - \gamma - d/2 \equiv 1 \pmod{2}$. On en déduit alors que la réduction modulo l de $J_{N_{g,(d-1)g}}(\pi_1')$ ne peut pas contenir $[\overleftarrow{0}]_{r_l(\pi(-d/2))} \otimes ??$ et donc π_1' ne contient pas $[\overleftarrow{d-1}]_{r_l(\pi(-1/2))}$.

Supposons alors que $[\overleftarrow{d-1}]_{r_l(\pi)(-1/2)} \otimes [\overleftarrow{0}]_{r_l(\pi)(d/2)}$ est un constituant de $\pi_1 \otimes [\overleftarrow{0}]_{\pi(\delta-d/2)}$ avec

$$\pi_1 = [\overleftarrow{d-1}]_{\pi(\delta+1/2)} + [\overrightarrow{\beta}, \overleftarrow{1}, \overrightarrow{\gamma}]_{\pi(\delta+1/2)}.$$

D'après l'hypothèse de récurrence, la réduction modulo l de π_1 admet donc un unique constituant de la forme $[\overrightarrow{\beta + \gamma + 1}]_{r_l(\pi(\delta_1))}$ avec $\delta_1 = \delta + 1/2$. Or l'image de $[\overleftarrow{\alpha}, \overrightarrow{\beta + \gamma + 1}]_{\pi}$ par le foncteur de Jacquet contient précisément $[\overrightarrow{\beta + \gamma + 1}]_{\pi(\delta+1/2)} \otimes [\overleftarrow{0}]_{\pi(\delta+d/2)}$. Le sous-quotient de la réduction modulo l de $[\overleftarrow{\alpha}, \overrightarrow{\beta + \gamma + 1}]_{\pi(\delta)}$ concerné, est forcément π -superunipotent, ce ne peut donc qu'être $\mathcal{M}_l([\overleftarrow{\alpha}, \overrightarrow{\beta + \gamma + 1}]_{\pi(\delta)})$ qui d'après la proposition (1.7.5), n'est pas isomorphe à $[\overrightarrow{\alpha + \beta + \gamma + 1}]_{r_l(\pi)}$ d'où le résultat.

Cas où $\delta \not\equiv \delta' \pmod{\epsilon_l(\pi)}$: en particulier on a $\epsilon_l(\pi) \geq 2$.

(i) Traitons tout d'abord le sous cas où $\beta = 1$ et $\alpha > 1$. Par application du foncteur de Jacquet $J_{N_{(d-1)g}}$, on en déduit que l'induite $[\overleftarrow{\alpha}]_{\pi(\delta-\frac{\beta+\gamma+1}{2})} \times [\overrightarrow{\gamma}]_{\pi(\delta'+\frac{\alpha+\beta+1}{2})}$ doit contenir dans sa réduction modulo l , $[\overleftarrow{d-1}]_{r_l(\pi(-1/2))}$. Si

$$\delta - \frac{\beta + \gamma + 1}{2} + \frac{\alpha}{2} + 1 \equiv \delta' + \frac{\alpha + \beta + 1}{2} - \frac{\gamma}{2} \pmod{\epsilon_l(\pi)}$$

alors la réduction modulo l de $[\overleftarrow{\alpha}]_{\pi(\delta-\frac{\beta+\gamma+1}{2})} \times [\overrightarrow{\gamma}]_{\pi(\delta'+\frac{\alpha+\beta+1}{2})}$ est égale à celle de

$$[\overleftarrow{\alpha}, \overrightarrow{\gamma + 1}]_{\pi(\delta)} + [\overleftarrow{\alpha + 1}, \overrightarrow{\gamma}]_{\pi(\delta)}$$

de sorte que, d'après (1.7.5), elle ne peut pas contenir $\overrightarrow{[\alpha + \gamma + \hat{1}]_{r_l(\pi)}}$. On suppose donc que $\delta - \delta'$ n'est pas congru à 1 modulo $\epsilon_l(\pi)$ et comme, par hypothèse il n'est pas congru à 0, on en déduit alors que $\epsilon_l(\pi) \geq 3$ et la contradiction découle alors du lemme précédent.

(ii) On suppose ici $\beta > 1$ et $\alpha = 1$. En appliquant tout d'abord le foncteur de Jacquet $J_{N_{d,g}}$ (resp. $J_{N_{g,dg}}$), d'après l'hypothèse de récurrence que le seul constituant qui puisse contenir l'image de $\overrightarrow{[\hat{d}]_{r_l(\pi)}}$ est

$$\overrightarrow{[\hat{\beta}]_{\pi(\delta - \frac{\alpha + \gamma - 1}{2})}} \times \overrightarrow{[\hat{\gamma}]_{\pi(\delta' + \frac{\alpha + \beta + 1}{2})}} \otimes \overleftarrow{[\hat{0}]_{\pi(\delta - d/2)}}$$

(resp. $\overleftarrow{[\hat{0}]_{\pi(\delta - d/2 + \alpha)}}$??). En regardant les supports cuspidaux sur GL_g on obtient $\delta - d/2 \equiv d/2 \pmod{\epsilon_l(\pi)}$ et $\delta - d/2 + \alpha \equiv -d/2$ soit donc $\delta \equiv d \equiv -1 \pmod{\epsilon_l(\pi)}$. En particulier on en déduit que le support cuspidal de $\overrightarrow{[\hat{\beta}]_{\pi(\delta - \frac{\alpha + \gamma - 1}{2})}}$ est le segment $[r_l(\pi(-d/2)), r_l(\pi(-d/2 + \beta))]$ de sorte que celui de $\overrightarrow{[\hat{\gamma}]_{\pi(\delta' + \frac{\alpha + \beta + 1}{2})}}$ est le segment $[r_l(\pi)(d/2 - 1 - \gamma), r_l(\pi)(d/2 - 1)]$. Or comme par hypothèse $\delta - \delta' \not\equiv 0 \pmod{\epsilon(\pi)}$, $\delta' + \frac{\alpha + \beta + 1 - \gamma}{2} \not\equiv d/2 - 1 - \gamma \pmod{\epsilon_l(\pi)}$ de sorte que $\gamma + 1$ doit être divisible par $\epsilon_l(\pi)$. L'idée est alors de considérer $\overrightarrow{[\hat{\beta}]_{\pi(\delta + k\epsilon_l(\pi) - \frac{\alpha + \gamma - 1}{2})}}$ de sorte que la cuspidale $\pi(\delta + k\epsilon_l(\pi) - \frac{\alpha + \gamma - 1}{2} + \beta)$ de son support cuspidal appartienne au support cuspidal de $\overrightarrow{[\hat{\gamma}]_{\pi(\delta' + \frac{\alpha + \beta + 1}{2})}}$ et que l'intersection des supports cuspidaux soit minimal : ce procédé est possible car $\gamma + 1$ est divisible par $\epsilon_l(\pi)$. Concrètement on écrit $\delta' - \delta = k\epsilon_l(\pi) - r$ avec $0 < r < \epsilon_l(\pi)$ de sorte que la réduction modulo l de $\overrightarrow{[\hat{\beta}]_{\pi(\delta - \frac{\alpha + \gamma - 1}{2})}} \times \overrightarrow{[\hat{\gamma}]_{\pi(\delta' + \frac{\alpha + \beta + 1}{2})}}$ est égale à celle de

$$\overrightarrow{[\hat{\beta}]_{\pi(\delta + k\epsilon_l(\pi) - \frac{\alpha + \gamma - 1}{2})}} \times \overrightarrow{[\hat{\gamma}]_{\pi(\delta' + \frac{\alpha + \beta + 1}{2})}} \simeq \overrightarrow{[\beta + \gamma + 1 - \hat{r}]_{\pi(\delta + k\epsilon_l(\pi) + \frac{2 - r - \alpha}{2})}} \times \overrightarrow{[r - \hat{1}]_{\pi(\delta' + \frac{\alpha + \beta + \gamma + r - 2}{2})}}$$

dont la réduction modulo l est isomorphe à celle de $\overrightarrow{[\beta + \gamma + 1 - \hat{r}]_{\pi(\delta'')}} \overrightarrow{\times} \overrightarrow{[r - \hat{1}]_{\pi(\delta'')}}$ avec $\delta'' = \delta + k\epsilon_l(\pi) - \frac{\alpha - 1}{2}$. Or comme

$$\overrightarrow{[\beta + \gamma + 1 - \hat{r}]_{\pi}} \overrightarrow{\times} \overrightarrow{[r - \hat{1}]_{\pi}} = \overrightarrow{[\hat{d} - \hat{1}]_{\pi}} + \overrightarrow{[\beta + \gamma + 1 - \hat{r}, \hat{1}, r - \hat{1}]_{\pi}}$$

on en déduit en utilisant une hypothèse de récurrence que dans la réduction modulo l de $\overleftarrow{[\hat{\alpha}, \hat{\beta}]_{\pi(\delta)}} \overrightarrow{\times} \overrightarrow{[\hat{\gamma}]_{\pi(\delta'')}}$, il y a au plus une représentation dont l'image par $J_{N_{d,g}}$ contienne $J_{N_{d,g}}(\overrightarrow{[\hat{d}]_{r_l(\pi)}}$). Le but est d'en construire une qui ne sera pas $\overrightarrow{[\hat{d}]_{r_l(\pi)}}$.

La réduction modulo l de $J(\overleftarrow{[\hat{\alpha}, \hat{\beta}]_{\pi(\delta)}} \overrightarrow{\times} \overrightarrow{[\hat{\gamma}]_{\pi(\delta'')}})$ contient la réduction modulo l de l'induite

$$\overleftarrow{[\hat{\alpha}, \beta - r + \hat{1}]_{\pi(\delta - \frac{\gamma + r}{2})}} \overrightarrow{\times} \overrightarrow{[\hat{\gamma}]_{\pi(\delta - \frac{\gamma + r}{2})}} \otimes \cdots$$

laquelle contient la réduction modulo l de $\overleftarrow{[\hat{\alpha}, \beta + \gamma - \hat{r}]_{\pi(\delta - \frac{r + 1}{2})}}$ laquelle fournit la réponse d'après la proposition (1.7.5).

(iii) Le cas $\alpha = \beta = 1$ se traite en utilisant (i) et (ii). En effet en considérant l'image de $\overleftarrow{[\hat{1}, \hat{1}]_{\pi(\delta)}} \overrightarrow{\times} \overrightarrow{[\hat{\gamma}]_{\pi(\delta'')}}$ par le foncteur de Jacquet $J_{N_{(d-1)g,g}}$ on en déduit que soit $\overleftarrow{[\hat{1}]_{\pi(\delta - \frac{\gamma + 2}{2})}} \times \overrightarrow{[\hat{\gamma}]_{\pi(\delta' + 3/2)}}$, soit $\overleftarrow{[\hat{1}]_{\pi(\delta - \gamma/2)}} \times \overrightarrow{[\hat{\gamma}]_{\pi(\delta' + 3/2)}}$, est telle que sa réduction modulo l doit contenir $J(\overrightarrow{[\hat{\gamma} + \hat{3}]_{\pi}})$. La contradiction dans le premier (resp. le second) cas est alors donnée dans (i) (resp. dans (ii)). □

1.7.10. Lemme. — Pour tout $\alpha, \beta \geq 1$ la réduction modulo l de l'induite $\overleftarrow{[\hat{\alpha}, \hat{\beta}]_{\pi(\delta)}} \overrightarrow{\times} \overrightarrow{[\hat{\gamma}]_{\pi(\delta'')}}$ ne contient pas $\overrightarrow{[\alpha + \beta + \gamma + \hat{1}]_{r_l(\pi)}}$.

Démonstration. — Le début de la preuve est parallèle à celle du lemme précédent. On raisonne par récurrence sur $d = \alpha + \beta + \gamma + 1$. Le cas $d = 2$ découle de (1.7.5) et (1.7.6). Par application du foncteur de Jacquet $J_{N_{d,g}}$ on est ramené au cas $\alpha = 1$ ou $\beta = 1$ auquel cas les constituants de la réduction modulo l de $J_{N_{d,g}}(\overleftarrow{[\hat{\alpha}, \hat{\beta}]_{\pi(\delta)}} \overrightarrow{\times} \overrightarrow{[\hat{\gamma}]_{\pi(\delta'')}})$ susceptibles de contenir $J_{N_{d,g}}(\overrightarrow{[\hat{d}]_{r_l(\pi)}}$

sont d'après l'hypothèse de récurrence pour $\beta \geq 2$ (resp. $\alpha \geq 2$, resp. $\alpha = \beta = 1$), $\pi_1 \otimes [\overleftarrow{0}]_{\pi(\delta-d/2)}$ (resp. $\pi'_1 \otimes [\overrightarrow{0}]_{\pi(\delta+\frac{\alpha+\beta-\gamma-1}{2})}$, resp. la somme des deux précédentes) avec

$$\pi_1 := [\overrightarrow{\beta}]_{\pi(\delta-\frac{\alpha+\gamma+1}{2})} \overrightarrow{\times} [\overleftarrow{\gamma}]_{\pi(\delta'+\frac{\alpha+\beta+1}{2})} \quad \pi'_1 = [\overleftarrow{\alpha}]_{\pi(\delta-\frac{\gamma+\beta+1}{2})} \times [\overleftarrow{\gamma}]_{\pi(\delta'+\frac{\alpha+\beta+1}{2})}$$

ce qui d'après (1.7.8) impose $\epsilon_l(\pi) = 2$ auquel cas $\mathcal{M}_l([\overleftarrow{\gamma}]_\pi)$ est à torsion près isomorphe à $[\overrightarrow{\gamma}]_{r_l(\pi)}$, de sorte que le résultat est donné par le lemme précédent. \square

2. Réduction modulo l de la cohomologie

La situation géométrique que l'on considère est un schéma X propre de dimension m muni d'une action par correspondance de $GL_n(K)$ de sorte que les groupes de cohomologie l -adique $H^i(X, \overline{\mathbb{Q}}_l)$ sont des $\overline{\mathbb{Q}}_l$ -représentations de $GL_n(K)$ qui sont entières, un réseau étant donné par la partie libre de $H^i(X, \overline{\mathbb{Z}}_l)$.

2.0.11. Proposition. — *Le foncteur $r_l : \text{Groth}_{\overline{\mathbb{Q}}_l}(GL_n(K)) \rightarrow \text{Groth}_{\mathbb{F}_l}(GL_n(K))$ de réduction modulo l du groupe de Grothendieck des $\overline{\mathbb{Q}}_l$ -représentations entières de $GL_n(K)$ dans celui des \mathbb{F}_l -représentations de $GL_n(K)$ est tel que*

$$r_l\left(\sum_i (-1)^i H^i(X, \overline{\mathbb{Q}}_l)\right) \simeq \sum_i (-1)^i H^i(X, \mathbb{F}_l)$$

Démonstration. — De l'égalité $R\Gamma(X, \mathbb{F}_l) = R\Gamma(X, \mathbb{Z}_l) \otimes^{\mathbb{L}} \mathbb{F}_l$, on en déduit une suite spectrale

$$E_2^{p,q} = \text{Tor}_{-p}(H^q(X, \mathbb{Z}_l), \mathbb{F}_l) \Rightarrow H^{p+q}(X, \mathbb{F}_l)$$

Par ailleurs de la suite exacte courte $0 \rightarrow \mathbb{Z}_l \rightarrow \mathbb{Z}_l \rightarrow \mathbb{F}_l \rightarrow 0$, on en déduit que $\text{Tor}_i(-, \mathbb{F}_l)$ est nul pour $i \neq 0, 1$ ce qui donne alors les suites exactes courtes suivantes

$$0 \rightarrow H^n(X, \mathbb{Z}_l) \otimes \mathbb{F}_l \rightarrow H^n(X, \mathbb{F}_l) \rightarrow H^{n+1}(X, \mathbb{Z}_l)[l] \rightarrow 0$$

On considère une résolution équivariante plate P^\bullet (i.e. sans l -torsion) de la \mathbb{Z}_l cohomologie de sorte que la cohomologie de $P^\bullet \otimes_{\mathbb{Z}_l} \mathbb{Q}_l$ (resp. $P^\bullet \otimes_{\mathbb{Z}_l} \mathbb{F}_l$) calcule les $H^\bullet(X, \mathbb{Q}_l)$ (resp. $H^\bullet(X, \mathbb{F}_l)$). On rappelle alors le résultat connu suivant (cf. par exemple [2] proposition 7.1.3) :

2.0.12. Proposition. — *Soit $(\mathcal{D}^{\leq 0}, \mathcal{D}^{\geq 0})$ une catégorie dérivée munie d'une t -structure non dégénérée : on note \mathcal{C} son coeur qui est alors une catégorie abélienne de groupe de Grothendieck $\text{Groth}(\mathcal{C})$. L'application qui à un objet \mathcal{F} de \mathcal{D} associe*

$$\sum_i (-1)^i [Ph^i \mathcal{F}] \in \text{Groth}(\mathcal{C})$$

induit un isomorphisme du groupe de Grothendieck $K(\mathcal{D})$ de la catégorie triangulée \mathcal{D} , sur $\text{Groth}(\mathcal{C})$, où l'on rappelle qu'étant donnée une catégorie triangulée A localement petite, son groupe de Grothendieck $K(A)$ est défini comme le groupe libre engendré par les classes d'isomorphismes d'objets de A quotienté par la relation : $A = B + C$ pour tout triangle distingué $B \rightarrow A \rightarrow C \xrightarrow{+1}$.

En considérant les t -structures triviales on en déduit alors que l'image de la somme alternée de la cohomologie de $P^\bullet \otimes_{\mathbb{Z}_l} \mathbb{Q}_l$ (resp. de $P^\bullet \otimes_{\mathbb{Z}_l} \mathbb{F}_l$) est égale dans le groupe de Grothendieck correspondant à $\sum_i (-1)^i H^i(X, \mathbb{Q}_l)$ (resp. $\sum_i (-1)^i H^i(X, \mathbb{F}_l)$). Ainsi le résultat découle du fait évident que l'image par le morphisme de réduction de la classe de $P^\bullet \otimes_{\mathbb{Z}_l} \mathbb{Q}_l$ dans $K(D^b(X, \mathbb{Q}_l))$ est égale à la classe de $P^\bullet \otimes_{\mathbb{Z}_l} \mathbb{F}_l$ dans $K(D^b(X, \mathbb{F}_l))$. \square

3. Données géométriques et résultats cohomologiques de [2]

3.1. Le modèle local de Deligne-Carayol. — Soit K une extension finie de \mathbb{Q}_p , on note \mathcal{O}_K son anneau des entiers, \mathcal{P}_K l'idéal maximal et $\kappa = \mathcal{O}_K/\mathcal{P}_K$ le corps résiduel de cardinal $q = p^f$. On notera aussi ϖ_K une uniformisante. L'extension maximal non ramifiée de K sera notée K^{nr} de complété \hat{K}^{nr} , d'anneau des entiers respectifs $\mathcal{O}_{K^{nr}}$ et $\mathcal{O}_{\hat{K}^{nr}}$.

Soit $d \geq 1$ et $\Sigma_{K,d}$ le \mathcal{O}_K -module de Barsotti-Tate formel sur $\bar{\kappa}$ de hauteur d , cf. [6] §II. On considère la catégorie \mathcal{C} des \mathcal{O}_K -algèbres locales, artiniennes, de corps résiduel $\bar{\kappa}$. Le foncteur qui à un objet R de \mathcal{C} associe l'ensemble des classes d'isomorphismes des déformations sur R de $\Sigma_{K,d}$ munies d'une structure de niveau n est pro-représentable par un anneau local complet, noethérien, régulier $R_{K,d,n}$ de corps résiduel $\bar{\kappa}$.

3.1.1. Définition. — Soit $\Psi_{K,l,d,n}^i$ le $\overline{\mathbb{Q}_l}$ -espace vectoriel de dimension finie associé, via la théorie des cycles évanescents de Berkovich, au morphisme structural $\mathrm{Spf} R_{K,d,n} \rightarrow \mathrm{Spf} \hat{\mathcal{O}}_K^{nr}$.

3.1.2 — Cet espace vectoriel est muni entre autre d'une action de $GL_d(\mathcal{O}_K)$ qui se factorise par le morphisme surjectif naturel $GL_d(\mathcal{O}_K) \rightarrow GL_d(\mathcal{O}_K/\mathcal{M}_K^n)$ et on pose $\Psi_{K,l,d}^i = \varinjlim \Psi_{K,l,d,n}^i$ de sorte que pour $\mathfrak{K}_n := \mathrm{Ker}(GL_d(\mathcal{O}_K) \rightarrow GL_d(\mathcal{O}_K/\mathcal{P}_K^n))$, on a $\Psi_{K,l,d,n}^i = (\Psi_{K,l,d}^i)^{\mathfrak{K}_n}$. Le groupe multiplicatif $\mathcal{D}_{K,d}^\times$ de l'ordre maximal de l'algèbre à division centrale $D_{K,d}$ sur K d'invariant $1/d$ s'identifie avec le groupe des automorphismes de $\Sigma_{K,d}$ et agit donc naturellement sur $\Psi_{K,l,d}$ tout comme le sous-groupe d'inertie I_K .

3.1.3. Notation. — On notera $GDW_K(d)$ le groupe produit $GL_d(K) \times \mathcal{D}_{K,d}^\times \times W_K$ et $GDW_K(d)^0$ le noyau de l'application $(g, \delta, c) \mapsto \mathrm{val}(\det(g^{-1})\mathrm{rn}(\delta) \mathrm{Art}_K^{-1}(c)) \in \mathbb{Z}$. On adoptera une notation similaire pour $GW_K^0(d)$.

On peut alors prolonger l'action "naturelle" de $GL_d(\mathcal{O}_K) \times \mathcal{D}_{K,d}^\times \times I_K$ sur $\Psi_{K,l,d}$ au groupe $GDW_K(d)^0$. Pour un caractère χ de K^\times d'image finie, soit $\Psi_{K,l,d,\chi}$ le facteur direct de $\Psi_{K,l,d}$ sur lequel le centre de $GL_d(\mathcal{O})$ agit via χ . On prolonge alors l'action de $GDW_K(d)^0$ sur $\Psi_{K,l,d,\chi}$ au groupe $GDW_K(d)^1$ obtenu comme le noyau de l'application $GDW_K(d) \rightarrow \mathbb{Z} \rightarrow \mathbb{Z}/d\mathbb{Z}$.

3.1.4 — Dans la définition de $R_{K,d,n}$, il est agréable de considérer plutôt les déformations par quasi-isogénies ce qui donne un schéma formel $\mathrm{Spf} R_{K,d,n,\mathbb{Z}} \simeq \coprod_{\mathbb{Z}} \mathrm{Spf} R_{K,d,n}$ de sorte que la construction précédente fourni des $\overline{\mathbb{Q}_l}$ -espaces vectoriels $\mathcal{U}_{K,l,d,n}^i \simeq (\mathcal{U}_{K,l,d}^i)^{\mathfrak{K}_n}$ où

$$\mathcal{U}_{K,l,d,\chi}^i \simeq \mathrm{Ind}_{GDW_K(d)^1}^{GDW_K(d)} \Psi_{K,l,d,\chi}^i$$

est une représentation de $GDW_K(d) = GL_d(K) \times \mathcal{D}_{K,d}^\times \times W_K$. Rappelons un des théorèmes principaux de [2].

3.1.5. Théorème. — Pour tout diviseur g de $d = sg$ et toute représentation irréductible cuspidale π de $GL_g(K)$, on a

$$\mathcal{U}_{K,l,d}^{d-1-i}(\pi[s]_D) \simeq \begin{cases} \mathcal{L}(\pi)\left(-\frac{s(g+1)-2(i+1)}{2}\right) \otimes \overleftarrow{[s-1-i, i]}_\pi & 0 \leq i < s \\ 0 & i < 0 \end{cases}$$

où $\overleftarrow{[s-1-i, i]}_\pi$ est l'unique sous-espace irréductible de l'induite $\mathrm{St}_{s-i}(\pi) \overrightarrow{\times} \mathrm{Speh}_i(\pi)$ avec $\pi[s]_D := \mathrm{JL}^{-1}(\mathrm{St}_s(\pi)^\vee)$ où JL désigne la correspondance de Jacquet-Langlands.

3.1.6. Définition. — Soit τ une $\overline{\mathbb{Q}_l}$ -représentation irréductible de $D_{K,h}^\times$, sa restriction à $\mathcal{D}_{K,h}^\times$ est une somme de représentations irréductibles $\rho_1 \oplus \cdots \oplus \rho_{e_\tau}$ et on notera e_τ le nombre de celles ci.

3.2. Variétés de Shimura simples et systèmes locaux. — On considère les variétés de Shimura simples associées à des groupes unitaires telles qu'elles sont définies dans [6]. On reprend les notations de [2]. Soit $F = F^+E$ un corps CM, E/\mathbb{Q} quadratique imaginaire pure, dont on fixe un plongement réel $\tau : F^+ \hookrightarrow \mathbb{R}$. Le groupe unitaire G_τ est alors tel que

$$- G_\tau(\mathbb{R}) \simeq U(1, d-1) \times U(0, d)^{r-1};$$

- $G_\tau(\mathbb{Q}_p) \simeq (\mathbb{Q}_p)^\times \times \prod_{i=1}^r (B_{v_i}^{op})^\times$ où $v = v_1, v_2, \dots, v_r$ sont les places de F au dessus de la place u de E telle que $p = u^c u$ et où B est une algèbre à division centrale sur F de dimension d^2 vérifiant certaines propriétés, cf. [6], dont en particulier d'être soit décomposée soit une algèbre à division en toute place et décomposée à la place v .

3.2.1 — Pour tout sous-groupe compact U^p de $G_\tau(\mathbb{A}^{\infty, p})$ et $m = (m_1, \dots, m_r) \in \mathbb{Z}_{\geq 0}^r$. On pose

$$U^p(m) = U^p \times \mathbb{Z}_p^\times \times \prod_{i=1}^r \text{Ker}(\mathcal{O}_{B_{v_i}}^\times \longrightarrow (\mathcal{O}_{B_{v_i}}/v_i^{m_i})^\times)$$

Pour U^p "assez petit"⁽²⁾ on dispose d'un schéma projectif sur $\text{Spec } \mathcal{O}_v$ tel que quand U varie, les $X_{U^p(m)}$ forment un système projectif dont les morphismes de transition sont finis et plats : quand $m_1 = m'_1$ ils sont en plus étales. Le système projectif $(X_{U^p(m)})_{U^p, m}$ est naturellement muni d'une action de $G_\tau(\mathbb{A}^\infty)$. Soit alors \mathcal{I} l'ensemble des sous-groupes compacts ouverts "assez petits" de \mathbb{G} , de la forme $U^p(m)$ et donc muni d'une application $m_1 : \mathcal{I} \rightarrow \mathbb{N}$. Le système projectif $X_{\mathcal{I}} = (X_I)_{I \in \mathcal{I}}$ définit un schéma de Hecke au sens de [2], où les morphismes de restriction du niveau $r_{J, I} : X_J \rightarrow X_I$ sont finis et plats : si $m_1(J) = m_1(I)$ alors $r_{J, I}$ est étale.

3.2.2 — Pour $I \in \mathcal{I}$, on note \tilde{X}_I la fibre spéciale de X_I et $\overline{X}_I = \tilde{X}_I \times \text{Spec } \overline{\mathbb{F}}_p$ la fibre spéciale géométrique. Pour tout $0 \leq h \leq d-1$, on dispose d'une strate fermée (resp. ouverte) notée $\overline{X}_I^{[h]}$ (resp. $\overline{X}_I^{(h)}$) de pure dimension h ; le système projectif associé définit alors un schéma de Hecke $\overline{X}_{\mathcal{I}}^{[h]}$ (resp. $\overline{X}_{\mathcal{I}}^{(h)}$) pour $\mathbb{G} = G(\mathbb{A}^\infty)$, [6] III.4.4.

Remarque : dans le cas de bonne réduction, i.e. $m_1 = 0$, $\overline{X}_I^{\geq d-h}$ est lisse.

3.2.3. Proposition. — (cf. [7]) Pour tout $0 < h < d$, la strate $\overline{X}_I^{(h)}$ est affine.

Pour tout $0 < h < d$, les strates $\overline{X}_I^{(h)}$ sont géométriquement induites sous l'action du parabolique $P_{d-h, d}(\mathcal{O}_v)$, au sens où il existe un sous-schéma fermé $\overline{X}_{I,1}^{(h)}$ tel que [6] p.116 :

$$\overline{X}_I^{(h)} \simeq \overline{X}_{I,1}^{(h)} \times_{P_{d-h, d}(\mathcal{O}_v/v^{m_1})} GL_d(\mathcal{O}_v/v^{m_1})$$

On notera $\overline{X}_{I,1}^{[h]}$ l'adhérence de $\overline{X}_{I,1}^{(h)}$ dans $\overline{X}_I^{[h]}$. Le système projectif $(\overline{X}_{I,1}^{(h)})_{I \in \mathcal{I}}$ définit un schéma de Hecke $\overline{X}_{\mathcal{I},1}^{(h)}$ pour $\mathbb{G} = G(\mathbb{A}^{\infty, v}) \times P_{d-h, d}(K)$ et $\mathcal{I}_h = \mathcal{I} \cap \mathbb{G}$, où \mathbb{G} agit à travers son quotient $G(\mathbb{A}^{\infty, v}) \times \mathbb{Z} \times GL_h(K)$ donné par l'application $\begin{pmatrix} g_v^c & * \\ 0 & g_v^{et} \end{pmatrix} \mapsto (v(\det g_v^c), g_v^{et})$. Par ailleurs l'action d'un élément $w_v \in W_v$ est donné par l'action de $-\deg(w_v)$ où \deg est la composée du caractère non ramifié de W_v , qui envoie les frobenius géométrique sur les uniformisantes, avec la valuation v de K .

3.2.4. Définition. — Soit H_0/\mathbb{Q} le groupe algébrique forme intérieure de G telle que $H_0(\mathbb{R})$ est compact et $H_0(\mathbb{A}^\infty) \simeq G(\mathbb{A}^{\infty, p}) \times D_{v, d}^\times \times \prod_{i=2}^r (B_{v_i}^{op})^\times$, où $D_{v, d}^\times$ est l'algèbre à division centrale sur F_v d'invariant $1/d$.

⁽²⁾tel qu'il existe une place x pour laquelle la projection de U^p sur $G(\mathbb{Q}_x)$ ne contienne aucun élément d'ordre fini autre que l'identité, cf. [6] bas de la page 90

3.2.5 — Les points géométriques du $\overline{\mathbb{F}}_p$ -schéma $\overline{X}_I^{(0)}$ de dimension nulle sont dits supersinguliers de niveau I ; cet ensemble est constitué de $\sharp \text{Ker}^1(\mathbb{Q}, H_0)$ classes d'isogénies telles que chaque classe est isomorphe, en tant que $H_0(\mathbb{A}^\infty)$ -ensemble, à (cf. [6] lemme V.1.2 p.153) :

$$H_0(\mathbb{Q}) \backslash H_0(\mathbb{A}^\infty) / (\mathcal{D}_{v,d}^\times \times U^p(m)) \quad (3.2.6)$$

A la limite, l'action de $c_v \in W_v$ sur $X_{\mathcal{I}}^{(0)}(\overline{\mathbb{F}}_p) = H_0(\mathbb{Q}) \backslash (H_0(\mathbb{A}^{\infty,v}) \times \mathbb{Z})$ est donnée par la translation de $-\deg(c_v)$ sur la composante $\mathbb{Z} \simeq D_{v,d}^\times / \mathcal{D}_{v,d}^\times$ qui envoie -1 sur une uniformisante $\Pi_{v,d}$ de $D_{v,d}$. L'action d'un élément $g^\infty \in H_0(\mathbb{A}^\infty)$ est donnée par la translation à gauche de $g^{\infty,v}$ sur $H_0(\mathbb{A}^{\infty,v})$ et la translation de $v(\det(g_v))$ sur la composante \mathbb{Z} .

3.2.7 — Via la notion de variété d'Igusa de seconde espèce, pour tout $0 \leq h < d$ et τ_v une $\overline{\mathbb{Q}}_l$ -représentation irréductible de $D_{v,h}^\times$, on définit un système local de Hecke $\mathcal{F}_{\overline{\mathbb{Q}}_l, \tau_v, \mathcal{I}}$ au sens de [2], dit de Harris-Taylor, pour le groupe $G(\mathbb{A}^\infty) \times D_{v,d-h}^\times / \mathcal{D}_{v,d-h}^\times$, muni d'une action compatible de W_v . Pour $\tau_v = \text{JL}^{-1}(\text{St}_t(\pi_v)^\vee)$, on note $\mathcal{F}_{\overline{\mathbb{Q}}_l}(t, \pi_v)$ pour $\mathcal{F}_{\overline{\mathbb{Q}}_l, \text{JL}^{-1}(\text{St}_t(\pi_v)^\vee)}$. On introduit suivant [2], les W_v -faisceaux pervers de Hecke dits de Harris-Taylor

$$\mathcal{P}_{\overline{\mathbb{Q}}_l}(t, \pi_v) = j_{!*}^{\geq tg} HT_{\overline{\mathbb{Q}}_l}(\pi_v, [\overleftarrow{t-1}]_{\pi_v}) \otimes \mathcal{L}(\pi_v) \left(\frac{tg-d}{2} \right)$$

où $HT_{\overline{\mathbb{Q}}_l}(\pi_v, \Pi) = \widetilde{HT}_{\overline{\mathbb{Q}}_l}(\pi_v, \Pi_t)$ où ce dernier est le faisceau induit $\mathcal{F}_{\overline{\mathbb{Q}}_l, \pi_v[t]_D} \otimes \Pi$. Pour tout $J \in \mathcal{I}$, les faisceaux pervers des cycles évanescents $R\Psi_{\eta_{v,J}}(\overline{\mathbb{Q}}_l)[d-1] \left(\frac{d-1}{2} \right)$ sur \overline{X}_J définissent un W_v -faisceau pervers de Hecke que l'on note $\Psi_{\overline{\mathbb{Q}}_l, \mathcal{I}}$; on note $\Psi_{\mathcal{I}, \pi_v}$ sa composante π_v -isotypique au sens de [2]. Soit $\Delta(\pi_v[t]_D)$ un ensemble de e_{π_v} d'éléments $\delta \in D_{v,tg}^\times$ tel que les $v(\text{rd}\delta)$ forment un système de représentants de $\mathbb{Z}/e_{\pi_v}\mathbb{Z}$; pour V un $\mathcal{D}_{v,tg}^\times$ -module, on notera

$$\text{Ind}_1^{\mathbb{Z}/e_{\pi_v}\mathbb{Z}} V = \bigoplus_{\delta \in \Delta(\pi_v[t]_D)} V^\delta$$

où l'action de $\delta_0 \in \mathcal{D}_{v,tg}^\times$ sur $V^\delta := V$ est donnée par celle de $\delta \circ \delta_0 \circ \delta^{-1}$. Avec ces notations, l'isomorphisme $G(\mathbb{A}^\infty) \times D_{v,tg}^\times / \mathcal{D}_{v,tg}^\times$ -équivariant du bas de la page 138 de [6] combiné à la proposition IV.2.2 de loc. cit.

$$(\Psi_{\mathcal{I}, \pi_v}^{e_{\pi_v}})_{|\overline{X}_{\mathcal{I}}^{(d-tg)}} \simeq \mathcal{F}_{\overline{\mathbb{Q}}_l}(t, \pi_v) \otimes \mathcal{U}_{F_v, t, tg}^{d-1+\bullet}(\pi_v[t]_D)$$

induit sur la fibre en tout point géométrique z de $\overline{X}_{\mathcal{I}}^{(d-tg)}$, un isomorphisme $\mathcal{D}_{v,tg}^\times$ -équivariant

$$\text{Ind}_1^{\mathbb{Z}/e_{\pi_v}\mathbb{Z}} z^* \Psi_{\mathcal{I}, \pi_v} \simeq \text{Ind}_1^{\mathbb{Z}/e_{\pi_v}\mathbb{Z}} z^* \mathcal{F}_{\overline{\mathbb{Q}}_l}(t, \pi_v) \otimes \mathcal{U}_{F_v, t, tg}^{d-1+\bullet}(\pi_v[t]_D). \quad (3.2.8)$$

On alors rappelle les résultats suivants de [2].

3.2.9. **Théorème.** — Soit $1 \leq g \leq d$ et s_g la partie entière de d/g . Pour π_v une $\overline{\mathbb{Q}}_l$ -représentation irréductible cuspidale de $GL_g(F_v)$, on a l'égalité suivante dans \mathfrak{S} :

$$e_{\pi_v}[\Psi_{\mathcal{I}, \pi_v}] = \sum_{k=1-s_g}^{s_g-1} \sum_{\substack{|k| < t \leq s_g \\ t \equiv k-1 \pmod{2}}} \mathcal{P}_{\overline{\mathbb{Q}}_l}(t, \pi_v) \left(-\frac{k}{2} \right).$$

3.2.10. **Théorème.** — Pour $1 \leq g \leq d$, soit π_v une $\overline{\mathbb{Q}}_l$ -représentation irréductible cuspidale de $GL_g(F_v)$. Pour tout $1 \leq t \leq d/g$, soit Π_t une représentation quelconque de $GL_{tg}(F_v)$. On considère alors la restriction à $\overline{X}_{\mathcal{I}}^{(d-h)}$ de $h^i j_{!*}^{\geq tg} HT_{\overline{\mathbb{Q}}_l}(\pi_v, \Pi_t)$;

- elle est nulle pour h ne s'écrivant pas sous la forme $(t+a)g$ avec $0 \leq a \leq s_g - t$;
- pour $h = (t+a)g$ avec $0 \leq a \leq s_g - t$, elle est nulle pour $i \neq tg - d + a(g-1)$ et sinon elle est isomorphe à $HT_{\overline{\mathbb{Q}}_l}(\pi_v, \Pi_t \overrightarrow{[a-1]}_{\pi_v}) \otimes \Xi^{\frac{a(g-1)}{2}}$,

où $\Xi : \mathbb{Z} \rightarrow \overline{\mathbb{Q}}_l^\times$ désigne le caractère défini par $\Xi(1) = \frac{1}{q}$

Remarque : en particulier pour $g > 1$, $h^i j_{1*}^{\geq tg} HT_{\overline{\mathbb{Q}}_l}(\pi_v, \Pi_t)$ est nul pour i ne s'écrivant pas sous la forme $tg - d + a(g - 1)$ avec $0 \leq a \leq s_g - t$ et pour un tel $i = tg - d + a(g - 1)$ il est isomorphe à $j_1^{\geq (t+a)g} \widehat{HT}_{\overline{\mathbb{Q}}_l}(\pi_v, \Pi_t \overrightarrow{[a-1]_{\pi_v}}) \otimes \Xi^{\frac{a(g-1)}{2}}$.

3.2.11. Notation. — Étant donnée une structure entière de τ_v , on notera $\mathcal{F}_{\overline{\mathbb{Z}}_l, \tau_v, \mathcal{I}}$ le $\overline{\mathbb{Z}}_l$ -faisceau associé et $\mathcal{F}_{\overline{\mathbb{F}}_l, \tau_v, \mathcal{I}} = \mathcal{F}_{\overline{\mathbb{Z}}_l, \tau_v, \mathcal{I}} \otimes_{\overline{\mathbb{Z}}_l} \overline{\mathbb{F}}_l$ et on adoptera des notations similaires pour $HT_{\overline{\mathbb{F}}_l}(\pi_v, \Pi_t)$ et $\mathcal{P}_{\overline{\mathbb{F}}_l}(t, \pi_v)$.

4. Énoncé du théorème local

On considère comme dans [2] la tour \mathfrak{G} de groupes de Grothendieck. Étant donnée une $\overline{\mathbb{Q}}_l$ -représentation irréductible supercuspidale π de $GL_g(K)$ que l'on supposera toujours entière, on notera $r_l(\pi)$ sa réduction modulo l . Dans la suite $\overline{\pi}$ désignera une $\overline{\mathbb{F}}_l$ -représentation irréductible cuspidale quelconque de $GL_g(K)$ pour $1 \leq g \leq d$.

4.0.12. Théorème. — Pour $l \neq 2$, pour tout $1 \leq d$ et pour tout $0 \leq i < d$, les $\mathcal{U}_{K, \overline{\mathbb{Z}}_l, d}^i$ sont sans torsion.

Dans la suite on va prouver ce résultat en raisonnant par récurrence. En ce qui concerne l'initialisation de celle-ci, on rappelle que d'après (2.0.12) on a

$$\sum_{i=0}^{d-1} (-1)^i \mathcal{U}_{K, \overline{\mathbb{Z}}_l, d}^i \otimes_{\overline{\mathbb{Z}}_l} \overline{\mathbb{F}}_l = \sum_{i=0}^{d-1} (-1)^i \mathcal{U}_{K, \overline{\mathbb{F}}_l, d}^i$$

avec

$$0 \rightarrow \mathcal{U}_{K, \overline{\mathbb{Z}}_l, d}^i \otimes_{\overline{\mathbb{Z}}_l} \overline{\mathbb{F}}_l \rightarrow \mathcal{U}_{K, \overline{\mathbb{F}}_l, d}^i \rightarrow (\mathcal{U}_{K, \overline{\mathbb{Z}}_l, d}^{i+1})_{l\text{-tor}} \rightarrow 0$$

Ainsi pour $d = 1$, $\mathcal{U}_{K, \overline{\mathbb{Z}}_l, 1}^0$ n'a pas de torsion.

Désormais on supposera la conclusion de (4.0.12) vérifiée pour tout $h < d$. De manière immédiate, on a alors le corollaire suivant.

4.0.13. Corollaire. — Pour $l \neq 2$, pour tout $1 \leq d$ et pour tout $0 \leq i < d$, dans le groupe de Grothendieck des $\overline{\mathbb{F}}_l$ -représentations du groupe produit $D_{K, d}^\times \times GL_d(K) \times W_K$, on a

$$[\mathcal{U}_{K, \overline{\mathbb{F}}_l, d}^{d-1-i}] = \sum_{g|d} \sum_{\pi \in \text{Cusp}_{\overline{\mathbb{Z}}_l}(g)} r_l \left(\pi[s]_D \otimes [\overleftarrow{s-1-i}, \overrightarrow{i}]_\pi \otimes \mathcal{L}(\pi) \left(-\frac{d+s-2(i+1)}{2} \right) \right)$$

où $\text{Cusp}_{\overline{\mathbb{Z}}_l}(g)$ désigne l'ensemble des $\overline{\mathbb{Q}}_l$ -représentations cuspidales irréductibles et entières de $GL_g(K)$.

5. Énoncé du théorème global

Comme dans [2], la preuve sera par voie globale, via l'étude du faisceau pervers des cycles évanescents de certaines variétés de Shimura. Sur $\overline{\mathbb{Q}}_l$, d'après (3.2.9), pour tout $\pi_v \in \text{Cusp}(g)$, la composante π_v -isotypique $\Psi_{\mathcal{I}, \pi_v}$ de $\Psi_{\mathcal{I}}$ est nulle si $g > d$ et pour $1 \leq g \leq d$, on a un isomorphisme dans $\text{FPH}_{\overline{\mathbb{Q}}_l}(\overline{X}_{\mathcal{I}})$

$$gr_1^q gr_p^K(\Psi_{\mathcal{I}, \pi_v}^{e_{\pi_v}}) = \begin{cases} \mathcal{P}_{\overline{\mathbb{Q}}_l}(p+q+1, \pi_v) \left(-\frac{p-q}{2} \right) & \text{si } p, q \geq 0 \text{ et } p+q+1 \leq \lfloor \frac{d}{g} \rfloor \\ 0 & \text{sinon} \end{cases}.$$

Au cours de la démonstration, on prouvera la proposition suivante :

5.0.14. Proposition. — Pour $l \neq 2$, pour tout $1 \leq h \leq d$ et pour toute $\overline{\mathbb{Q}}_l$ -représentation irréductible entière τ_v de $D_{h, v}^\times$, $j_{1*}^{\geq h} \mathcal{F}_{\overline{\mathbb{Z}}_l, \tau_v}[d-h]$ est sans torsion, i.e. pour tout i $h^i j_{1*}^{\geq h} \mathcal{F}_{\overline{\mathbb{Z}}_l, \tau_v}[d-h]$ est un $\overline{\mathbb{Z}}_l$ -module libre.

Le résultat principal global sera alors le théorème suivant.

5.0.15. Théorème. — *Les groupes de cohomologie*

$$H_c^i(\overline{X}_{\mathcal{I}}, \mathcal{F}_{\overline{\mathbb{Z}}_l, \tau_v}), \quad H^i(\overline{X}_{\mathcal{I}}, \mathcal{P}_{\overline{\mathbb{Z}}_l}(t, \pi_v)), \quad H^i(\overline{X}_{\mathcal{I}}, \Psi_{\overline{\mathbb{Z}}_l, \mathcal{I}})$$

sont sans torsion.

6. Suites spectrales

La preuve repose sur l'étude simultanée, par récurrence, de trois suites spectrales que l'on introduit ci-après.

6.1. Faisceaux pervers et suites spectrales de stratification. — On considère un anneau Λ qui sera pour nous, $\overline{\mathbb{Z}}_l$, $\overline{\mathbb{F}}_l$ ou $\overline{\mathbb{Q}}_l$. Les faisceaux pervers considérés seront à coefficients dans Λ .

6.1.1. Lemme. — *Soit X un schéma, $j : U \hookrightarrow X$ un ouvert de complémentaire $i : F \hookrightarrow X$. Pour tout faisceau pervers K à support dans X , il existe une filtration dans la catégorie des pervers*

$$0 \subset K' \subset K'' \subset K$$

telle que K' et K/K'' soient à support dans F , i.e. annulés par j^* ou encore de la forme i_*M , et $K''/K' \simeq j_{!*}j^*K$.

Démonstration. — Considérons le carré commutatif dans la catégorie abélienne des faisceaux pervers sur X :

$$\begin{array}{ccc} K & \longrightarrow & j_*j^*K \\ \uparrow & & \uparrow \\ j_!j^*K & \longrightarrow & j_{!*}j^*K \end{array}$$

Il suffit alors de prendre pour K'' l'image de $j_!j^*K$ dans K et pour K' le noyau de $K'' \rightarrow j_{!*}j^*K$. \square

Remarque : sur \mathbb{Z}_l , on dispose de deux t -structures perverses échangées par la dualité que l'on notera avec un indice $+$ ou $-$; on prendra alors pour $j_{!*}$ la version correspondante.

6.1.2. Définition. — Étant donnée une stratification fixe

$$X^{[0]} \subset X^{[1]} \subset \dots \subset X^{[d-1]} = X$$

et un faisceau pervers K sur X , soit h maximal tel que le support de K est contenu dans $X^{[d-h]}$. On dira que K est de profondeur h si en outre K est de la forme $j_{!*}^{\geq h} j^{\geq h, *K}$ où $j^{\geq h}$ est l'inclusion de $X^{(d-h)}$ dans X .

Du lemme précédent on en déduit alors la proposition suivante.

6.1.3. Proposition. — *Étant donnée une stratification fixe*

$$X^{[0]} \subset X^{[1]} \subset \dots \subset X^{[d-1]} = X$$

et un faisceau pervers K sur X , il existe une filtration de K telle que :

- tous ses gradués gr_k ont une profondeur;
- si $k_1 < k_2$ sont tels que gr_{k_1} et gr_{k_2} sont de profondeur h alors il existe $k_1 < k_0 < k_2$ tel que gr_{k_0} est de profondeur $h' < h$.

Remarque : on normalisera la filtration en imposant que gr_0 soit de profondeur minimal parmi tous les gr_k .

6.1.4. Corollaire. — Soit $K_{\overline{\mathbb{Z}}_l}$ un faisceau pervers pour l'une des deux t -structures précédentes. On note

$$0 = K_{\overline{\mathbb{Z}}_l,0} \subset K_{\overline{\mathbb{Z}}_l,1} \subset \cdots \subset K_{\overline{\mathbb{Z}}_l,r} = K_{\overline{\mathbb{Z}}_l}$$

la filtration de stratification construite plus haut. Alors $K_{\overline{\mathbb{Z}}_l,i} \otimes_{\overline{\mathbb{Z}}_l} \overline{\mathbb{Q}}_l$ (resp. $K_{\overline{\mathbb{Z}}_l,i} \otimes_{\overline{\mathbb{Z}}_l}^{\mathbb{L}} \overline{\mathbb{F}}_l$) est une filtration de stratification du faisceau pervers $K_{\overline{\mathbb{Z}}_l} \otimes_{\overline{\mathbb{Z}}_l} \overline{\mathbb{Q}}_l$ (resp. $K_{\overline{\mathbb{Z}}_l} \otimes_{\overline{\mathbb{Z}}_l}^{\mathbb{L}} \overline{\mathbb{F}}_l$).

Démonstration. — Cela découle directement de la construction de la filtration de stratification en autorisant certains gradués à être nuls. \square

6.1.5. Proposition. — Soit $K_{\overline{\mathbb{Q}}_l}$ un faisceau pervers entier. On note $gr_{\overline{\mathbb{Q}}_l,k}$ (resp. $gr_{\overline{\mathbb{F}}_l,k}$) les gradués de la filtration de stratification de $K_{\overline{\mathbb{Q}}_l}$ (resp. $K_{\overline{\mathbb{Q}}_l} \otimes_{\overline{\mathbb{Z}}_l}^{\mathbb{L}} \overline{\mathbb{F}}_l$). Alors l'image de $gr_{\overline{\mathbb{F}}_l,k}$ dans le groupe de Grothendieck est la réduction modulo l de l'image de $gr_{\overline{\mathbb{Q}}_l,k}$.

Démonstration. — Cela découle directement de la proposition (2.0.12) que l'on applique aux $K_{\overline{\mathbb{Q}}_l,i}$. \square

6.1.6. Définition. — Un $\overline{\mathbb{Z}}_l$ -faisceau pervers sera dit sans torsion si tous ses faisceaux de cohomologie sont sans torsion.

6.1.7. Proposition. — Notons, pour $\Lambda = \overline{\mathbb{Z}}_l, \overline{\mathbb{F}}_l, \overline{\mathbb{Q}}_l$,

$$E_{\Lambda,S,1}^{p,q} = h^{p+q} gr_{\Lambda,-p} \Rightarrow h^{p+q} K_{\Lambda}$$

la suite spectrale de stratification de K_{Λ} déduite de celle pour $\overline{\mathbb{Z}}_l$ d'après (6.1.4). Alors s'il existe p, q et $r \geq 1$ tels que $E_{\overline{\mathbb{F}}_l,S,r}^{p,q} = E_{\overline{\mathbb{Z}}_l,S,r}^{p,q} \otimes_{\overline{\mathbb{Z}}_l} \overline{\mathbb{F}}_l$ et $E_{\overline{\mathbb{F}}_l,S,r}^{p+r,q-r+1} = E_{\overline{\mathbb{Z}}_l,S,r}^{p+r,q-r+1} \otimes_{\overline{\mathbb{Z}}_l} \overline{\mathbb{F}}_l$ alors $d_{\overline{\mathbb{F}}_l,S,r}^{p,q}$ est la réduction modulo l de $d_{\overline{\mathbb{Z}}_l,S,r}^{p,q}$.

6.2. Suite spectrale de stratification des extensions par zéro des systèmes locaux d'Harris-Taylor. — Dans ce paragraphe, on va étudier la filtration de stratification des $j_!^{\geq tg} HT_{\Lambda}(\pi_v, \Pi_t)$ pour $\Lambda = \overline{\mathbb{Q}}_l, \overline{\mathbb{F}}_l, \overline{\mathbb{Z}}_l$.

6.2.1. Proposition. — Pour tout $1 \leq t \leq s$, la filtration de stratification de $j_!^{\geq tg} HT_{\overline{\mathbb{Q}}_l}(\pi_v, \Pi_t)$ est telle que ses gradués $gr_{\overline{\mathbb{Q}}_l,t,k}$ sont nuls pour $k < 0$; pour $k \geq 0$ il sont égaux à

$$j_{!*}^{\geq (t+k)g} HT_{\overline{\mathbb{Q}}_l}(\pi_v, \Pi_t \overrightarrow{\times} \overleftarrow{[k-1]_{\pi_v}}) \otimes \Xi^{-k/2}$$

Démonstration. — Le cas $t = s$ étant trivial, on suppose $1 \leq t < s$. On rappelle que d'après [2], pour tout $1 \leq t \leq s$, on a l'égalité suivante dans le groupe de Grothendieck

$$j_!^{\geq tg} HT_{\overline{\mathbb{Q}}_l}(\pi_v, \Pi_t) = \sum_{r=0}^{s-t} j_{!*}^{\geq (t+r)g} HT_{\overline{\mathbb{Q}}_l}(\pi_v, \Pi_t \overrightarrow{\times} \overleftarrow{[r-1]_{\pi_v}}) \otimes \Xi^{-r/2}$$

Par ailleurs d'après loc. cit, la fibre en un point supersingulier de $h^i j_{!*}^{\geq tg} HT_{\overline{\mathbb{Q}}_l}(\pi_v, \Pi_t)$ est nulle sauf pour $i = 1 - t$. On considère alors la fibre en un point supersingulier de la suite spectrale de stratification

$$E_{\overline{\mathbb{Q}}_l,t,1}^{p,q} = h^{p+q} gr_{\overline{\mathbb{Q}}_l,t,-p} \Rightarrow h^{p+q} j_!^{\geq tg} HT_{\overline{\mathbb{Q}}_l}(\pi_v, \Pi_t)$$

Ainsi pour tout $p \geq 0$, il existe un unique q tel que la fibre en un point supersingulier de $E_{\overline{\mathbb{Q}}_l,t,1}^{p,q}$ soit non nulle. Le résultat découle alors du fait que la fibre en un point supersingulier de l'aboutissement est nulle. \square

6.2.2. Corollaire. — Pour tout $1 \leq t \leq s$, la filtration de stratification de $j_!^{\geq tg} HT_{\overline{\mathbb{F}}_l}(\pi_v, \Pi_t)$ est telle que ses gradués $gr_{\overline{\mathbb{F}}_l,t,k}$ sont nuls pour $k < 0$ et égaux à

$$j_{!*}^{\geq (t+k)g} HT_{\overline{\mathbb{F}}_l}(\pi_v, \Pi_t \overrightarrow{\times} \overleftarrow{[k-1]_{\pi_v}}) \otimes \Xi^{-k/2}$$

Remarque : en ce qui concerne la $\overline{\mathbb{Z}}_l$ -version, les parties libres des gradués sont classées comme précédemment, sauf qu'à priori peuvent s'intercaler des faisceaux pervers de torsion.

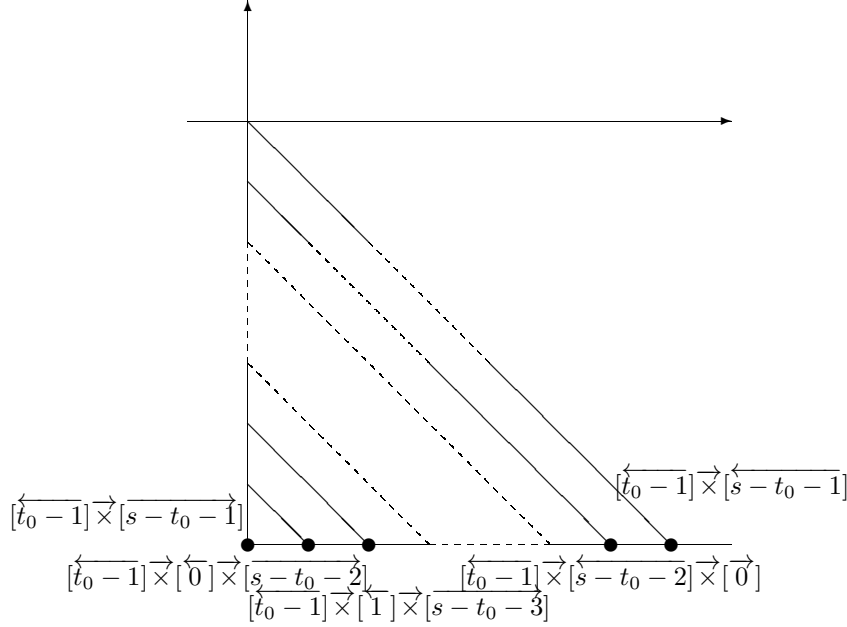


FIGURE 1. Germes en un point supersingulier des $E_1^{p,q} = h^{p+q} gr_{1,-p}$

6.3. Suite spectrale de stratification du complexe des cycles évanescents. — Dans ce paragraphe, on va étudier la filtration de stratification du complexe des cycles évanescents $\Psi_{\mathcal{I}}(\Lambda)$ pour $\Lambda = \overline{\mathbb{Q}}_l, \overline{\mathbb{F}}_l, \overline{\mathbb{Z}}_l$. Sur $\overline{\mathbb{Q}}_l$, d'après (3.2.9), on a

$$e_{\pi_v}[\Psi_{\mathcal{I}, \pi_v}] = \sum_{k=1-s_g}^{s_g-1} \sum_{\substack{|k| < t \leq s_g \\ t \equiv k-1 \pmod{2}}} \mathcal{P}_{\overline{\mathbb{Q}}_l}(t, \pi_v)(k/2)$$

Pour tout $1 \leq t \leq s$ et $0 \leq i \leq t-1$, soit $k_t(i)$ l'entier k tel que $gr_{\overline{\mathbb{Q}}_l, \Psi_{\pi_v}, -k}$ soit isomorphe à $\mathcal{P}_{\overline{\mathbb{Q}}_l}(t, \pi_v)(-\frac{1-t+2i}{2})$.

6.3.1. Proposition. — *La filtration de stratification de $\Psi_{\mathcal{I}, \pi_v}$ est telle que pour tout $1 < t \leq s$ et tout $0 \leq i, i' \leq t-1$ tels que $k_t(i) < k_t(i')$, il existe $0 \leq j \leq t-2$ tel que $k_t(i) < k_{t+1}(j) < k_t(i')$.*

Démonstration. — On considère la fibre en un point supersingulier de la suite spectrale de stratification de $\Psi_{\mathcal{I}, \pi_v}(\overline{\mathbb{Q}}_l)$:

$$E_{\overline{\mathbb{Q}}_l, \Psi_{\pi_v}, 1}^{p,q} = h^{p+q} gr_{\overline{\mathbb{Q}}_l, \Psi_{\pi_v}, -p} \Rightarrow h^{p+q} \Psi_{\mathcal{I}, \pi_v} \quad (6.3.2)$$

Par ailleurs d'après (3.2.10), la fibre en un point supersingulier de $h^i \mathcal{P}_{\overline{\mathbb{Q}}_l}(t, \pi_v)$ est nulle pour $i \neq 1-t$ et non nulle sinon. Le résultat découle alors de la connaissance des fibres en un point supersingulier de $h^i \Psi_{\mathcal{I}, \pi_v}$ qui impose qu'il y ait une flèche non nulle entre toutes les fibres des termes initiaux de même poids. \square

6.3.3. Remarque. — A identification près, on peut supposer que pour tout $1 \leq t \leq s$, on a

$$k_t(t-1) < k_t(t-2) < \dots < k_t(1) < k_t(0)$$

Il est tentant de supposer que les gradués $gr_{\overline{\mathbb{Q}}_l, \Psi_{\pi_v, k}}$ sont ceux de la filtration de monodromie $gr_{\overline{\mathbb{Q}}_l, \Psi_{\pi_v, k}}^M$, i.e. pour tout $0 \leq i \leq t-1$, $k_t(i) = 1 - t + 2i$. On fera cette hypothèse fautive dans l'étude de la \mathbb{Z}_l -suite spectrale associée et le lecteur vérifiera sans difficultés que cette simplification est inoffensive : en fait dans les raisonnements seul comptera l'ensemble des flèches possibles de la suite spectrale, ce que ne modifie pas l'hypothèse simplificatrice ci-dessus.

6.3.4. Notation. — Dans le groupe de Grothendieck des $\overline{\mathbb{F}}_l$ -faisceaux pervers de Hecke munis d'une action compatible de W_v , on notera $gr_{\overline{\mathbb{F}}_l, \Psi_{\pi_v, k}}$ l'image de la réduction modulo l de $gr_{\overline{\mathbb{Q}}_l, \Psi_{\pi_v, k}}$. Par abus de notations on notera $\Psi_{\overline{\mathbb{F}}_l, \pi_v}$ la somme dans le groupe de Grothendieck des $gr_{\overline{\mathbb{F}}_l, \Psi_{\pi_v, k}}$ pour k décrivant \mathbb{Z} .

6.4. Suites spectrales d'autodualité. — Pour $g > 1$, on étudie l'isomorphisme

$$Dj_{!*}^{\geq tg} HT_{\overline{\mathbb{F}}_l}(\pi_v, \Pi_t) \simeq j_{!*}^{\geq tg} HT_{\overline{\mathbb{F}}_l}(\pi_v^\vee, \Pi_t^\vee)$$

à travers la suite spectrale ⁽³⁾

$$E_{D_t, 2, \overline{\mathbb{F}}_l}^{p, q} = R^p \underline{Hom}(h^{-q} \mathcal{P}_{\overline{\mathbb{F}}_l}(t, \pi_v), K_{s_v}) \Rightarrow h^{p+q} \mathcal{P}_{\overline{\mathbb{F}}_l}(t, \pi_v^\vee) \quad (6.4.1)$$

où K_{s_v} désigne le complexe dualisant sur $\overline{X}_{\mathcal{I}}$. Sur $\overline{\mathbb{Z}}_l$, on dispose de deux t -structures que l'on note en mettant en indice un signe + ou - ; celles-ci sont échangées par la dualité de Verdier, ce qui fournit un isomorphisme

$$Dj_{!*+}^{\geq tg} HT_{\overline{\mathbb{Z}}_l}(\pi_v, \Pi_t) \simeq j_{!*+}^{\geq tg} HT_{\overline{\mathbb{Z}}_l}(\pi_v^\vee, \Pi_t^\vee)$$

et une suite spectrale correspondante.

Remarque : pour $g = 1$, on considère la suite spectrale associée à la stratification i.e.

$$E_{1, \overline{\mathbb{Z}}_l}^{p, q} = R^{p+q} \underline{Hom}(gr_S^{-p} \mathcal{P}_{\overline{\mathbb{Z}}_l, +}(t, \pi_v), K_{s_v}) \Rightarrow h^{p+q} \mathcal{P}_{\overline{\mathbb{Z}}_l, -}(t, \pi_v^\vee)$$

où gr_S^{-p} est le prolongement par zéro de la restriction à la strate $\overline{X}_{\mathcal{I}}^{(d-p+1)}$.

6.4.2 — On rappelle que pour un faisceau \mathcal{L} sur $\overline{X}_{\mathcal{I}}^{(d-(t+r)g)}$, par adjonction on a

$$R \underline{Hom}(i_*^{(t+r)g} j_i^{\geq (t+r)g} \mathcal{L}, f^! \overline{\mathbb{F}}_l) \simeq i_*^{(t+r)g} R j_i^{\geq (t+r)g} R \underline{Hom}(\mathcal{L}, j_i^{\geq (t+r)g, !} i^{(t+r)g, !} f^! \overline{\mathbb{F}}_l)$$

et comme $\overline{X}_{\mathcal{I}}^{(d-(t+r)g)}$ est lisse, on a $j_i^{\geq (t+r)g, !} i^{(t+r)g, !} f^! \overline{\mathbb{F}}_l \simeq \mathbb{F}_l[2(d - (t+r)g)](d - (t+r)g)$. Supposons alors que pour $i \leq -d + tg + r_0g$, les $h^i \mathcal{P}_{\overline{\mathbb{Z}}_l}(g, t, \pi_v)$ sont sans torsion, i.e. que pour $0 \leq r \leq r_0$, $h^{-d+tg+r(g-1)} j_{!*}^{\geq tg} HT_{\overline{\mathbb{F}}_l}(\pi_v, \Pi_t)$ est isomorphe à $j_i^{\geq (t+r)g} HT_{\overline{\mathbb{F}}_l}(\pi_v, \Pi_t) \overrightarrow{\times} [r-1]_{\pi_v} \otimes \Xi^{-r/2}$, et qu'il est nul pour les autres $i \leq -d + tg + rg$. Alors pour $q \geq (s-t-r_0)g$, les $E_{D_t, 2, \overline{\mathbb{F}}_l}^{p, q}$ sont nuls si q n'est pas de la forme $(s-t)g - r(g-1)$ avec $0 \leq r \leq r_0$ et pour $q = (s-t)g - r(g-1)$ et $p \geq -2(d - (t+r)g)$, $E_{D_t, 2, \overline{\mathbb{F}}_l}^{p, q}$ est isomorphe à

$$R^p \underline{Hom}(j_i^{\geq (t+r)g} HT_{\overline{\mathbb{F}}_l}(\pi_v, r_l([\overleftarrow{t-1}]_{\pi_v}) \overrightarrow{\times} r_l([\overleftarrow{a-1}]_{\pi_v})) \otimes \Xi^{-a/2}, K_{s_v}) \simeq \\ (i_*^{(t+a)g} R^{p+2(d-(t+a)g)} j_i^{\geq (t+a)g} HT_{\overline{\mathbb{F}}_l}(\pi_v^\vee, [\overleftarrow{t-1}]_{r_l(\pi_v)^\vee} \overleftarrow{\times} r_l([\overleftarrow{a-1}]_{\pi_v^\vee})) \otimes \Xi^{a/2}) \quad (6.4.3)$$

7. Principe de la preuve

On va raisonner par récurrence sur les strates de $\overline{X}_{\mathcal{I}}^{(d-1)}$ à $\overline{X}_{\mathcal{I}}^{(0)}$. A chaque étape, en raisonnant sur les fibres en un point quelconque de $\overline{X}_{\mathcal{I}}^{(d-h)}$, on montre les faits suivants :

- pour tout $1 \leq t \leq s$, les gradués $gr_{\overline{\mathbb{Z}}_l, !t, k}$ de profondeur h sont sans torsion ;
- les gradués $gr_{\overline{\mathbb{Z}}_l, \Psi_{\pi_v, k}}$ de profondeur h sont sans torsion ;

⁽³⁾cf. les figures (9), (10), (11) et (12)

- en tout point géométrique de $\overline{X}^{(d-h)}$, les faisceaux de cohomologies des $\mathcal{P}_{\overline{\mathbb{Z}}_l}(t, \pi_v)$ sont sans torsion et les scalaires associés aux flèches non nulles des suites spectrales du §6 sur $\overline{\mathbb{Z}}_l$, sont de valuation nulle.

Remarque : pour $d - h \neq 0$, on sait par récurrence que l'aboutissement de la suite spectrale de stratification du faisceau pervers des cycles évanescents est sans torsion. Cela dit afin d'obtenir un argument valable pour les points supersinguliers, on n'utilisera pas ce fait. L'ingrédient de contrôle que l'on utilisera est donné par le théorème principal de [4] : $D : \overline{\mathbb{F}}_l[GL_d(F_v)] - \text{mod}_\infty \longrightarrow \overline{\mathbb{F}}_l[GL_d(F_v)] - \text{mod}_\infty$ est définie de sorte que si V est une représentation admissible de $GL_d(F_v)$, alors pour tout $i \geq 0$ on a, cf. loc. cit. définition 1.4 :

$$R^i D(V) = \text{Ext}_{GL_d(F_v)}^i(V, \mathcal{H}_v)$$

où $\mathcal{H}_v = C_c^\infty(GL_d(F_v))$ est l'algèbre de Hecke de $GL_d(F_v)$. On note \mathbf{D} le foncteur dérivé.

7.0.4. Théorème. — (cf. [4] théorèmes 2.1, 4.3 et 4.7) *Le complexe $\mathcal{U}_{F_v, \overline{\mathbb{F}}_l, d}^\bullet$ est autodual pour \mathbf{D} , i.e. il y a un isomorphisme*

$$\mathcal{U}_{F_v, \overline{\mathbb{F}}_l, d}^\bullet(d-1)[2(d-1)] \simeq \mathbf{D}\left(\mathcal{U}_{F_v, \overline{\mathbb{F}}_l, d}^\bullet\right)$$

dans $\mathbb{D}_{tf}^b(\overline{\mathbb{F}}_l[GD_v(d)/F_v^\times \times W_v^{disc}]_\infty)$.

7.0.5. Corollaire. — *Soit $\overline{\pi}_v$ une $\overline{\mathbb{F}}_l$ -représentation irréductible cuspidale de $GL_g(F_v)$ pour g un diviseur de $d = sg$. Soit alors Π_v une représentation irréductible $\overline{\pi}_v$ -superunipotente telle qu'il existe τ_v (resp. σ_v) une représentation irréductible de $D_{v,d}^\times$ (resp. de W_v) pour lesquelles $\Pi_v \otimes \tau_v \otimes \sigma_v$ est un sous-quotient de $\mathcal{U}_{F_v, \overline{\mathbb{F}}_l, sg}^{sg-1-\bullet}(\frac{sg-1}{2})$. Alors $Z_{\overline{\pi}_v}(\Pi_v^\vee) \otimes \tau_v^\vee \otimes \sigma_v^\vee$ est un sous-quotient de $\mathcal{U}_{F_v, \overline{\mathbb{F}}_l, sg}^{s(g-1)+\bullet}(\frac{sg-1}{2})$.*

Démonstration. — On procède comme dans le cas de la caractéristique nulle : d'après [12] III.6, on se ramène à étudier le bloc $\overline{\pi}_v$ -unipotent. Ensuite en considérant uniquement les représentations $\overline{\pi}_v$ -superunipotentes, nous allons montrer que le corollaire 1.21 de [4] est encore valide, le reste de la preuve est alors strictement identique à celle de loc. cit. Il s'agit alors de prouver l'analogie suivant du théorème III.3.1 de [9] : pour toute représentation (V, Π_v) qui est $\overline{\pi}_v$ -superunipotente, $\mathcal{M}_{\overline{\pi}_v}(R^i D(V))$ est nul pour $i \neq s-1$ et pour $i = s-1$, égal à $Z_{\overline{\pi}_v}(\Pi_v)$. Parallèlement à [9], en utilisant les résultats de [11] §4, on est ramené à montrer que pour tout $i \geq 0$, $\mathcal{M}_{\overline{\pi}_v}(R^i D(V))$ est égal à $\mathcal{M}_{\overline{\pi}_v}\left(H_c^i(X, \mathcal{F}_e(V))\right)$ avec les notations de loc. cit. On reprend les notations de [11], en particulier $H_c^\bullet(X, \mathcal{F}_e(V))$ est la cohomologie du complexe

$$0 \rightarrow C_c^{or}(X_{(d)}, \gamma_e(V)) \rightarrow \cdots \rightarrow C_c^{or}(X_{(0)}, \gamma_e(V)) \rightarrow V \rightarrow 0$$

de la proposition 2.6, avec $C_c^{or}(X_{(q)}, \gamma_e(V)) \simeq \bigoplus_{\mathcal{F} \in \mathcal{F}_q} \text{Ind}_{P_{\mathcal{F}}^+}^{GL_d(F_v)} \epsilon_{\mathcal{F}} \tau_{e,V}$. En prenant une résolution projective de $\epsilon_{\mathcal{F}} \tau_{e,V}$, on obtient un complexe double $(K^{p,q}, d_1, d_2)$, où d_1 (resp. d_2) est la différentielle horizontale (resp. verticale), avec $K^{p,q}$ nul pour $q > 0$ ou $p > 0$ ou $p < -d$. Le complexe total associé est alors une résolution projective de V comme dans le théorème 2.11. de [11]. Les $R^i D(V)$ en sont alors les groupes de cohomologie. On raisonne alors dans le bloc $\overline{\pi}_v$ -unipotent de sorte que d'après [11] théorème 4.6, la cohomologie de d_1 est nulle sauf éventuellement pour $p = 1 - s$. Il ne reste ainsi plus qu'à calculer l'image par $\mathcal{M}_{\overline{\pi}_v}$ de la cohomologie de $(K^{1-s, \bullet}, d_2)$ ce qui revient à calculer celle de

$$\cdots \rightarrow H_c^{s-1}(X, \mathcal{F}_e(V_2)) \rightarrow H_c^{s-1}(X, \mathcal{F}_e(V_1)) \rightarrow H_c^{s-1}(X, \mathcal{F}_e(V)) \rightarrow 0$$

où $\cdots \rightarrow V_2 \rightarrow V_1 \rightarrow V \rightarrow 0$ est une résolution projective. En notant que $H_c^i(X, \mathcal{F}_e(W))$ a une image nulle par $\mathcal{M}_{\overline{\pi}_v}$ pour $i = s, s-2$, on en déduit classiquement que la cohomologie du complexe ci-dessus est nulle sauf pour $p = 0$ auquel cas on obtient $\mathcal{M}_{\overline{\pi}_v}\left(H_c^{s-1}(X, \mathcal{F}_e(V))\right) = Z_{\overline{\pi}_v}(\Pi_v)$, d'où le résultat.

□

L'initialisation de la récurrence étant trivial, prendre $h < g$, on suppose le résultat acquis jusqu'au rang $h - 1$ et traitons le cas de h . Il y a alors deux situations selon que h est de la forme tg ou non.

- Dans le cas où h n'est pas de la forme tg , on commence par raisonner sur la suite spectrale $E_{\mathbb{F}_l, !_k, 1}^{p, q}$, par récurrence sur k de s à 1, de sorte que pour $p > 0$, la fibre de $E_{\mathbb{F}_l, !_k, 1}^{p, q}$ en tout point géométrique de $\overline{X}_{\mathcal{I}}^{(d-h)}$ est nulle. Comme h n'est pas de la forme tg , la fibre de l'aboutissement est nulle, de sorte qu'il en est de même pour $p = 0$. On en déduit donc que la fibre en tout point géométrique des $E_{\mathbb{F}_l, \Psi_{\pi_v}, 1}^{p, q}$ est nulle pour tout p, q .

- Si h est de la forme tg , la procédure est donnée dans les paragraphes suivants en utilisant la remarque suivante.

7.0.6. Remarque. — Sans être restrictif et afin de ne pas alourdir les notations, comme le raisonnement pour $h = tg$ est indépendant de t , on ne traitera que le cas $h = sg$, i.e. le cas des points supersinguliers et on laissera au lecteur averti le soin d'apporter les modifications mineures : par exemple dans le cas des points supersinguliers, on a $j_!^{\geq sg} HT(\pi_v, \Pi_s) = j_{!*}^{\geq sg} HT(\pi_v, \Pi_s)$ alors que pour $h = tg$, cette égalité n'est vraie que modulo des faisceaux pervers à support dans $\overline{X}_{\mathcal{I}}^{[d-tg-1]}$ ce qui suffit dans tous les raisonnements où l'on considère la fibre en un point de $\overline{X}_{\mathcal{I}}^{(d-tg)}$.

7.0.7. Définition. — On note $m_{\pi_v} := g \dim_{\mathbb{F}_l} r_l(\pi_v[s]_D)$, la dimension de $\pi_v[s]_D \otimes \mathcal{L}(\pi_v)$.

7.1. Initialisation. — Dans ce paragraphe, on va prouver que pour tout $1 \leq t \leq s$, la fibre en un point supersingulier z de $h^{t-s} j_{!*}^{\geq tg} HT_{\mathbb{F}_l}(\pi_v, \Pi_t)$ est munie d'une action de $GDW_v(d)^0$ telle que

$$\mathrm{Ind}_{GDW_v(d)^0}^{GDW_v(d)} z^* h^{t-s} j_{!*}^{\geq tg} HT_{\mathbb{F}_l}(\pi_v, \Pi_t) \simeq r_l \left(\pi_v[s]_D \otimes \Pi_t \overrightarrow{\times} [\overline{s-t-1}]_{\pi_v} \left(-\frac{s-t}{2} \right) \right)$$

7.1.1. Lemme. — Pour tout $1 \leq t \leq s$, les fibres en un point supersingulier des $h^i j_{!*}^{\geq tg} HT_{\mathbb{F}_l}(\pi_v, \Pi_t)$ sont nulles pour $i < t - s$ et sans torsion pour $i = t - s$.

Démonstration. — On raisonne par récurrence sur t de s à 1. Le cas de $t = s$ étant trivial supposons donc le résultat acquis jusqu'au rang $t + 1$ et traitons le cas de t . On considère la fibre en un point supersingulier de la suite spectrale de stratification de $j_!^{\geq tg} HT_{\mathbb{F}_l}(\pi_v, \Pi_t)$:

$$E_{\mathbb{Z}_l, !_t, 1}^{p, q} = h^{p+q} gr_{\mathbb{Z}_l, !_t, -p} \Rightarrow E_{\mathbb{Z}_l, !_t, \infty}^{p+q}$$

D'après l'hypothèse de récurrence, pour tout $p > 0$, les fibres en un point supersingulier des $h^i gr_{\mathbb{Z}_l, !_t, k}$ sont nulles pour $i \leq t - s$ et sans torsion pour $i = t - s + 1$. Le résultat découle alors du fait que la fibre en un point supersingulier de l'aboutissement est nulle. □

7.1.2. Lemme. — Pour tout $1 \leq t \leq s$, la fibre en un point supersingulier z de $h^{t-s} j_{!*}^{\geq tg} HT_{\mathbb{F}_l}(\pi_v, \Pi_t)$ est munie d'une action de $GDW_v(d)^0$ de sorte que $\mathrm{Ind} z^* h^{t-s} j_{!*}^{\geq tg} HT_{\mathbb{F}_l}(\pi_v, \Pi_t)$ est isomorphe à la réduction modulo l soit de

$$\pi_v[s]_D \otimes \Pi_t \overrightarrow{\times} [\overline{s-t-1}]_{\pi_v} \left(-\frac{s-t}{2} \right)$$

soit de

$$\pi_v[s]_D \otimes \Pi_t \overrightarrow{\times} [\overline{s-t-2}]_{\pi_v} \overrightarrow{\times} [\overleftarrow{0}]_{\pi_v} \left(-\frac{s-t}{2} \right)$$

Démonstration. — On raisonne par récurrence sur t de s à 1. Le cas $t = s$ étant trivial, supposons donc le résultat acquis jusqu'au rang $t + 1$ et traitons le cas de t . On considère la suite spectrale d'autodualité

$$E_{\mathbb{Z}_l, D_t, 2}^{p, q} \Rightarrow h^{p+q} j_{!*}^{\geq tg} HT_{\mathbb{Z}_l}(\pi_v^\vee, \Pi_t^\vee)$$

D'après l'hypothèse de récurrence

$$E_{\mathbb{F}_l, D_t, 2}^{i, 2(g-1)+s-t} \simeq h^{i+2g} j_*^{\geq (s-2)g} HT_{\mathbb{F}_l}(\pi_v^\vee, \Pi_t^\vee \overleftarrow{\times} r_l(\overleftarrow{[s-t-3]}_{\pi_v})) \otimes \Xi^{(s-t-2)/2}$$

$$E_{\mathbb{F}_l, D_t, 2}^{i, g-1+s-t} \simeq h^{i+g} j_*^{\geq (s-1)g} HT_{\mathbb{F}_l}(\pi_v^\vee, \Pi_t^\vee \overleftarrow{\times} r_l(\overleftarrow{[s-t-2]}_{\pi_v})) \otimes \Xi^{(s-t-1)/2}$$

Afin d'étudier ces derniers, on considère la filtration de stratification de $j_*^{\geq (s-2)g} HT_{\mathbb{F}_l}(\Pi_t \overrightarrow{\times} r_l(\overleftarrow{[s-t-3]}_{\pi_v}))$ (resp. de $j_*^{\geq (s-1)g} HT_{\mathbb{F}_l}(\Pi_t \overrightarrow{\times} r_l(\overleftarrow{[s-t-2]}_{\pi_v}))$), obtenue par dualité à partir de celle des extensions par zéro du §6.2. On renvoie le lecteur à la preuve du lemme (7.2.11) pour plus détails; on obtient alors que

$$E_{\mathbb{F}_l, D_t, 2}^{-2g, 2(g-1)+s-t} \simeq E_{\mathbb{Z}_l, D_t, 2}^{-2g, 2(g-1)+s-t} \otimes_{\mathbb{Z}_l} \overline{\mathbb{F}}_l \quad (\text{resp. } E_{\mathbb{F}_l, D_t, 2}^{-g, (g-1)+s-t} \simeq E_{\mathbb{Z}_l, D_t, 2}^{-g, g-1+s-t} \otimes_{\mathbb{Z}_l} \overline{\mathbb{F}}_l)$$

de sorte que $d_{\mathbb{F}_l, D_t, g}^{-2g, 2(g-1)+s-t}$ est la réduction modulo l de $d_{\mathbb{Z}_l, D_t, g}^{-2g, 2(g-1)+s-t}$. On rappelle que $z^* \mathcal{F}_{\mathbb{Q}_l, \tau_v, \mathcal{I}}$ est munie d'une action de $(D_{v,d}^\times)^0$ telle que $\text{Ind}_{(D_{v,d}^\times)^0}^{D_{v,d}^\times} z^* \mathcal{F}_{\mathbb{Q}_l, \tau_v, \mathcal{I}} \simeq \tau_v$. Ainsi après application de $\text{Ind}_{(D_{v,d}^\times)^0}^{D_{v,d}^\times}$, $d_{\mathbb{Z}_l, D_t, g}^{-2g, 2(g-1)+s-t}$ est un morphisme équivariant

$$\pi_v[s]_D \otimes \Pi_t \overleftarrow{\times} \overleftarrow{[s-t-3]}_{\pi_v} \overleftarrow{\times} \overleftarrow{[\overline{1}]}_{\pi_v} \longrightarrow \pi_v[s]_D \otimes \Pi_t \overleftarrow{\times} \overleftarrow{[s-t-2]}_{\pi_v} \overleftarrow{\times} \overleftarrow{[\overline{0}]}_{\pi_v}$$

et est donc en utilisant que Π_t est quelconque (ou alors que les strates sont induites), d'après le lemme de Schur, déterminée par une homothétie de $\pi_v[s]_D \otimes \overleftarrow{[s-t-3]}_{\pi_v} \overleftarrow{\times} \overleftarrow{[\overline{1}]}_{\pi_v}$, d'où le résultat. \square

7.1.3. Lemme. — Si pour un point supersingulier z , $\text{Ind}_{(D_{v,d}^\times)^0}^{D_{v,d}^\times} z^* h^{1-s} j_{!*}^{\geq g} HT_{\mathbb{F}_l}(\pi_v, \Pi_1)$ est isomorphe à la réduction modulo l de

$$\pi_v[s]_D \otimes \Pi_1 \overrightarrow{\times} \overleftarrow{[s-t-2]}_{\pi_v} \overrightarrow{\times} \overleftarrow{[\overline{0}]}_{\pi_v}$$

alors $\text{Ind}_{(D_{v,d}^\times)^0}^{D_{v,d}^\times} z^* R^{d-s} \Psi_{\eta_v}(\overline{\mathbb{F}}_l)$ contient

$$r_l(\pi_v[s]_D) \otimes \left(\overleftarrow{[s-1]}_{\pi_v} + \Pi_v \right) \otimes r_l(\mathcal{L}(\pi_v)(-\frac{1-s}{2}))$$

où Π_v est une représentation irréductible π_v -superunipotente.

Démonstration. — L'hypothèse implique que pour tout point supersingulier z , $\text{Ind}_{(D_{v,d}^\times)^0}^{D_{v,d}^\times} z^* E_{\mathbb{F}_l, \Psi, 1}^{0, 1-s}$ admet comme constituant la réduction modulo l de

$$\pi_v[s]_D \otimes \overleftarrow{[\overline{0}]}_{\pi_v} \overrightarrow{\times} \overleftarrow{[s-3]}_{\pi_v} \overrightarrow{\times} \overleftarrow{[\overline{0}]}_{\pi_v} \otimes \mathcal{L}(\pi_v)(\frac{s-1}{2})$$

de sorte que l'image par le foncteur de Jacquet $J_{N_g, (s-1)g}$ contient

$$\begin{aligned} & \overleftarrow{[\overline{0}]}_{r_l(\pi_v(\frac{1-s}{2}))} \otimes \overleftarrow{[s-2]}_{r_l(\pi_v(1/2))} + \overleftarrow{[\overline{0}]}_{r_l(\pi_v(\frac{s-1}{2}))} \otimes \overleftarrow{[s-2]}_{r_l(\pi_v(-1/2))} + \\ & \overleftarrow{[\overline{0}]}_{r_l(\pi_v(\frac{3-s}{2}))} \otimes \overleftarrow{[\overline{0}]}_{r_l(\pi_v(\frac{1-s}{2}))} \times \overleftarrow{[s-3]}_{r_l(\pi_v(1))} \end{aligned} \quad (7.1.3)$$

Par ailleurs en raisonnant par récurrence sur g , on en déduit d'après le lemme (7.1.1), que la fibre en un point supersingulier des $E_{\mathbb{F}_l, \Psi, 1}^{p,q}$ pour $p > 0$ et $p+q = 2-s$ est nulle sauf la contribution du gradué égal à la réduction modulo l de $\mathcal{P}_{\mathbb{Z}_l}(2, \pi_v)$, contribution qui est alors contenue dans la réduction modulo l de

$$\pi_v[s]_D \otimes \overleftarrow{[\overline{1}]}_{\pi_v} \overrightarrow{\times} \overleftarrow{[s-4]}_{\pi_v} \overrightarrow{\times} \overleftarrow{[\overline{0}]}_{\pi_v} \otimes \mathcal{L}(\pi_v)(-\frac{1-s}{2})$$

de sorte que l'image par le foncteur de Jacquet précédent de $E_{\mathbb{F}_l, \Psi_{\pi_v, 1}}^{1, 1-s}$ est contenue dans la réduction modulo l de la somme suivante

$$\begin{aligned}
& \overleftarrow{[0]}_{\pi_v(\frac{3-s}{2})} \otimes \left(\overleftarrow{[0]}_{\pi_v(\frac{1-s}{2})} \times \overrightarrow{[s-3]}_{\pi_v(1)} + \overleftarrow{[0]}_{\pi_v(\frac{1-s}{2})} \times \overrightarrow{[s-4, \overleftarrow{1}]}_{\pi_v(1)} \right) + \\
& \overleftarrow{[0]}_{\pi_v(\frac{5-s}{2})} \otimes \overleftarrow{[1]}_{\pi_v(\frac{2-s}{2})} \times \left(\overrightarrow{[s-5, \overleftarrow{1}]}_{\pi_v(3/2)} + \overrightarrow{[s-4]}_{\pi_v(3/2)} \right) + \\
& \overleftarrow{[0]}_{\pi_v(\frac{s-1}{2})} \otimes \left(\overleftarrow{[1, s-3]}_{\pi_v(-1/2)} + \overleftarrow{[2, s-4]}_{\pi_v(-1/2)} \right) \quad (7.1.4)
\end{aligned}$$

Comme le premier terme $\overleftarrow{[0]}_{\pi_v(\frac{3-s}{2})} \otimes \overrightarrow{[s-2]}_{\pi_v(1/2)}$ de (7.1.4) est un constituant de (7.1.3), on ne le considère plus par la suite, ni dans (7.1.3), ni dans (7.1.4). D'après (1.7.5) et (1.7.6), si $\overleftarrow{[0]}_{r_l(\pi_v(\frac{s-1}{2}))} \otimes \overrightarrow{[s-2]}_{r_l(\pi_v(-1/2))}$ est un sous-quotient de la réduction modulo l de (7.1.4) alors c'est un sous-quotient de $\overleftarrow{[0]}_{\pi_v(\frac{5-s}{2})} \otimes \overleftarrow{[1]}_{\pi_v(\frac{2-s}{2})} \times \overrightarrow{[s-4]}_{\pi_v(3/2)}$. L'égalité des supports cuspidaux pour GL_g impose $s-3 \equiv 0 \pmod{\epsilon_l(\pi_v)}$. En raisonnant sur le niveau de Whittaker, il faut en outre que $r_l(\overleftarrow{[1]}_{\pi_v(\frac{2-s}{2})})$ ne soit pas irréductible ce qui impose que $\epsilon_l(\pi_v) = 2$ ou alors $\epsilon_l(\pi_v) = 1$ et $m_l(\pi_v) = l = 2$ ce qui est exclu par hypothèse. Ainsi on a $\epsilon_l(\pi_v) = 2$. La contradiction découle alors du fait que l'image de $\overrightarrow{[s-2]}_{r_l(\pi_v(-1/2))}$ par le foncteur de Jacquet $J_{N_{g,(s-2)g}}$ est $\overrightarrow{[0]}_{r_l(\pi_v(\frac{1-s}{2}))} \otimes \dots$ alors que celle de tout constituant de la réduction modulo l de $\overleftarrow{[1]}_{\pi_v(\frac{2-s}{2})} \times \overrightarrow{[s-4]}_{\pi_v(3/2)}$ est de la forme $\overrightarrow{[0]}_{r_l(\pi_v(\delta))} \otimes \dots$ avec $\delta - \frac{1-s}{2} \equiv 1 \pmod{\epsilon_l(\pi_v)}$.

Comme l'image par $J_{N_{g,(s-1)g}}$ de $\overrightarrow{[s-1]}_{r_l(\pi_v)}$ est irréductible, on en déduit qu'il existe outre $\overrightarrow{[s-1]}_{r_l(\pi_v)}$, un sous-quotient irréductible de $h^{1-s}\Psi_{\mathcal{I},\pi_v}(\overline{\mathbb{F}}_l)$ dont l'image par $J_{N_{g,(s-1)g}}$ contient $\overleftarrow{[0]}_{r_l(\pi_v(\frac{s-1}{2}))} \otimes \overrightarrow{[s-2]}_{r_l(\pi_v(-1/2))}$; celle-ci est alors π_v -superunipotente d'où le résultat. \square

7.1.5. Lemme. — *Sous les hypothèses du lemme suivant, $\text{Ind}_{(D_{v,d}^\times)_0}^{D_{v,d}^\times} z^* h^0 \Psi_{\mathcal{I},\pi_v}(\overline{\mathbb{F}}_l)$ contient $\mathcal{M}(\overleftarrow{[s-1]}_{\pi_v})$ avec une multiplicité supérieure à $2m_{\pi_v}$.*

Démonstration. — Le résultat découle directement du lemme précédent, par application de (7.0.5), en notant que seuls les sous-quotients irréductibles de $r_l(\overleftarrow{[s-1]}_{\pi_v})$ peuvent être des constituants de $\text{Ind}_{(D_{v,d}^\times)_0}^{D_{v,d}^\times} z^* h^0 \Psi_{\mathcal{I},\pi_v}(\overline{\mathbb{F}}_l)$: parmi ceux-ci $\mathcal{M}(\overleftarrow{[s-1]}_{\pi_v})$ est le seul qui soit π_v -superunipotent. \square

7.1.6. Proposition. — *Pour tout point supersingulier z , $\text{Ind}_{(D_{v,d}^\times)_0}^{D_{v,d}^\times} z^* h^{1-s} j_{!*}^{\geq g} HT_{\overline{\mathbb{F}}_l}(\pi_v, \Pi_1)$ est isomorphe à la réduction modulo l de*

$$\pi_v[s]_D \otimes \Pi_1 \overrightarrow{[s-2]}_{\pi_v}$$

Démonstration. — D'après les lemmes précédents, dans le cas contraire $\text{Ind}_{(D_{v,d}^\times)_0}^{D_{v,d}^\times} z^* h^0 \Psi_{\mathcal{I},\pi_v}(\overline{\mathbb{F}}_l)$ contiendrait $\mathcal{M}(\overleftarrow{[s-1]}_{\pi_v})$ avec une multiplicité supérieure à $2m_{\pi_v}$ de sorte que d'après (7.0.5), $\text{Ind}_{(D_{v,d}^\times)_0}^{D_{v,d}^\times} z^* h^{1-s} \Psi_{\mathcal{I},\pi_v}(\overline{\mathbb{F}}_l)$ devrait contenir $\overrightarrow{[s-1]}_{r_l(\pi_v)}$ avec une multiplicité au moins $2m_{\pi_v}$ alors que dans les termes initiaux, elle n'apparaît qu'avec multiplicité m_{π_v} . \square

7.1.7. Corollaire. — *Pour tout $1 \leq t \leq s$ et pour tout point supersingulier z ,*

$$\text{Ind}_{(D_{v,d}^\times)_0}^{D_{v,d}^\times} z^* h^{t-s} j_{!*}^{\geq tg} HT_{\overline{\mathbb{F}}_l}(\pi_v, \Pi_t)$$

est isomorphe à la réduction modulo l de $\pi_v[s]_D \otimes \Pi_t \overrightarrow{[s-t-1]}_{\pi_v}$.

Démonstration. — On raisonne par récurrence sur t de 1 à s , le cas $t = 1$ étant donné par la proposition précédente. Supposons donc le résultat acquis jusqu'au rang t et traitons le cas de

$t + 1$. On raisonne alors par l'absurde en étudiant la suite spectrale $E_{\mathbb{F}_l, !t, 1}^{p, q}$ où $\text{Ind } z^* E_{\mathbb{F}_l, !t, 1}^{0, t-s}$ (resp. $\text{Ind } z^* E_{\mathbb{F}_l, !t, 1}^{1, t-s}$) est isomorphe à la réduction modulo l de

$$\pi_v[s]_D \otimes \Pi_t \overrightarrow{\times} [\overleftarrow{s-t-1}]_{\pi_v} \quad (\text{resp. } \pi_v[s]_D \otimes \Pi_t \overrightarrow{\times} [\overleftarrow{0}]_{\pi_v} \overrightarrow{\times} [\overleftarrow{s-t-3}]_{\pi_v} \overrightarrow{\times} [\overleftarrow{0}]_{\pi_v})$$

alors que $\text{Ind } z^* E_{\mathbb{F}_l, !t, 1}^{2, t-s}$ est contenu dans celle de $\pi_v[s]_D \otimes \Pi_t \overrightarrow{\times} [\overleftarrow{1}]_{\pi_v} \overrightarrow{\times} [\overleftarrow{s-t-4}]_{\pi_v} \overrightarrow{\times} [\overleftarrow{0}]_{\pi_v}$. En reprenant la preuve du lemme (7.1.3), on obtient que $\mathcal{M}_l([\overleftarrow{s-t-3}, \overleftarrow{1}]_{\pi_v})$ est un constituant de $\text{Ind } z^* E_{\mathbb{F}_l, !t, 1}^{1, t-s}$ et pas de $\text{Ind } z^* E_{\mathbb{F}_l, !t, 1}^{2, t-s}$ ni de $\text{Ind } z^* E_{\mathbb{F}_l, !t, 1}^{0, t-s}$ de sorte que l'aboutissement ne peut pas être nul, d'où la contradiction. \square

7.2. Hypothèses de récurrence. — Dans le cas général on va raisonner suivant le même fil directeur que dans le paragraphe précédent ; les idées sont exactement les mêmes et les difficultés ne sont que techniques. Le principe de la preuve est de décrire petit à petit les trois suites spectrales précédentes. Commençons par rappeler la description de leur $\overline{\mathbb{Q}}_l$ -version d'après [2].

7.2.1. Proposition. — (cf. [2] 2.2.10) *La suite spectrale de stratification de $\Psi_{\mathcal{I}, \pi_v}(\overline{\mathbb{Q}}_l)$ dégénère. En un point supersingulier z , les seules flèches non nulles sont exactement les*

$$\begin{aligned} \text{Ind } z^* d_{\overline{\mathbb{Q}}_l, \Psi_{\pi_v}, k_{t+1}(i)-k_t(i)}^{k_t(i), 1-s+t-k_t(i)} : \pi_v[s]_D \otimes [\overleftarrow{t-1}]_{\pi_v} \overrightarrow{\times} [\overleftarrow{s-t-1}]_{\pi_v} \otimes \mathcal{L}(\pi_v)\left(-\frac{1-s+2i}{2}\right) \longrightarrow \\ \pi_v[s]_D \otimes [\overleftarrow{t}]_{\pi_v} \overrightarrow{\times} [\overleftarrow{s-t-2}]_{\pi_v} \otimes \mathcal{L}(\pi_v)\left(-\frac{1-s+2i}{2}\right) \end{aligned} \quad (7.2.2)$$

qui sont, d'après le lemme de Schur, données par des scalaires $\lambda_{\overline{\mathbb{Q}}_l, \Psi_{\pi_v}, t, i} \in \mathbb{Z}_l$ qui ne dépendent pas de i .

Démonstration. — La liste des flèches non nulles découle de la description d'après [2], de la suite spectrale de monodromie du complexe des cycles évanescents. Le fait que les scalaires soient indépendants de i découle de l'action de l'opérateur de monodromie N . \square

7.2.3. Proposition. — *Pour tout $1 \leq a \leq s$, la suite spectrale de stratification de $j_1^{\geq ag} HT_{\overline{\mathbb{Q}}_l}(\pi_v, \Pi_a)$ dégénère en E_2 . En un point supersingulier z , les flèches non nulles sont exactement les*

$$\begin{aligned} \text{Ind } z^* d_{\overline{\mathbb{Q}}_l, !a, 1}^{t, a-s} : \pi_v[s]_D \otimes \Pi_a \overrightarrow{\times} [\overleftarrow{t-1}]_{\pi_v} \overrightarrow{\times} [\overleftarrow{s-a-t-1}]_{\pi_v} \\ \longrightarrow \pi_v[s]_D \otimes \Pi_a \overrightarrow{\times} [\overleftarrow{t}]_{\pi_v} \overrightarrow{\times} [\overleftarrow{s-a-t-2}]_{\pi_v} \end{aligned} \quad (7.2.4)$$

qui d'après le lemme de Schur, sont données par un scalaire $\lambda_{\overline{\mathbb{Q}}_l, !a, t} \in \mathbb{Z}_l$.

Démonstration. — Cela découle directement de la description [2] 2.2.5, des faisceaux de cohomologies des $\mathcal{P}(a, \pi_v)$ pour tout $1 \leq a \leq g$ et du fait que l'aboutissement de la suite spectrale est nulle. \square

7.2.5. Proposition. — *Pour tout $1 \leq a \leq s$, la suite spectrale de dualité dégénère en E_{g+1} . En un point supersingulier z , les flèches non nulles sont exactement les*

$$\begin{aligned} \text{Ind } z^* d_{\overline{\mathbb{Q}}_l, D_{k, g}}^{-ag-r, s-k+a(g-1)} : \pi_v[s]_D \otimes (\Pi_k^\vee \overleftarrow{\times} [\overleftarrow{s-k-a-1}]_{\pi_v^\vee} \overleftarrow{\times} [\overleftarrow{a-r-1}]_{\pi_v^\vee} \overrightarrow{\times} [\overleftarrow{r-1}]_{\pi_v^\vee} \left(-\frac{s-1-2r}{2}\right) \\ \longrightarrow \pi_v[s]_D \otimes (\Pi_k^\vee \overleftarrow{\times} [\overleftarrow{s-k-a}]_{\pi_v^\vee} \overleftarrow{\times} [\overleftarrow{a-r-2}]_{\pi_v^\vee} \overrightarrow{\times} [\overleftarrow{r-1}]_{\pi_v^\vee} \left(-\frac{s-1-2r}{2}\right)) \end{aligned} \quad (7.2.6)$$

qui d'après le lemme de Schur, sont données par des scalaires $\lambda_{\overline{\mathbb{Q}}_l, D_{k, a, r}} \in \mathbb{Z}_l$, avec $0 < a \leq s-k$ et $0 \leq r \leq a$.

Démonstration. — Le résultat découle de la description des faisceaux de cohomologies des $R^i j_*^{\geq ag} HT_{\overline{\mathbb{Q}}_l}(\pi_v, \Pi_t)$ donnée dans [2] et du fait que l'aboutissement de la suite spectrale pour $p+q \geq 0$ est nul. \square

Le but de ce paragraphe est de montrer :

- que les termes des suites spectrales sur $\overline{\mathbb{F}}_l$ sont la réduction modulo l de ceux sur $\overline{\mathbb{Q}}_l$;
- que la valuation des divers scalaires introduits ci-dessus, est nulle.

Pour cela on raisonne par récurrence sur t de 0 à $\lfloor \frac{s}{2} \rfloor$ sur les hypothèses suivantes :

- $HR_t(E_{\overline{\mathbb{F}}_l, \Psi_{\pi_v, 1}})$: pour tout $0 \leq r \leq t$, la fibre en un point supersingulier de $E_{\overline{\mathbb{F}}_l, \Psi_{\pi_v, 1}}^{p, q}$ avec $p + q = 1 - s + r$ (resp. $p + q = -r$) est la réduction modulo l de $E_{\overline{\mathbb{Q}}_l, \Psi_{\pi_v, 1}}^{p, q}$;
- $HR_t(E_{\overline{\mathbb{F}}_l, \Psi_{\pi_v, \infty}})$: $HR_t(E_{\overline{\mathbb{F}}_l, \Psi_{\pi_v, 1}})$ est vérifiée et en outre pour $p + q = t - s$, les scalaires non nuls associées aux applications $\text{Ind } z^* d_{\overline{\mathbb{Q}}_l, \Psi_{\pi_v, 1}}^{p, q}$, pour tout point supersingulier z , sont de valuation nulle.
- $HR_t(E_{\overline{\mathbb{F}}_l, D_{a, 2}})$: pour tout point supersingulier z , $\text{Ind } z^* E_{\overline{\mathbb{F}}_l, D_{a, 2}}^{p, q}$ est :
 - nulle pour $(p, q) = (0, s - a - r)$ avec $1 \leq r \leq t$ et égale à la réduction modulo l de

$$\pi_v[s]_D \otimes \Pi_a^\vee \overleftarrow{\times} \overrightarrow{[s-1-a]}_{\pi_v^\vee} \left(-\frac{s-a}{2}\right)$$

pour $r = 0$;

- pour $q = s - a + k(g - 1)$ et $p = -kg - r$ avec $1 \leq k \leq s - a$ et $0 \leq r \leq \min(t, k)$, égale à la réduction modulo l de

$$\pi_v[s]_D \otimes (\Pi_a^\vee \overleftarrow{\times} \overrightarrow{[s-k-a-1]}_{\pi_v^\vee} \overleftarrow{\times} \overleftarrow{[k-r-1]}_{\pi_v^\vee} \overrightarrow{\times} \overrightarrow{[r-1]}_{\pi_v^\vee} \left(-\frac{s-a-2r}{2}\right)$$

avec la convention habituelle $\Pi \overleftarrow{\times} \overleftarrow{[-1]}_{\pi_v} := \Pi$;

- $HR_t(E_{\overline{\mathbb{F}}_l, D_{a, g+1}})$: $HR_t(E_{\overline{\mathbb{F}}_l, D_{a, 2}})$ est vraie et pour $(p, q) = (-kg - r, s - a + k(g - 1))$ avec $k > 1$ et $0 \leq r \leq \min(t, k)$ (resp. $k = 1$ et $r = 0$), et $k + r = t + 2$, le scalaire associé à $\text{Ind } z^* d_{\overline{\mathbb{Q}}_l, D_{a, g}}^{p, q}$ est de valuation nulle ce qui revient à demander que l'image de $\text{Ind } z^* d_{\overline{\mathbb{F}}_l, D_{a, g}}^{p, q}$ est égale à la réduction modulo l de

$$\pi_v[s]_D \otimes (\Pi_a^\vee \overleftarrow{\times} \overrightarrow{[k-r-1, s-k-a]}_{\pi_v^\vee} \overrightarrow{\times} \overrightarrow{[r-1]}_{\pi_v^\vee} \quad (\text{resp. } \pi_v[s]_D \otimes \Pi_a^\vee \overleftarrow{\times} \overrightarrow{[s-a-1]}_{\pi_v^\vee})$$

- $HR_t(E_{\overline{\mathbb{F}}_l, !_{a, 1}})$: pour tout $p \geq 0$ et pour tout point supersingulier z , $\text{Ind } z^* E_{\overline{\mathbb{F}}_l, !_{a, 1}}^{p, q}$ est la réduction modulo l de $\text{Ind } z^* E_{\overline{\mathbb{Q}}_l, !_{a, 1}}^{p, q}$, i.e. nulle pour $a - s + p < q \leq a - s + p + t$ ou $-t \leq q \leq 0$; pour $q = a - s + p$, elle est égale à la réduction modulo l de

$$\pi_v[s]_D \otimes \Pi_a \overrightarrow{\times} \overleftarrow{[r-1]}_{\pi_v} \overrightarrow{\times} \overrightarrow{[s-1-a-r]}_{\pi_v}$$

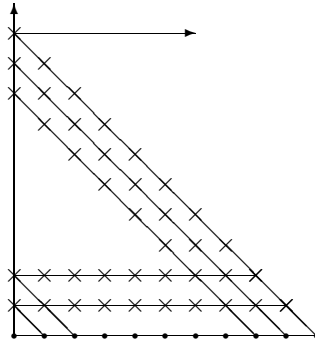


FIGURE 2.

- $HR_t(E_{\overline{\mathbb{F}}_l, !_{a, 2}})$: l'hypothèse $HR_t(E_{\overline{\mathbb{F}}_l, !_{a, 1}})$ est vérifiée et pour tout $0 \leq r \leq t$, les scalaires associés à $\text{Ind } z^* d_{\overline{\mathbb{Q}}_l, !_{a, 1}}^{r, a-s}$ et $\text{Ind } z^* d_{\overline{\mathbb{Q}}_l, !_{a, 1}}^{s-a-r, a-s}$ sont de valuation nulle ce qui revient à demander que l'image de $\text{Ind } z^* d_{\overline{\mathbb{F}}_l, !_{a, 1}}^{r, a-s}$ (resp. $\text{Ind } z^* d_{\overline{\mathbb{F}}_l, !_{a, 1}}^{s-a-r, a-s}$) est égale à la réduction modulo l de

$$\pi_v[s]_D \otimes \Pi_a \overrightarrow{\times} \overrightarrow{[r, s-1-a-r]}_{\pi_v}$$

$$(\text{resp. } \pi_v[s]_D \otimes \Pi_a \overrightarrow{\times} [\overleftarrow{r}, \overleftarrow{s-a-r-1}]_{\pi_v})$$

7.2.7 — Avant de passer aux premiers lemmes, notons les faits élémentaires suivants :

- Les fibres en un point supersingulier de $E_{\mathbb{F}_l, !, t, 1}^{p, q}$ sont nulles pour $p + q < t - s$ ou $p + q > 0$.

Démonstration. — Le cas $p + q > 0$ est évidemment direct pour des raisons de dimension cependant afin d’avoir une preuve qui s’adapte au cas où on travaille en un point de $\overline{X}_{\mathcal{I}}^{(d-s_0g)}$ avec $s_0 < s$, cf. la remarque (7.0.6), on n’utilisera pas cet argument mais on raisonnera par récurrence sur t de s_0 à 1. Le cas $t = s_0$ découle alors du fait que $j_{!}^{\geq s_0g} HT_{\mathbb{F}_l}(\pi_v, \Pi_{s_0})$ est égal à $j_{!*}^{\geq s_0g} HT_{\mathbb{F}_l}(\pi_v, \Pi_{s_0})$ modulo des faisceaux pervers à supports dans $\overline{X}_{\mathcal{I}}^{[d-s_0g-1]}$. Supposons alors le résultat acquis jusqu’au rang $t + 1$ et traitons le cas de t . D’après l’hypothèse de récurrence, pour $p > 0$ et pour tout $p + q > 0$ ou $p + q \leq t - s$, la fibre en un point supersingulier de $E_{\mathbb{F}_l, !, t, 1}^{p, q}$ est nulle. Le résultat découle alors du fait que la fibre en un point supersingulier de l’aboutissement de cette suite spectrale est nulle. \square

- Du tiret précédent et de la description des $gr_{\mathbb{F}_l, \Psi_{\pi_v}, k}$ donnée au §6.3, on en déduit que les fibres en un point supersingulier de $E_{\mathbb{F}_l, \Psi_{\pi_v}, 1}^{p, q}$ sont nulles pour $p + q > 0$ ou $p + q < 1 - s$.
- De la connaissance par récurrence des faisceaux de cohomologie de $j_{!*}^{\geq tg} HT_{\mathbb{F}_l}(\pi_v, \Pi_t)$ hors des points supersinguliers, on en déduit que les fibres en un point supersingulier de $E_{\mathbb{F}_l, D_k, 2}^{p, q}$ sont nulles pour (p, q) qui n’est pas de la forme $(0, s - k - r)$ avec $0 \leq r < s - k$ ou si q n’est pas de la forme $s - k + a(g - 1)$.
- Pour tout $2 \leq r < g$, les $d_{\mathbb{F}_l, D_k, r}^{p, q}$ sont nuls. Par ailleurs sous $HR_t(E_{\mathbb{F}_l, D_k, g+1})$, pour tout $0 \leq r \leq t$, la fibre en un point supersingulier de $E_{\mathbb{F}_l, D_k, g}^{p, q}$ pour $s - k - t \leq r \leq s - k$, est nulle tandis que pour $p + q = s - k - t - 1$, $\text{Ind } z^* E_{\mathbb{F}_l, D_k, g}^{p, q}$ pour $q = s - k + a(g - 1)$ et $p = -ag - r$ avec $r = t + 1 - a \geq -1$, est égale à la réduction modulo l de⁽⁴⁾

$$\pi_v[s]_D \otimes (\Pi_k^{\vee} \overleftarrow{\times} [\overleftarrow{2a-t-1}, \overleftarrow{s-k-a-1}]_{\pi_v^{\vee}} \overrightarrow{\times} [\overleftarrow{r-1}]_{\pi_v^{\vee}})$$

avec la convention que si ce n’est pas défini alors c’est nul.

7.2.8. Lemme. — Pour tout $t \geq 0$, on a l’implication $HR_t(E_{\mathbb{F}_l, !, a, 1}) \Rightarrow HR_t(E_{\mathbb{F}_l, !, a, 2})$

Démonstration. — Cela découle simplement que la fibre en tout point supersingulier de $E_{\mathbb{F}_l, !, a, \infty}^n$ est nulle pour tout n puisque c’est celle du n -ième faisceau de cohomologie de l’extension par zéro d’un faisceau à support sur la strate \overline{X}^{-ag} . \square

7.2.9. Lemme. — Pour tout $t \geq 0$, on a l’implication $HR_t(E_{\mathbb{F}_l, !, 1, 1}) \Rightarrow HR_t(E_{\mathbb{F}_l, !, a, 1}) \forall 1 \leq a \leq s$.

Démonstration. — Cela découle directement de la description des $gr_{\mathbb{F}_l, !, a, k}$. \square

7.2.10. Lemme. — Pour tout $t \geq 1$, on a l’équivalence $\forall 1 \leq a \leq s \ HR_t(E_{\mathbb{F}_l, !, a, 1}) \Leftrightarrow HR_t(E_{\mathbb{F}_l, \Psi_{\pi_v}, 1})$.

Démonstration. — Cela découle directement de l’écriture des gradués $gr_{\mathbb{F}_l, \Psi_{\pi_v}, k}$. \square

7.2.11. Lemme. — $\forall t_0 \leq a \leq s \ HR_t(E_{\mathbb{F}_l, !, a, 1}) \Rightarrow HR_t(E_{\mathbb{F}_l, D_a, 2}) \forall t_0 \leq a \leq s$

Démonstration. — Il s’agit de montrer que pour tout $t_0 \leq a \leq s$, on a

$$h^{-r} Rj_{*}^{\geq ag} HT_{\mathbb{F}_l}(\pi_v, \Pi_a) = h^{-r} Rj_{*}^{\geq ag} HT_{\mathbb{Z}_l}(\pi_v, \Pi_a) \otimes_{\mathbb{Z}_l} \overline{\mathbb{F}_l}$$

pour tout $0 \leq r \leq a$. On considère la filtration de $Rj_{*}^{\geq ag} HT_{\mathbb{F}_l}(\pi_v, \Pi_a)$ obtenue à partir de la filtration de stratification de $j_{!}^{\geq ag} HT_{\mathbb{F}_l}(\pi_v, \Pi_a)$ en appliquant la dualité de Verdier. Ainsi pour tout $r \geq 0$, son gradué $gr_{*, r}$ est égal à $j_{!*}^{\geq (a+r)g} HT_{\mathbb{F}_l}(\pi_v, \Pi_a \overrightarrow{\times} [\overleftarrow{r-1}]_{\pi_v}) \otimes \Xi^{r/2}$. Pour tout $a \leq t \leq s$,

⁽⁴⁾cf. la figure (4)

d'après $HR_t(E_{\mathbb{F}_l, !, a', 1})$ pour tout $a \leq a' \leq s$, les fibres en tout point géométrique de $\overline{X}_{\mathcal{I}}^{(d-h)}$ des $h^i j_{1*}^{\geq (a+r)g} HT_{\mathbb{F}_l}(\pi_v, \Pi_a \overrightarrow{\leftarrow [r-1]}_{\pi_v})$ sont nulles

- pour tout i si h n'est pas de la forme $(a+r+b)g$;
- pour tout $i \neq h-d-b$ pour $h = (a+r+b)g$.

On remarque alors que dans la suite spectrale $E_1^{p,q} = h^{p+q} gr_{*, -p} \Rightarrow h^{p+q} Rj_*^{\geq ag} HT_{\mathbb{F}_l}(\pi_v, \Pi_a)$, les $d_r^{p,q}$ sont forcément nulles, d'où le résultat.

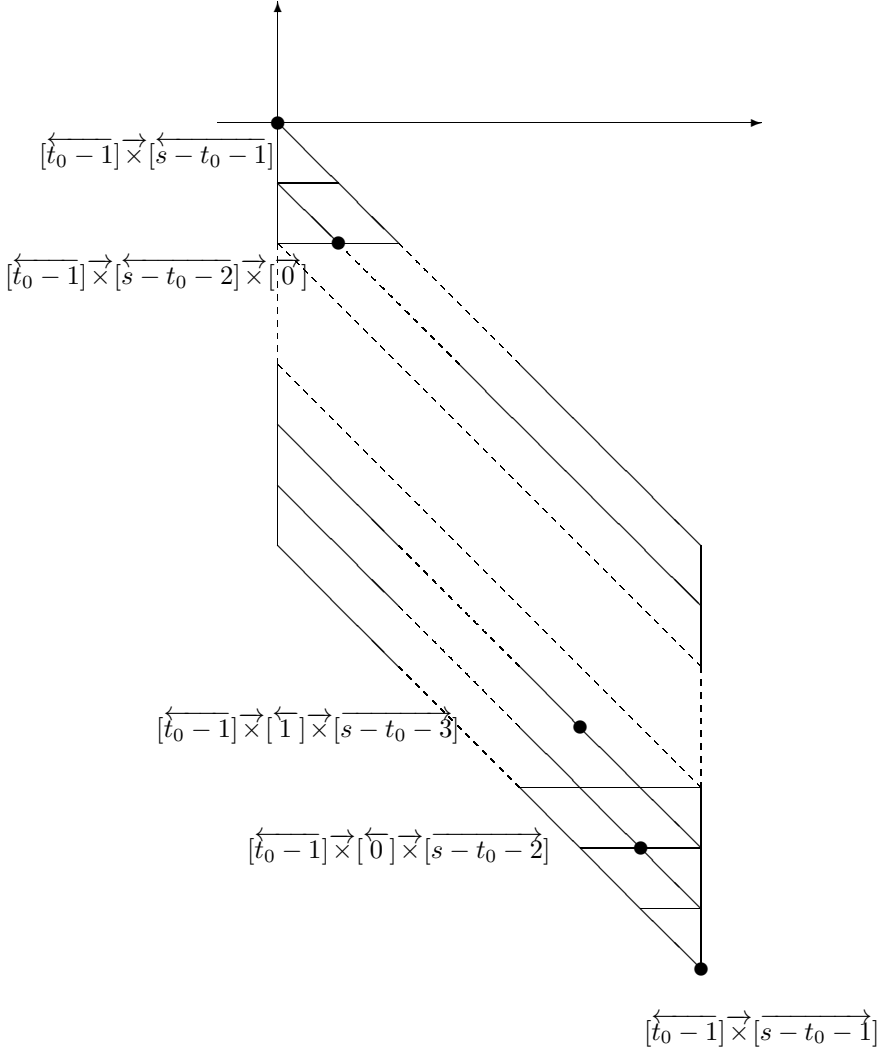


FIGURE 3. Germes en un point supersingulier des $E_1^{p,q} = h^{p+q} gr_{*, -p}$

□

7.2.12. Proposition. — $HR_{\lfloor \frac{s}{2} \rfloor - 1}(E_{\mathbb{F}_l, \Psi_{\pi_v}, \infty}) \Rightarrow (5.0.14) + (4.0.12)$

Démonstration. — Sous $HR_t(E_{\mathbb{F}_l, \Psi_{\pi_v}, 1})$, si pour tout $0 \leq r < t$, les scalaires non nuls associés à $d_{\mathbb{Q}_l, \Psi_{\pi_v}, 1}^{p,q}$ pour $p+q = 1-s+r$, sont de valuation non nulle, alors $E_{\mathbb{F}_l, \Psi_{\pi_v}, 2}^{p,q}$ est la réduction modulo l de $E_{\mathbb{Q}_l, \Psi_{\pi_v}, 2}^{p,q}$ et, en reprenant la numérotation simplifiée des gradués suggérée par la remarque (6.3.3), pour tout $0 \leq k \leq t$, l'image de $\text{Ind } z^* d_{\mathbb{F}_l, \Psi_{\pi_v}, 1}^{t-1-2k, 1-s+2k}$ est isomorphe à la réduction modulo

l de

$$\pi_v[s]_D \otimes \overleftarrow{[t-1, s-t]}_{\pi_v} \otimes \mathcal{L}(\pi_v) \left(-\frac{1-s+2k}{2} \right).$$

En particulier on en déduit alors que pour tout $1-s \leq p+q \leq t-s$, $E_{\overline{\mathbb{F}}_l, \Psi_{\pi_v}, \infty}^{p+q}$ est isomorphe à la réduction modulo l de sa $\overline{\mathbb{Q}}_l$ -version. D'après (7.0.5), on en déduit alors que les parties π_v -superunipotentes de $E_{\overline{\mathbb{F}}_l, \Psi_{\pi_v}, \infty}^{p+q}$ avec $1-t \leq p+q \leq 0$ sont celles obtenues à partir de la $\overline{\mathbb{Q}}_l$ -version par réduction modulo l : montrons alors que $E_{\overline{\mathbb{F}}_l, \Psi_{\pi_v}, 2}^{p+q}$ est isomorphe à la réduction modulo l de sa $\overline{\mathbb{Q}}_l$ -version. En raisonnant par récurrence, il suffit de traiter le cas $p+q = 1-t$ et de montrer que le scalaire associé à $\text{Ind } z^* d_{\overline{\mathbb{Q}}_l, \Psi_{\pi_v}, 1}^{t-s+1, s-2t-1}$ est de valuation non nulle. Dans le cas contraire on en déduirait que $\text{Ind } z^* E_{\overline{\mathbb{F}}_l, \Psi_{\pi_v}, j}^{t-s+2, s-2t-1}$, pour tout $j \geq 2$, serait isomorphe à la réduction modulo l de $\pi_v[s]_D \otimes \overleftarrow{[s-t, t-1]}_{\pi_v} \otimes \mathcal{L}(\pi_v) \left(\frac{s-1-2t}{2} \right)$; la contradiction découle alors du fait que $\mathcal{M}_l(\overleftarrow{[s-t, t-1]}_{\pi_v})$ est un constituant π_v -superunipotent.

Supposons donc $HR_{\lfloor \frac{s}{2} \rfloor - 1}(E_{\overline{\mathbb{F}}_l, \Psi_{\pi_v}, \infty})$ ce qui implique $HR_{\lfloor \frac{s}{2} \rfloor - 1}(E_{\overline{\mathbb{F}}_l, \Psi_{\pi_v}, 1})$ et donc $HR_{\lfloor \frac{s}{2} \rfloor - 1}(E_{\overline{\mathbb{F}}_l, \Psi_{\pi_v}, 1, a})$ pour tout $1 \leq a \leq s$. Par un argument de somme alternée on en déduit alors que les $h^i j_1^{\geq tg} HT_{\overline{\mathbb{Z}}_l}(\pi_v, \Pi_t)$ sont sans torsion pour tout i ce qui implique $HR_{\lfloor \frac{s}{2} \rfloor}(E_{\overline{\mathbb{F}}_l, \Psi_{\pi_v}, 1})$. Il reste alors à montrer que le scalaire associé à $\text{Ind } z^* d_{\overline{\mathbb{Q}}_l, \Psi_{\pi_v}, 1}^{-\lfloor \frac{s}{2} \rfloor, 1-s+2\lfloor \frac{s}{2} \rfloor}$ est de valuation nulle. Dans le cas contraire pour $s \equiv 1 \pmod{2}$ (resp. $s \equiv 0 \pmod{2}$), $\mathcal{M}_l(\overleftarrow{[\lfloor \frac{s}{2} \rfloor, s - \lfloor \frac{s}{2} \rfloor - 1]}_{\pi_v})$ serait un constituant de $E_{\overline{\mathbb{F}}_l, \Psi_{\pi_v}, \infty}^{\lfloor \frac{s}{2} \rfloor - s}$ de sorte que d'après (7.0.5), $\mathcal{M}_l(\overleftarrow{[s - \lfloor \frac{s}{2} \rfloor - 1, \lfloor \frac{s}{2} \rfloor]}_{\pi_v})$ serait un constituant de $E_{\overline{\mathbb{F}}_l, \Psi_{\pi_v}, \infty}^{1 - \lfloor \frac{s}{2} \rfloor}$. Or les constituants de ce dernier sont à prendre parmi la réduction modulo l de $\overleftarrow{[\lfloor \frac{s}{2} \rfloor + 1, s - \lfloor \frac{s}{2} \rfloor - 2]}_{\pi_v}$ (resp. $\overleftarrow{[\lfloor \frac{s}{2} \rfloor, s - \lfloor \frac{s}{2} \rfloor - 1]}_{\pi_v}$); la contradiction découle alors du fait que $\mathcal{M}_l(\overleftarrow{[s - \lfloor \frac{s}{2} \rfloor - 1, \lfloor \frac{s}{2} \rfloor]}_{\pi_v})$ n'est pas isomorphe à $\mathcal{M}_l(\overleftarrow{[\lfloor \frac{s}{2} \rfloor + 1, s - \lfloor \frac{s}{2} \rfloor - 2]}_{\pi_v})$ (resp. $\mathcal{M}_l(\overleftarrow{[\lfloor \frac{s}{2} \rfloor, s - \lfloor \frac{s}{2} \rfloor - 1]}_{\pi_v})$) car s étant impair (resp. pair) $s - \lfloor \frac{s}{2} \rfloor - 1 \neq \lfloor \frac{s}{2} \rfloor + 1$ (resp. $s - \lfloor \frac{s}{2} \rfloor - 1 \neq \lfloor \frac{s}{2} \rfloor$).

□

Remarque : dans la suite on suppose $s \geq 4$; car on a déjà calculé $E_{\overline{\mathbb{F}}_l, \Psi_{\pi_v}, \infty}^{1-s}$ et donc d'après (7.0.5) $E_{\overline{\mathbb{F}}_l, \Psi_{\pi_v}, \infty}^0$ ce qui est tout pour $s = 2$ et pour $s = 3$, par un argument de somme alternée, on obtient le cas de $E_{\overline{\mathbb{F}}_l, \Psi_{\pi_v}, \infty}^{-1}$.

8. Structures entières des suites spectrales de

8.1. stratification de l'extension par zéro. — Remarquons déjà que d'après le paragraphe (7.1), $HR_0(E_{\overline{\mathbb{F}}_l, \Psi_{\pi_v}, 1, a})$ est vraie pour tout $1 \leq a \leq s$. On considère la filtration de stratification de $j_1^{\geq ag} HT_{\overline{\mathbb{Z}}_l}(\pi_v, \Pi_a)[d-ag]$: à priori, on ne connaît de ses gradués que leur partie libre en tant que $\overline{\mathbb{Z}}_l$ -module. Ainsi, d'après (6.1.3), il existe

$$0 = k_a(0) < k_a(1) < \dots < k_a(s-a) < k_a(s-a+1) = +\infty$$

tels que pour tout $1 \leq r \leq s-a$, $gr_{\overline{\mathbb{Z}}_l, \Psi_{\pi_v}, -k_a(r)}^{-1}$ soit égal à $j_1^{\geq (a+r)g} HT_{\overline{\mathbb{Z}}_l}(\pi_v, \Pi_a) \otimes \overleftarrow{[r-1]}_{\pi_v} \otimes \Xi^{-r/2}$ et que pour tout i tel qu'il existe $0 \leq r < s-a$ tel que $k_a(r) < i < k_a(r+1)$, alors $gr_{\overline{\mathbb{Z}}_l, \Psi_{\pi_v}, i}^{-1}$ est à support dans l'ensemble des points supersinguliers de sorte que ses faisceaux de cohomologies sont nuls sauf pour h^0 .

Remarque : par réduction modulo l dans la catégorie dérivée, on obtient une filtration de stratification de $j_1^{\geq ag} HT_{\overline{\mathbb{F}}_l}(\pi_v, \Pi_a)$ avec certains gradués nuls. Habituellement, on n'écrit pas les gradués nuls, ce qui peut poser un problème "visuel" quand on dira que $d_{\overline{\mathbb{F}}_l, 1}^{t, a-s}$ est la réduction modulo l de $d_{\overline{\mathbb{Z}}_l, k_a(t), a-s+t-k_a(t)}^{k_a(t), a-s+t-k_a(t)}$.

On considère alors la fibre en un point supersingulier de la suite spectrale

$$E_{\mathbb{Z}_t, !a, 1}^{p, q} \Rightarrow E_{\mathbb{Z}_t, !a, \infty}^{p+q}$$

dont la fibre en tout point supersingulier de l'aboutissement est nulle. D'après [2], on sait que, pour tout $0 \leq r \leq s - a$, les fibres aux points supersinguliers des $E_{\mathbb{Z}_t, !a, 1}^{k_a(r), i-k_a(r)}$ sont de torsion si $i \neq a + r - s$. On définit alors les hypothèses suivantes :

- $HR_t(E_{\mathbb{Z}_t, !a, 1})$: pour tout $0 \leq r \leq s - a$, la torsion de la fibre en un point supersingulier de $E_{\mathbb{Z}_t, !a, 1}^{k_a(r), i-k_a(r)}$ est nulle pour tout $i \leq a + r - s + t + 1$ et $i \geq -t$;
- $HR_t(E_{\mathbb{Z}_t, !a, \infty})$: $HR_t(E_{\mathbb{Z}_t, !a, 1})$ est vérifiée et pour tout $0 \leq r \leq t + 1$ (resp. $0 \leq r \leq t$), le conoyau de $d_{\mathbb{Z}_t, !a, k_a(r+1)-k_a(r)}^{k_a(r), a+r-s-k_a(r)}$ (resp. de $d_{\mathbb{Z}_t, !a, k_a(s-a-r)-k_a(s-a-r+1)}^{k_a(s-a-r), -r-k_a(s-a-r)}$) est sans torsion.

En utilisant que la fibre en tout point supersingulier de l'aboutissement de la suite spectrale ci-dessus, est nulle on montre comme précédemment le lemme suivant.

8.1.1. Lemme. — Pour tout $t \geq 0$, $HR_t(E_{\mathbb{Z}_t, !a, 1}) \Rightarrow HR_t(E_{\mathbb{Z}_t, !a, \infty})$

De la suite exacte courte

$$0 \rightarrow E_{\mathbb{Z}_t, !a, 1}^{p, q} \otimes_{\mathbb{Z}_t} \overline{\mathbb{F}}_l \rightarrow E_{\mathbb{F}_t, !a, 1}^{p, q} \rightarrow (E_{\mathbb{Z}_t, !a, 1}^{p, q+1})_{l\text{-tor}} \rightarrow 0$$

on en déduit le lemme suivant.

8.1.2. Lemme. — Pour tout $t \geq 0$, $HR_t(E_{\mathbb{F}_t, !a, 1}) \Leftrightarrow HR_t(E_{\mathbb{Z}_t, !a, 1})$.

En utilisant la functorialité de la filtration de stratification, on a la proposition suivante.

8.1.3. Proposition. — Pour $t > 0$, soit $a_0 < s$ tel que pour tout $a_0 < a \leq s$, $HR_t(E_{\mathbb{F}_t, !a, 1})$ soit vérifiée et que $HR_{t-1}(E_{\mathbb{F}_t, !a_0, 1})$ soit vérifiée. Alors pour tout point supersingulier z , $\text{Ind } z^* E_{\mathbb{F}_t, !a_0, 1}^{0, a_0-s+t}$ (resp. $\text{Ind } z^* E_{\mathbb{F}_t, !a_0, 1}^{0, -t}$) est soit nulle soit isomorphe à la réduction modulo l de

$$\begin{aligned} & \pi_v[s]_D \otimes \Pi_{a_0} \overrightarrow{\times} \overleftarrow{[t+1, s-a_0-t-2]}_{\pi_v} \otimes \Xi^{-(s-a_0)/2} \\ & (\text{resp. } \pi_v[s]_D \otimes \Pi_{a_0} \overrightarrow{\times} \overleftarrow{[s-a_0-t-1, t]}_{\pi_v} \otimes \Xi^{-(s-a_0)/2}) \end{aligned}$$

Démonstration. — D'après $HR_t(E_{\mathbb{Z}_t, !a_0, \infty})$, le conoyau de $d_{\mathbb{Z}_t, !a_0, k_{a_0}(t+1)-k_{a_0}(t)}^{k_{a_0}(t), a_0-s+t-k_{a_0}(t)}$ est sans torsion de sorte que $\text{Ind } z^* d_{\mathbb{F}_t, !a_0, t, 1}^{t, a_0-s}$ a pour image la réduction modulo l de

$$\pi_v[s]_D \otimes \Pi_{a_0} \overrightarrow{\times} \overleftarrow{[t, s-a_0-t-1]}_{\pi_v} \otimes \Xi^{-(s-a_0)/2}$$

Le résultat découle alors du fait que, les strates étant induites, d'après le lemme de Schur, $\text{Ind } z^* d_{\mathbb{Z}_t, !a_0, k_{a_0}(t+2)-k_{a_0}(t+1)}^{k_{a_0}(t+1), a_0-s+t+1-k_{a_0}(t+1)}$, en tant qu'endomorphisme de

$$\pi_v[s]_D \otimes \Pi_{a_0} \overrightarrow{\times} \overleftarrow{[t+1, s-a_0-t-2]}_{\pi_v} \otimes \Xi^{-(s-a_0)/2}$$

est donné par un scalaire, de sorte que $d_{\mathbb{F}_t, !a_0, 1}^{t+1, a_0-s+t+1}$ est soit nul soit un isomorphisme. Le cas respé se prouve de manière similaire. □

Remarque : l'hypothèse $HR_1(E_{\mathbb{F}_t, !1, 1})$ implique que dans la filtration de stratification de $j_1^{\geq a_0} HT_{\mathbb{Z}_t}(\pi_v, \Pi_a)$, il n'y a pas de faisceau pervers de torsion concentré aux points supersinguliers de sorte que pour tout $1 \leq a \leq s$, et pour tout $0 \leq r \leq s - a$, $k_a(r) = r$. Par ailleurs le lecteur notera que même pour prouver le cas de $t = 1$, supposer que les $k_a(r)$ sont égaux à r ne nuit pas à la rigueur du raisonnement de sorte que désormais nous le supposons.

8.2. stratification des cycles évanescents. — On étudie la structure entière de la suite spectrale de stratification du faisceau pervers des cycles évanescents.

8.2.1. Proposition. — $HR_t(E_{\overline{\mathbb{F}}_l, !, 1, 1}) \Rightarrow HR_t(E_{\overline{\mathbb{F}}_l, \Psi_{\pi_v}, \infty})$.

Démonstration. — En raisonnant par récurrence, i.e. en utilisant l'implication $HR_{t-1}(E_{\Psi_{\pi_v}, 1}) \Rightarrow HR_{t-1}(E_{\Psi_{\pi_v}, \infty})$, il suffit de montrer que, pour tout $0 \leq k \leq t$ (resp. $0 \leq k \leq s-t-2$), et pour tout point supersingulier z de l'image⁽⁵⁾ de $\text{Ind } z^* d_{\overline{\mathbb{F}}_l, \Psi_{\pi_v}, 1}^{t-2k, 1-s+2k}$ (resp. $\text{Ind } z^* d_{\overline{\mathbb{F}}_l, \Psi_{\pi_v}, 1}^{s-t-1-2k, 1-s+2k}$) est isomorphe à la réduction modulo l de

$$\begin{aligned} & \pi_v[s]_D \otimes [\overleftarrow{t+1}, \overrightarrow{s-t-2}]_{\pi_v} \otimes \mathcal{L}(\pi_v)(-\frac{1-s+2k}{2}) \\ & \text{(resp. } \pi_v[s]_D \otimes [\overleftarrow{s-t-1}, \overrightarrow{t}]_{\pi_v} \otimes \mathcal{L}(\pi_v)(-\frac{1-s+2k}{2})) \end{aligned}$$

ou de manière équivalente que la fibre de son noyau soit isomorphe à la réduction modulo l de

$$\pi_v[s]_D \otimes [\overleftarrow{t}, \overrightarrow{s-t-1}]_{\pi_v} \otimes \mathcal{L}(\pi_v)(-\frac{1-s+2k}{2}).$$

Avant de donner la preuve dans le cas général, on traite de manière indépendante, le cas banal puis limite classique où on utilise la simplification sur l'indexation des gradués mentionnée dans la remarque (6.3.3).

Cas banal : rappelons que cela signifie en particulier que l'ordre $e_l(q)$ de q dans $\overline{\mathbb{F}}_l$ est supérieur strictement à d et donc à s . Les poids sont définis modulo $e_l(q)$ mais comme $e_l(q)$ est supérieur strictement à s , alors tous les poids qui interviennent sont distincts modulo $e_l(q)$.

Si l'image de $\text{Ind } z^* d_{\overline{\mathbb{F}}_l, 1}^{2-s+t, s-3-2t}$ n'était pas égale au noyau de $\text{Ind } z^* d_{\overline{\mathbb{F}}_l, 1}^{3-s+t, s-3-2t}$ qui d'après l'hypothèse est égale à $\dim_{\overline{\mathbb{F}}_l} r_l(\pi_v[s]_D) r_l([\overleftarrow{s-1-t}, \overrightarrow{t}]_{\pi_v} \otimes \mathcal{L}(\pi_v)(-\frac{s-1-2(t+1)}{2}))$, alors pour tout $r \geq 1$, $E_{\overline{\mathbb{F}}_l, r}^{3-s+t, s-3-2t}$ devrait contenir un constituant de "poids" $d+s-2(t+2)$ modulo l . Ainsi d'après (7.0.5), $E_{\overline{\mathbb{F}}_l, \infty}^{1-s+t}$ devrait posséder un constituant de "poids" $d-s+2t+2$ modulo l ; or les constituants des $E_{\overline{\mathbb{F}}_l, 1}^{p, q}$ pour $p+q=1-s+t$ sont de "poids" $d-s+2t-2k$ avec $0 \leq k < t$ modulo l . Comme l'ordre de q dans $\overline{\mathbb{F}}_l$ est supérieur à l , ces "poids" modulo l ne peuvent pas être égaux à $d-s+2t+2$, d'où le résultat.

Cas limite classique : on a donc $q \equiv 1 \pmod{l}$ avec $s < l$. On ne peut plus utiliser les arguments de poids, par contre on comprend parfaitement la théorie des représentations modulaires. Le raisonnement est strictement identique au cas banal, sauf que la contradiction découle désormais de l'étude de l'action de $GL_d(F_v)$ comme on pourrait le faire sur $\overline{\mathbb{Q}}_l$.

D'après $HR_{t-1}(E_{\Psi_{\pi_v}, \infty})$, on en déduit que $\text{Ind } z^* E_{\overline{\mathbb{F}}_l, \infty}^{-t}$ est égal, dans le groupe de Grothendieck des $GL_d(F_v)$ -modules admissibles, à un multiple de $m_{\pi_v} \cdot [\overleftarrow{s-1-t}, \overrightarrow{t}]_{r_l(\pi_v)}$. Si cette multiplicité était supérieure ou égale à 2, d'après (7.0.5), $\text{Ind } z^* E_{\overline{\mathbb{F}}_l, \infty}^{1-s+t}$ devrait contenir $Z_{\overline{\mathbb{F}}_l}(\mathcal{M}_l([\overleftarrow{s-1-t}, \overrightarrow{t}]_{\pi_v})) = \mathcal{M}_l([\overleftarrow{t}, \overrightarrow{s-1-t}]_{\pi_v})$ avec une multiplicité $2m_{\pi_v}$. Or d'après l'hypothèse de récurrence il n'apparaît que dans $\text{Ind } z^* E_{\overline{\mathbb{F}}_l, 1}^{-t, 1-s+2t}$ avec une multiplicité m_{π_v} , d'où le résultat.

Cas général : on considère la suite spectrale

$$E_{\overline{\mathbb{Z}}_l, \Psi_{\pi_v}, 1}^{p, q} \Rightarrow R^{d-1+p+q} \Psi_{\eta_v}(\overline{\mathbb{Z}}_l)$$

On reprend les notations de §6.3 où pour tout $1 \leq t \leq s$ et tout $0 \leq i \leq t-1$, $k_t(i)$ est l'entier k tel que $gr_{\overline{\mathbb{Z}}_l, \Psi_{\pi_v}, -k}$ est égal à $\mathcal{P}(t, \pi_v)(-\frac{1-t+2i}{2})$.

⁽⁵⁾On utilise ici la simplification mentionnée à la remarque (6.3.3).

D'après la proposition (6.3.1), on a $k_t(0) < k_{t+1}(0)$ et pour tout $k_t(0) < k < k_{t+1}(0)$ ou $k_{t+1}(0) < k$, $gr_{\overline{\mathbb{Z}}_l, \Psi_{\pi_v, -k}}$ est de dimension strictement plus petite que $d - (t+1)g$. D'après le lemme de Schur, $\text{Ind } z^* d_{\overline{\mathbb{Z}}_l, \Psi_{\pi_v, k_{t+1}(0) - k_t(0)}}^{k_t(0), 1-s+t-k_t(0)}$ est donnée par un scalaire $\lambda_{\overline{\mathbb{Z}}_l, \Psi_{\pi_v, t, 0}}$.

8.2.2. Lemme. — *Le scalaire $\lambda_{\overline{\mathbb{Z}}_l, \Psi_{\pi_v, t, 0}} \in \mathbb{Z}_l$ est inversible.*

Démonstration. — Raisonnons par l'absurde. D'après $HR_t(E_{\overline{\mathbb{Z}}_l, 1, 1}^-)$ et la functorialité de la filtration de stratification, en reprenant pour $\overline{\mathbb{F}}_l$ la numérotation simplifiée des gradués suggérée par (6.3.3), $d_{\overline{\mathbb{F}}_l, \Psi_{\pi_v, 1}}^{t, 1-s}$ est la réduction modulo l de $d_{\overline{\mathbb{Z}}_l, \Psi_{\pi_v, k_2 - k_1}}^{k_1, 1-s+t-k_1}$ de sorte que si la valuation de $\lambda_{\overline{\mathbb{Z}}_l, \Psi_{\pi_v, t, 0}}$ est nulle alors la fibre en un point supersingulier du noyau de $\text{Ind } z^* d_{\overline{\mathbb{F}}_l, \Psi_{\pi_v, 1}}^{t, 1-s}$ est alors isomorphe à

$$\pi_v[s]_D \otimes [\overleftarrow{t-1}]_{\pi_v} \overrightarrow{[s-t-1]}_{\pi_v} \otimes \mathcal{L}(\pi_v)\left(-\frac{1-s}{2}\right)$$

Ainsi on aurait que $\text{Ind } z^* E_{\overline{\mathbb{F}}_l, \Psi_{\pi_v, 2}}^{t, 1-s}$ serait isomorphe à la réduction modulo l de

$$\pi_v[s]_D \otimes [\overleftarrow{t+1}, \overrightarrow{s-t-2}]_{\pi_v} \otimes \mathcal{L}(\pi_v)\left(-\frac{1-s}{2}\right)$$

et donc d'après $HR_{t-1}(E_{\overline{\mathbb{F}}_l, \Psi_{\pi_v, \infty}}^{-1-s+t})$, $\text{Ind } z^* E_{\overline{\mathbb{F}}_l, \Psi_{\pi_v, \infty}}^{-1-s+t}$ contiendrait la réduction modulo l de

$$\pi_v[s]_D \otimes [\overleftarrow{t+1}, \overrightarrow{s-t-2}]_{\pi_v} \otimes \mathcal{L}(\pi_v)\left(-\frac{1-s}{2}\right)$$

On rappelle que l'on a supposé $s \geq 4$. Ainsi $J_{N_{(s-t-2)g, (t+2)g}}^{op}(\text{Ind } z^* E_{\overline{\mathbb{F}}_l, \infty}^{-1-s+t})$ est dans le groupe de Grothendieck de la forme

$$\sum_j [\overleftarrow{s-t-3}]_{r_l(\pi_v(\frac{t+2}{2}))} \otimes !_{j, 2} + \sum_i \pi'_i$$

tel qu'il existe j avec $!_{j, 2} = \mathcal{M}_l([\overleftarrow{t+1}]_{r_l(\pi_v(-\frac{s-t-2}{2}))})$. Comme le premier terme est de niveau de cuspidalité minimal, on en déduit, d'après (7.0.5), que $J_{N_{(s-t-2)g, (t+2)g}}^{op}(\text{Ind } z^* E_{\overline{\mathbb{F}}_l, \infty}^{-t})$ doit contenir

$$\mathcal{M}([\overleftarrow{s-t-3}]_{r_l(\pi_v(-\frac{t+2}{2}))}) \otimes [\overleftarrow{t+1}]_{r_l(\pi_v(\frac{s-t-2}{2}))}.$$

Or d'après $HR_t(E_{\overline{\mathbb{F}}_l, 1, 1}^-)$, la filtration aboutissement de $E_{\overline{\mathbb{F}}_l, \infty}^{-t}$ est constitué de sous-quotients de $r_l([\overleftarrow{s-t-1}, \overrightarrow{t}]_{\pi_v})$ dont les images par le foncteur de Jacquet $J_{N_{(s-t-2)g, (t+2)g}}^{op}$ sont parmi les constituants de la réduction modulo l de

$$?? \otimes [\overleftarrow{r}, \overrightarrow{t+1-r}]_{\pi_v(\frac{s-t-2r}{2})}$$

avec $r \geq 1$. La contradiction découle alors de la proposition (1.7.5) qui nous dit que $[\overleftarrow{t+1}]_{r_l(\pi_v(\frac{s-t-2}{2}))}$ ne peut pas être un constituant de la réduction modulo l de $[\overleftarrow{r}, \overrightarrow{t+1-r}]_{\pi_v(\frac{s-t-2r}{2})}$. \square

Fin de la preuve de (8.2.1) : en utilisant, comme dans la proposition (7.2.1) l'opérateur de monodromie N qui définit un scalaire de $\overline{\mathbb{Q}}_l$, on en déduit que les scalaires associées aux flèches $d_{\overline{\mathbb{Z}}_l, \Psi_{\pi_v, k_{t+1}(u) - k_t(i)}}^{k_t(i), 1-s+t-k_t(i)}$ pour tout $0 \leq i < t$, sont aussi de valuation nulle, de sorte que $\text{Ind } z^* E_{\overline{\mathbb{F}}_l, \Psi_{\pi_v, \infty}}^{-1-s+t}$ est isomorphe à la réduction modulo l de

$$\pi_v[s]_D \otimes [\overleftarrow{t}, \overrightarrow{s-1-t}]_{\pi_v} \otimes \mathcal{L}(\pi_v)\left(-\frac{1-s+2t}{2}\right)$$

Ainsi d'après (7.0.5), $\text{Ind } z^* E_{\overline{\mathbb{F}}_l, \Psi_{\pi_v, \infty}}^{-t}$ est isomorphe à la réduction modulo l de

$$\pi_v[s]_D \otimes [\overleftarrow{s-1-t}, \overrightarrow{t}]_{\pi_v} \otimes \mathcal{L}(\pi_v)\left(-\frac{s-1-2t}{2}\right)$$

En utilisant l'opérateur de monodromie N , on obtient alors que les scalaires associés à $d_{\mathbb{Z}_l, \Psi_{\pi_v}, k_{s-t}(s-t-2) - k_{s-t-1}(s-t-2)}$ sont de valuation nulle de sorte $E_{\mathbb{F}_l, \Psi_{\pi_v}, \infty}^{-t} = E_{\mathbb{F}_l, \Psi_{\pi_v}, 2}^{-t}$ d'où le résultat. \square

8.3. dualité. —

8.3.1. Proposition. — Pour $t \leq s - k - 3$, on a $HR_t(E_{\mathbb{F}_l, !k, 1}) \Rightarrow HR_t(E_{\mathbb{F}_l, D_k, g+1})$

Remarque : dans la suite on utilisera l'implication $HR_t(E_{\mathbb{F}_l, !k, 1}) \Rightarrow HR_t(E_{\mathbb{F}_l, D_k, g+1})$ pour $k \leq s-3$ et $t+1 \leq \lceil \frac{s-k}{2} \rceil - 1$ de sorte que l'on aura toujours $t \leq s - k - 3$.

Démonstration. — D'après (7.2.11), on sait que pour tout $p+q \geq s-k-t-1$ et $p \neq 0$, $E_{\mathbb{F}_l, D_k, 2}^{p,q}$ est la réduction modulo l de $E_{\mathbb{Z}_l, D_k, 2}^{p,q}$. En raisonnant par récurrence, on suppose donc $HR_{t-1}(E_{\mathbb{F}_l, D_k, g+1})$. Soit alors $p = -ag - r < 0$ maximal avec a, r positifs et $a+r = t+1$, $r \leq a$, tel que $E_{\mathbb{Z}_l, D_k, g+1}^{p, s-k-t-1-p}$ soit non nul, et donc de torsion. D'après le lemme de Schur, pour tout point supersingulier z , on en déduit alors que $\text{Ind } z^* E_{\mathbb{F}_l, D_k, g+1}^{p, s-k-t-1-p}$ est la réduction modulo l de $\text{Ker Ind } z^* d_{\mathbb{Z}_l, D_k, g}^{p, s-k-t-1-p}$ qui est donc d'après $HR_{t-1}(E_{\mathbb{F}_l, D_k, g+1})$, isomorphe à

$$\pi_v[s]_D \otimes (\Pi_k^\vee \overleftarrow{\times} [\overleftarrow{a-r}, \overleftarrow{s-k-a-1}]_{\pi_v^\vee} \overrightarrow{\times} [\overrightarrow{r-1}]_{\pi_v^\vee} (-\frac{s-1-2r}{2}))$$

On introduit les notations suivantes : $O = \frac{1-s}{2} + a - r$, $\beta = O + s - k - a - 1$ et $\alpha = \frac{s-1}{2} - r + 1 = \beta + k$ de sorte que $\pi_v(O)$ (resp. $\pi_v(\beta)$, resp. $\pi_v(\alpha)$) désigne la cuspidale au niveau du changement de direction (resp. au bord à droite, resp. au bord à gauche) de $[\overleftarrow{a-r}, \overleftarrow{s-k-a-1}]$ (resp. idem, resp. $[\overrightarrow{r-1}]$) dans l'induite ci-dessus.

On en déduit alors que l'image de $\text{Ind } z^* E_{\mathbb{F}_l, D_k, g+1}^{p, s-k-t-1-p}$ par le foncteur de Jacquet $J_{N_{kg, (s-k-a+r)g, (a-r)g}}$ contient

$$\Pi_k \otimes [\overleftarrow{s-k-a-1}]_{r_l(\pi_v)(\frac{a-k-2r}{2})} \times [\overrightarrow{r-1}]_{r_l(\pi_v)(\frac{s-r}{2})} \otimes [\overleftarrow{a-r-1}]_{r_l(\pi_v)(\frac{a-r-s}{2})}$$

(1) Si $\epsilon_l(\pi_v) = 1$ ou si $k \equiv 1 \pmod{\epsilon_l(\pi_v)}$, alors $[\overleftarrow{s-k-a-1}]_{r_l(\pi_v)(\frac{a-k-2r}{2})} \times [\overrightarrow{r-1}]_{r_l(\pi_v)(\frac{s-r}{2})}$ contient $\Pi_1 := [\overleftarrow{s-k-a+r-1}]_{r_l(\pi_v)(\frac{k-a-r}{2})}$, sinon il y a deux possibilités :

(2) soit il existe λ tel que $O \leq \alpha - \lambda \epsilon_l(\pi_v) \leq \beta$; on prend alors λ minimal de sorte que l'image de $[\overleftarrow{s-k-a-1}]_{r_l(\pi_v)(\frac{a-k-2r}{2})} \times [\overrightarrow{r-1}]_{r_l(\pi_v)(\frac{s-r}{2})}$ par $J_{N_{t, g, \delta' g}}$ où $t = s - k - a + r - \delta'$ avec $\delta' = \beta + \lambda \epsilon_l(\pi_v) - \alpha < \epsilon_l(\pi_v)$, contient

$$\Pi_2 := [\overleftarrow{t-1}]_{r_l(\pi_v)(\frac{s-t}{2})} \otimes [\overrightarrow{\delta'-1}]_{r_l(\pi_v)(\frac{s-1}{2}-r+1)}$$

(3) soit il n'existe pas de tel λ , auquel cas l'image de $[\overleftarrow{s-k-a-1}]_{r_l(\pi_v)(\frac{a-k-2r}{2})} \times [\overrightarrow{r-1}]_{r_l(\pi_v)(\frac{s-r}{2})}$ par $J_{N_{(s-k-a)g, rg}}$ contient $\Pi_3 := [\overleftarrow{s-k-a-1}]_{r_l(\pi_v)(\frac{-a-k-2r}{2})} \otimes [\overrightarrow{r-1}]_{r_l(\pi_v)(\frac{s-r}{2})}$.

Comme pour tout (p, q) tel que $p+q = s-k-t$, les $E_{\mathbb{F}_l, D_k, g+1}^{p,q}$ sont nuls, on en déduit donc qu'il doit exister $p' = -a'g - r'$ avec $a' \geq a+2$ et $a'+r' = a+r+1$, tel que la réduction modulo l de l'image par le foncteur de Jacquet du cas 1-3 correspondant de

$$([\overleftarrow{s-k-a'-1}]_{\pi_v^\vee(-k/2)} \overleftarrow{\times} [\overleftarrow{a'-r'-1}]_{\pi_v^\vee(-k/2)} \overrightarrow{\times} [\overrightarrow{r'-1}]_{\pi_v^\vee(k/2)})$$

contienne la représentation Π_i donnée dans chacun de ces cas. Le résultat découle alors du lemme suivant. \square

8.3.2. Lemme. — Soient, pour $l \neq 2$, $a'+r' = a+r+1$ et $\epsilon_l(q)$ qui divise $a'-a-1 \geq 1$. Alors pour $\epsilon_l(\pi_v) = 1$ et $\Pi := \Pi_1$ (resp. dans le cas (2) pour $\Pi := \Pi_2$, resp. dans le cas (3) pour $\Pi := \Pi_3$), $\Pi \otimes [\overleftarrow{a-r-1}]_{r_l(\pi_v)(\frac{a-r-s}{2})}$ n'est pas un constituant de la réduction modulo l de l'image par le

foncteur de Jacquet $J_1 := J_{N_{(s-k-a+r)g, (a-r)g}}$ (resp. $J_2 := J_{N_{tg, \delta'g}}$, resp. $J_3 := J_{N_{(s-k-a)g, rg, (a-r)g}}$)
de

$$([s-k-a'-1]_{\pi_v^\vee(-k/2)} \overleftarrow{\times} [a'-r'-1]_{\pi_v^\vee(-k/2)} \overrightarrow{\times} [r'-1]_{\pi_v^\vee(k/2)})$$

Démonstration. — On regarde pour $\epsilon = 0$ ou 1 , les différents constituants de

$$J_{N_{(s-a+r-k)g, (a-r)g}} \left(([a'-r'-\epsilon, s-k-a'-1+\epsilon]_{\pi_v^\vee(-k/2)} \overrightarrow{\times} [r'-1]_{\pi_v^\vee(k/2)}) \right).$$

En regardant le niveau de cuspidalité, on note que les constituants $\pi_1 \otimes \pi_2$ qui sont susceptibles de contenir $?? \otimes [a-r-1]_{r_l(\pi_v(\frac{a-r-s}{2}))}$ sont tels que π_2 est un constituant de la réduction modulo l de $[a-r-1]_{\pi_v(\frac{a-r-s}{2})}$ ou alors de $[a-r-2]_{\pi_v(\frac{a-r-s-1}{2})} \times [\overleftarrow{0}]_{\pi_v(\delta)}$ pour $\delta = (s-1)/2$ ou $(1-s)/2 + s-k-r'-1$ de sorte qu'alors π_1 est un constituant de la réduction modulo l d'une représentation de la forme

$$\Xi := [\overleftarrow{\alpha}, \overrightarrow{\beta}]_{\pi_v(e)} \times [\overrightarrow{\gamma}]_{\pi_v(e')}$$

avec $\alpha + \beta + \gamma = s-k-r'-1$, $\alpha = a'-r'-\epsilon - (a-r-1) - 1 - \epsilon'$ avec $\epsilon' = 0$ ou 1 et où e, e' sont des torsions que l'on ne tient pas à préciser. Ainsi on a $\alpha \geq 2(\delta-1) - 1$ où on a posé $\delta = a' - a$ avec $\epsilon_l(\pi_v)$ qui divise $\epsilon_l(q)$ et donc $\delta - 1$: en particulier si $\epsilon_l(\pi_v) \neq 1$, on remarquera que $\alpha > \epsilon_l(\pi_v)$. De même on a $s-k-a'-1 \geq s-k-t-2 \geq 1$ et $s-k-a-1 - (s-k-a'-1) = a' - a > \epsilon_l(\pi_v)$ de sorte que le cas (3) est exclu. Reste donc à prouver que pour $i = 1, 2$, Π_i n'est pas un constituant de la réduction modulo l de $J_i(\Xi)$.

Cas (1) : cela découle directement du lemme (1.7.9) car par hypothèse $l \neq 2$.

Cas (2) : on écrit un constituant quelconque de $J_{N_{tg, \delta'g}}(\Xi)$ sous la forme $\pi_1 \otimes \pi_2$. D'après le lemme (1.7.9), π_1 doit être d'une des formes suivantes :

$$[s-k-a'-1+\epsilon-i]_{r_l(\pi_v(\delta_1))} \times [r'-1-i]_{r_l(\pi_v(\delta_2))} \quad [i']_{\pi_v(\frac{1-i'-s}{2}+a'-r'-1+\epsilon)} \times [j']_{\pi_v(\frac{s-1+j'}{2}-r'+1)}$$

- La contradiction dans la première situation découle du fait que

$$(s-k-a') + \epsilon - i + 1 + (r') - i' \leq (s-k-a-\epsilon(\pi_v)-1) + \epsilon - i + 1 + (r-\epsilon(\pi_v)) - i' \leq s-k-a+r-\epsilon(\pi_v) < t$$

- Dans la deuxième situation s'il existe un représentant $\tilde{\alpha}$ de α modulo $\epsilon_l(\pi_v)$ strictement compris entre $O'+1 := O+\epsilon+1$ et $\beta'+1 := O'+s-k-a'+\epsilon$, avec $s-k-a'-1 \geq 1$, alors la contradiction se déroule comme ci-dessus en remarquant alors que l'on a forcément $\beta'-1 > \delta' = \beta' - \tilde{\alpha}$ et donc $i'+1+1+1+j' < t$. Si on a $\tilde{\alpha} = 1$, la contradiction est donnée par le lemme (1.7.9). Dans les cas restant la contradiction découlera du lemme (1.7.8) si on montre que $\epsilon(\pi_v) \geq 3$. Par hypothèse α n'est pas congru modulo $\epsilon_l(\pi_v)$ à $O'+1, \dots, \beta', \beta'+1$, avec $\beta' - O' = s-k-a'-1+\epsilon \geq 1$ de sorte que $\epsilon_l(\pi_v) \geq 3$ d'où le résultat. \square

Remarque : dans le cas $g = 1$, le raisonnement est strictement identique en considérant en lieu et place de la suite spectrale (6.4.1), la suite spectrale associée à la stratification i.e.

$$E_{1, \mathbb{Z}_l}^{p,q} = R^{p+q} \underline{Hom}(gr_S^{\overline{p}} \mathcal{P}_{\mathbb{Z}_l, +}(t, \pi_v), K_{s_v}) \Rightarrow h^{p+q} \mathcal{P}_{\mathbb{Z}_l, -}(\pi_v^\vee)(d-1)$$

où $gr_S^{\overline{p}}$ est le prolongement par zéro de la restriction à la strate $\overline{X}_{\mathcal{I}}^{(d-p+1)}$. On applique alors, tel quel, le raisonnement précédent, la combinatoire étant identique.

9. Preuve de l'inductivité

On raisonne par récurrence sur les trois suites spectrales introduites plus haut ; au rang $1 \leq t \leq s$, on suppose donc que $HR_t(E_{\overline{\mathbb{F}}_l, !, 1, 1})$ est vraie. On en déduit alors, d'après (7.2.9) que $HR_t(E_{\overline{\mathbb{F}}_l, !, k, 1})$ est vraie pour tout $1 \leq k \leq s$, d'après (7.2.8) que $HR_t(E_{\overline{\mathbb{F}}_l, !, k, 2})$ est vraie pour tout $1 \leq k \leq s$, d'après (7.2.10) que $HR_t(E_{\overline{\mathbb{F}}_l, \Psi_{\pi_v}, 1})$ est vraie, d'après (8.2.1) que $HR_t(E_{\overline{\mathbb{F}}_l, \Psi_{\pi_v}, \infty})$ est vraie, d'après (7.2.11) que $HR_t(E_{\overline{\mathbb{F}}_l, D_k, 2})$ est vraie pour tout $1 \leq k \leq g$, d'après (8.3.1) que $HR_t(E_{\overline{\mathbb{F}}_l, D_k, g+1})$

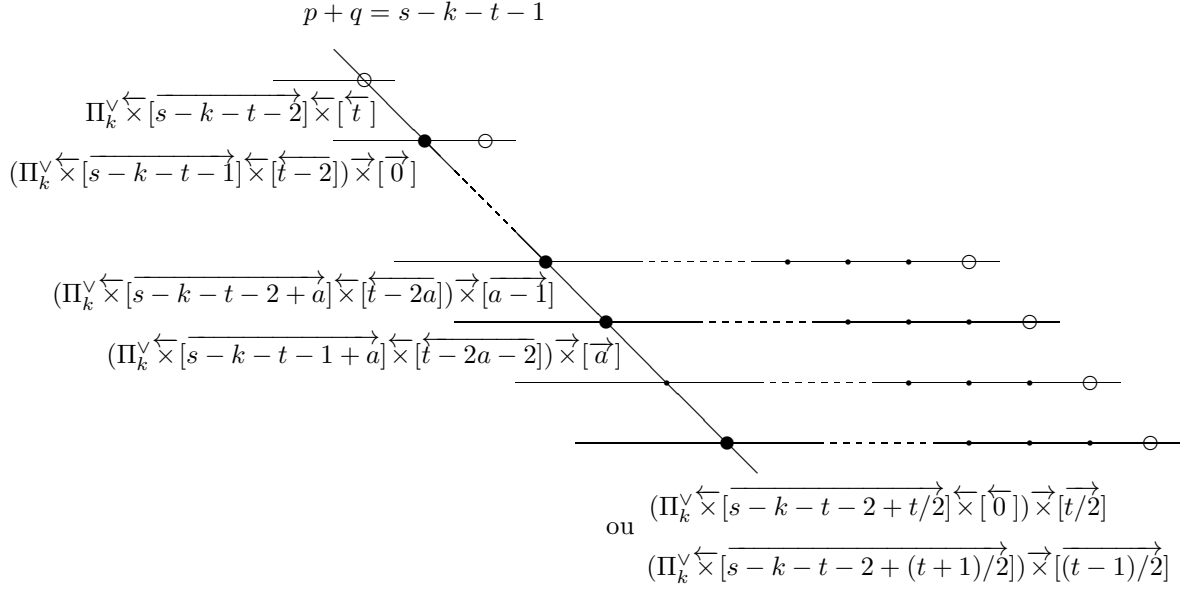


FIGURE 4. Etude de la torsion éventuelle de la suite spectrale (6.4.1)

est vraie pour tout $1 \leq k \leq s$. Il s'agit alors de prouver $HR_{t+1}(E_{\mathbb{F}_l, 1, 1})$. Pour cela on procédera comme suit :

- *étape 1* : $HR_t(E_{\mathbb{F}_l, D_1, g+1}) + HR_t(E_{\mathbb{F}_l, 1, 1})$ implique une version affaiblie de $HR_{t+1}(E_{\mathbb{F}_l, 1, 1})$ que l'on notera $HR'_{t+1}(E_{\mathbb{F}_l, 1, 1})$;
- *étape 2* : on montre ensuite l'implication $E_{\mathbb{F}_l, 1, 1}^{0, 2-s+t} = 0 \Rightarrow E_{\mathbb{F}_l, !k, 1}^{0, k-s+t+1} = 0 \forall 1 \leq k \leq s$;
- *étape 3* : de l'écriture des gradués $gr_{\mathbb{F}_l, \Psi}$, comme dans le lemme (7.2.10), on montre, de manière similaire à la preuve de la proposition (8.2.1), que $E_{\mathbb{F}_l, !1, 1}^{0, 2-s+t}$ est nul;
- *étape 4* : on prouve une version affaiblie de $HR_{t+1}(E_{\mathbb{F}_l, \Psi_{\pi_v, \infty}})$, à savoir que $E_{\mathbb{F}_l, \Psi_{\pi_v, \infty}}^{2-s+t}$ et $E_{\mathbb{F}_l, \Psi_{\pi_v, \infty}}^{-t-1}$ sont comme prévus;
- *étape 5* : on prouve $HR_{t+1}(E_{\mathbb{F}_l, \Psi_{\pi_v, 1}})$ et donc $HR_{t+1}(E_{\mathbb{F}_l, 1, 1})$.

Remarque : - L'initialisation de la récurrence découle du paragraphe (7.1).

- Dans ce qui suit, on peut la plupart du temps ignorer les diverses torsions, ; les considérer donnerait des informations sur l'ordre de q modulo l ; comme on doit aussi inclure le cas où cet ordre est égal à 1, ces restrictions ne seront pas décisives. Dans la suite, on va essayer d'écrire correctement ces torsions sachant que pour le lecteur, sauf mention expresse, ce n'est pas la peine de les lire.

9.1. Étape 1. — Pour tout $t \geq 0$, on définit l'hypothèse $HR'_{t+1}(E_{\mathbb{F}_l, !k, 1})$: $HR_t(E_{\mathbb{F}_l, !k, 1})$ est vraie et si, pour un point supersingulier z , $\text{Ind } z^* E_{\mathbb{F}_l, !k, 1}^{0, k-s+1+t}$ est non nul alors il contient la réduction modulo l de

$$\pi_v[s]_D \otimes \Pi_k \overrightarrow{\left[s - k - t - \frac{3}{2}, \overleftarrow{t + 2} \right]}_{\pi_v}$$

Il s'agit alors de prouver la proposition suivante.

9.1.1. Proposition. — $\forall 1 \leq k \leq s \quad HR_t(E_{l, k, 1}) \Rightarrow HR'_{t+1}(E_{l, k, 1}) \forall 1 \leq k \leq s$.

Démonstration. — On raisonne par récurrence sur k de s à 1. Pour $k = s$ il n'y a rien à faire, supposons donc le résultat acquis jusqu'au rang $k + 1$ et traitons le cas de k . On va tout d'abord montrer le résultat plus faible suivant.

9.1.2. Lemme. — Si pour un point supersingulier z , $\text{Ind } z^* E_{\mathbb{F}_l, !, k, 1}^{0, k-s+1+t}$ est non nul, alors il est de niveau de Whittaker supérieur ou égal à $(t+3)g$.

Démonstration. — On étudie la suite spectrale

$$E_{\mathbb{F}_l, !, k, 1}^{p, q} \Rightarrow E_{\mathbb{F}_l, !, k, \infty}^{p+q}$$

Comme précédemment en utilisant la $\overline{\mathbb{Z}}_l$ -version, on en déduit que $\text{Ind } z^* d_{\overline{\mathbb{Z}}_l, !, k, 1}^{t+2, k-s}$ est donné par un scalaire de valuation nulle ou non nulle.

- Dans le premier cas on en déduit que $\text{Ind } z^* E_{\mathbb{F}_l, !, k, 2}^{t+2, k-s}$ est égal à la réduction modulo l de $\Pi_k \overrightarrow{\langle [t+2, s-k-t-3] \rangle}_{\pi_v}$. Or comme l'aboutissement est nul et comme pour tout $1 \leq i \leq s-k$ les $E_{\mathbb{F}_l, !, k, 1}^{i, k-s+t+1-i}$ sont nuls d'après $HR_{t+1-i}(E_{l, k+i, 1})$, on en déduit que $\text{Ind } z^* E_{\mathbb{F}_l, !, k, 1}^{0, k-s+1+t}$ contient la réduction modulo l de $\Pi_k \overrightarrow{\langle [t+2, s-k-t-3] \rangle}_{\pi_v}$ ce qui implique le résultat.

- Dans le second cas, on en déduit que $\text{Ind } z^* E_{\mathbb{F}_l, !, k, 2}^{t+3, k-s}$ est égal à la réduction modulo l de $\Pi_k \overrightarrow{\langle [t+3, s-k-t-4] \rangle}_{\pi_v}$. Si $E_{\mathbb{F}_l, !, k, 1}^{1, k-s+t+1}$ est nul alors il en est de même de $E_{\mathbb{F}_l, !, k, 1}^{0, k-s+1+t}$. Sinon $\text{Ind } z^* E_{\mathbb{F}_l, !, k, 1}^{1, k-s+1+t}$ contient d'après l'hypothèse de récurrence $\Pi_k \overrightarrow{\langle \pi \rangle}_{\pi}$ où π la réduction modulo l de

$$[\overleftarrow{0}]_{\pi_v} \overrightarrow{\langle [s-k-t-4, t+2] \rangle}_{\pi_v}$$

L'image par le foncteur de Jacquet $J_{N_{a_g, (t+3)g}}$ de π , avec $a = s-k-t-3$ contient alors

$$\begin{aligned} & [\overleftarrow{a-1}]_{r_l(\pi_v)(\frac{k-t-3}{2})} \otimes [\overleftarrow{t+2}]_{r_l(\pi_v)(\frac{s-t-3}{2})} + r_l([\overleftarrow{1}, \overleftarrow{a-2}]_{\pi_v(\frac{k-t-3}{2})}) \otimes [\overleftarrow{t+2}]_{r_l(\pi_v)(\frac{s-t-3}{2})} \\ & + [\overleftarrow{a-1}]_{r_l(\pi_v)(\frac{k-t-1}{2})} \otimes [\overleftarrow{0}]_{r_l(\pi_v)(\frac{2k-s+1}{2})} \times [\overleftarrow{t+1}]_{r_l(\pi_v)(\frac{s-2-t}{2})} \end{aligned} \quad (9.1.3)$$

alors que les constituants de $J_{N_{a_g, (t+3)g}}([\overleftarrow{t+3}, \overleftarrow{s-k-t-4}]_{\pi_v})$ dont la réduction modulo l du deuxième terme contient une générique sont

$$[\overleftarrow{a-1}]_{\pi_v(\frac{k+3+t}{2})} \otimes [\overleftarrow{t+2}]_{\pi_v(\frac{2k-s+t+3}{2})} + [\overleftarrow{1}, \overleftarrow{a-2}]_{\pi_v(\frac{k+2+t}{2})} \otimes [\overleftarrow{t+1}]_{\pi_v(\frac{2k-s+t+2}{2})} \times [\overleftarrow{0}]_{\pi_v(\frac{s-t-3}{2})}$$

On remarque que dans 9.1.3, pour le deuxième terme, une générique apparaît au moins deux fois. On veut montrer que la réduction modulo l de $J_{N_{a_g, (t+3)g}}([\overleftarrow{t+3}, \overleftarrow{s-k-t-4}]_{\pi_v})$, il y apparaît strictement moins de générique. S'il n'y en a qu'une fois, alors c'est gagné.

Dans le cas contraire, pour que $[\overleftarrow{a-1}]_{r_l(\pi_v)(\frac{k-t-3}{2})} \otimes [\overleftarrow{t+2}]_{r_l(\pi_v)(\frac{s-t-3}{2})}$ soit un constituant de la réduction modulo l de $J_{N_{a_g, (t+3)g}}([\overleftarrow{t+3}, \overleftarrow{s-k-t-4}]_{\pi_v})$, il faut, d'après (1.7.5), que

$$\begin{cases} \frac{k-t-3}{2} \equiv \frac{k+3+t}{2} \pmod{\epsilon_l(\pi_v)} \\ \frac{s-t-3}{2} \equiv \frac{2k-s+t+3}{2} \pmod{\epsilon_l(\pi_v)} \end{cases}$$

soit $s-k \equiv t+3 \equiv 0 \pmod{\epsilon_l(\pi_v)}$. Mais alors $[\overleftarrow{0}]_{r_l(\pi_v)(\frac{2k-s+1}{2})} \times [\overleftarrow{t+1}]_{r_l(\pi_v)(\frac{s-2-t}{2})}$ contient $[\overleftarrow{t+2}]_{r_l(\pi_v)(\frac{s-t-3}{2})}$ de sorte que $J_{N_{a_g, (t+3)g}}(\pi)$ admet deux constituants de la forme $[\overleftarrow{a-1}]_{r_l(\pi_v(\delta))} \otimes [\overleftarrow{t+2}]_{r_l(\pi_v(\delta'))}$ alors que la réduction modulo l de $J_{N_{a_g, (t+3)g}}([\overleftarrow{t+3}, \overleftarrow{s-k-t-4}]_{\pi_v})$, n'en contient au plus qu'un, d'après (1.7.5).

Ainsi comme d'après l'hypothèse de récurrence tous les $E_{\mathbb{F}_l, !, k, 1}^{p, q}$ pour $p+q = k-s+t+3$ sont nuls, on en déduit que $\text{Ind } z^* E_{\mathbb{F}_l, !, k, 1}^{0, k-s+t+1}$ est de niveau de Whittaker supérieur ou égal à $(t+3)g$. \square

Fin de la preuve de (9.1.1) : on rappelle que $HR_t(E_{l, k, 1})$ implique $HR_t(E_{D_k, g+1})$ de sorte que les constituants de $\text{Ind } z^* E_{l, k, 1}^{0, k-s+t+1}$ sont à prendre parmi ceux de la réduction modulo l de

$$\pi_v[s]_D \otimes (\Pi_k \overrightarrow{\langle [s-k-a-1, 2a-t-2] \rangle}_{\pi_v}) \overleftarrow{\langle [t+1-a] \rangle}_{\pi_v}$$

pour $\frac{t+2}{2} \leq a \leq t+2$. Le seul qui ait un niveau de Whittaker supérieur ou égal à $t+3$ est alors $[\overleftarrow{s-k-t-3}, \overleftarrow{t+2}]_{\pi_v}$. On en déduit donc que le scalaire associé à $\text{Ind } z^* d_{\overline{\mathbb{Z}}_l, D_k, g}^{-(t+2)g, s-k+(t+2)(g-1)}$

est nul de sorte que $\text{Ind } z^* E_{\mathbb{F}_l, D_k, g+1}^{-(t+2)g, s-k+(t+2)(g-1)}$ est égal à la réduction modulo l de $\Pi_k^\vee \overleftarrow{\times} [\overline{s-k-t-3}, \overleftarrow{t+2}]_{\pi_v}$. Le résultat découle alors du fait que les $E_{\mathbb{F}_l, D_k, 1}^{p,q}$ pour $p+q = s-k-t-3$ et $p < -(t+2)g$ sont tous nuls et que les $E_{\mathbb{F}_l, D_k, g+1}^{p,q}$ pour $p+q = s-k-t-1$ aussi d'après $HR_t(E_{\mathbb{F}_l, D_k, g+1})$. \square

9.1.4. Corollaire. — Si $\epsilon_l(\pi_v) \neq 1$, alors $HR_{t+1}(E_{\mathbb{F}_l, 1, 1})$ est vérifiée alors que pour $\epsilon_l(\pi_v) = 1 \pmod{l}$, les constituants de $\text{Ind } z^* E_{\mathbb{F}_l, 1, 1}^{0, k-s+t+1}$ sont à prendre parmi ceux de

$$\Pi_k \overrightarrow{\times} [\overrightarrow{0}]_{r_l(\pi_v)} \overrightarrow{\times} \cdots \overrightarrow{\times} [\overrightarrow{0}]_{r_l(\pi_v)} \overrightarrow{\times} r_l(\overleftarrow{t+2})_{\pi_v}.$$

Démonstration. — On reprend la preuve précédente en considérant k maximal tel que $E_{\mathbb{F}_l, 1, 1}^{0, k-s+t+1}$ est non nul. D'après ce que l'on a vu, comme $E_{\mathbb{F}_l, 1, 1}^{1, k-s+t+1}$ est nul, on en déduit que tous les constituants de la réduction modulo l de $[\overline{s-k-t-3}, \overleftarrow{t+2}]_{\pi_v}$ sont des constituants de la réduction modulo l de $[\overleftarrow{t+2}, \overline{s-k-t-3}]_{\pi_v}$. En appliquant le foncteur de Jacquet $J_{N_{g, (s-k)g}}$ et en regardant les supports cuspidaux, on obtient alors que

$$\frac{1-s}{2} \equiv \frac{s-1}{2} \equiv \frac{1-s}{2} + t + 2 \pmod{\epsilon_l(\pi_v)}$$

soit $t+2 \equiv s-1 \equiv 0 \pmod{\epsilon_l(\pi_v)}$. En appliquant le foncteur de Jacquet $J_{N_{2g, (s-k-1)g}}$, on obtient alors que l'ensemble $\{\frac{1-s}{2}, \frac{s-1}{2}\}$ est égal soit à $\{\frac{1-s}{2} + t + 2, \frac{1-s}{2} + t + 3\}$ ou $\{\frac{1-s}{2} + t + 2, \frac{1-s}{2} + t + 1\}$ ce qui dans les deux cas impose alors que $\epsilon_l(\pi_v) = 1$. En ce qui concerne le cas $\epsilon_l(\pi_v) = 1$, le résultat est immédiat en raisonnant par récurrence et en procédant comme dans la preuve précédente. \square

9.2. Étape 2. — D'après le corollaire précédent, on suppose donc que $\epsilon_l(\pi_v) = 1$. Il s'agit alors de prouver la proposition suivante.

9.2.1. Proposition. — $E_{\mathbb{F}_l, 1, 1}^{0, 2-s+t} = 0 \Rightarrow E_{\mathbb{F}_l, 1, 1}^{0, k-s+t+1} = 0 \forall 1 \leq k \leq s$;

Démonstration. — On raisonne par récurrence en supposant le résultat acquis pour tout $1 \leq k' \leq k$ et on traite le cas de $k+1$. On regarde dans la suite spectrale $E_{1, 1}$, le terme en $(1, k-s+t+1)$. D'après l'hypothèse de récurrence, $E_{1, 1}^{0, k-s+t+1}$ est nul et d'après $HR'_{t+1}(E_{1, 1, 1})$, si pour un point supersingulier z , $\text{Ind } z^* E_{1, 1}^{1, k-s+t+1}$ est non nul alors il contient la réduction modulo l de

$$\pi_v[s]_D \otimes \Pi_k \overrightarrow{\times} [\overleftarrow{0}]_{\pi_v} \overrightarrow{\times} [\overline{s-k-t-4}, \overleftarrow{t+2}]_{\pi_v}$$

de sorte qu'il existe un constituant soit de $\text{Ind } z^* E_{\mathbb{F}_l, 1, 1}^{2, k-s+t+1}$ soit de $\text{Ind } z^* E_{\mathbb{F}_l, 1, 2}^{t+3, k-s}$ tel que son image par le foncteur de Jacquet $J_{N_{(t+2)g, (s-k-t-2)g}}$ contienne

$$\Pi_k \otimes [\overleftarrow{t+1}]_{r_l(\pi_v(\frac{s-t-2}{2}))} \otimes [\overline{s-k-t-3}]_{r_l(\pi_v(\frac{k-t-2}{2}))}$$

D'après le corollaire (9.1.4), les constituants de $\text{Ind } z^* E_{\mathbb{F}_l, 1, 1}^{2, k-s+t+1}$ sont à prendre parmi ceux de

$$\pi_v[s]_D \otimes \Pi_k \overrightarrow{\times} [\overrightarrow{0}]_{r_l(\pi_v)} \overrightarrow{\times} \cdots \overrightarrow{\times} [\overrightarrow{0}]_{r_l(\pi_v)} \overrightarrow{\times} r_l(\overleftarrow{t+2})_{\pi_v}$$

tandis que $\text{Ind } z^* E_{\mathbb{F}_l, 1, 2}^{t+3, k-s}$ est nul ou égal à la réduction modulo l de $\pi_v[s]_D \otimes \Pi_k \overrightarrow{\times} [\overleftarrow{t+3}, \overline{s-t-k-3}]_{\pi_v}$. On écrit leur image par le foncteur de Jacquet sous la forme $\pi_1 \otimes \pi_2$: ceux qui sont susceptibles de contenir dans leur réduction modulo l la représentation $\Pi_k \otimes [\overleftarrow{t+1}]_{r_l(\pi_v(\frac{s-t-2}{2}))} \otimes [\overline{s-k-t-3}]_{r_l(\pi_v(\frac{k-t-2}{2}))}$, sont alors tels que π_2 est toujours un sous-quotient de

$$[\overleftarrow{0}]_{\pi_v(---)} \overrightarrow{\times} \cdots \overrightarrow{\times} [\overrightarrow{0}]_{\pi_v(---)} \overrightarrow{\times} [\overleftarrow{1}]_{\pi_v(---)} \overrightarrow{\times} [\overrightarrow{0}]_{\pi_v(---)} \overrightarrow{\times} \cdots [\overrightarrow{0}]_{\pi_v(---)}$$

laquelle réduction modulo l , pour $l \neq 2$ et $\epsilon_l(\pi_v) = 1$, ne contient jamais $\overrightarrow{[s-k-t-3]}_{r_l(\pi_v)}$ car $m_l(\pi_v) > 2$. En effet, on raisonne par récurrence, le cas de la dimension $2g$ découle du fait que $l \neq 2$. Supposons donc le résultat acquis jusqu'à la dimension mg et traitons le cas de $(m+1)g$. Soit donc à montrer que la réduction modulo l de

$$[\overleftarrow{1}]_{\pi_v} \overrightarrow{\times} [\overrightarrow{0}]_{\pi_v} \overrightarrow{\times} \cdots \overrightarrow{\times} [\overrightarrow{0}]_{\pi_v}$$

ne contient pas $[\overrightarrow{m}]_{r_l(\pi_v)}$. D'après l'hypothèse de récurrence par application du foncteur de Jacquet $J_{N_{mg,g}}$, on en déduit que

$$[\overleftarrow{1}]_{\pi_v} \overrightarrow{\times} [\overrightarrow{0}]_{\pi_v} \overrightarrow{\times} \cdots \overrightarrow{\times} [\overleftarrow{1}]_{\pi_v} \overrightarrow{\times} \cdots$$

ne peut pas contenir dans sa réduction modulo l , $[\overrightarrow{m}]_{r_l(\pi_v)}$. Ainsi il reste à regarder la réduction modulo l de $[\overleftarrow{1}]_{\pi_v} \overrightarrow{\times} [\overrightarrow{m-2}]_{\pi_v}$ et le résultat découle de (1.7.5). \square

9.3. Étape 3. — Il s'agit donc de prouver le résultat suivant dans le cas $\epsilon_l(\pi_v) = 1$: en particulier quand on considère des réductions modulo l , on n'écrira pas les torsions galoisiennes ou pour $GL_d(F_v)$.

9.3.1. Proposition. — *La fibre en un point supersingulier de $E_{\mathbb{F}_l, 1, 1}^{0, 2-s+t}$ est nulle.*

Démonstration. — D'après $HR'_{t+1}(E_{\mathbb{F}_l, 1, 1})$, si pour un point supersingulier z , $\text{Ind } z^* E_{\mathbb{F}_l, 1, 1}^{0, 2-s+t}$ était non nulle, alors elle contiendrait la réduction modulo l de

$$\pi_v[s]_D \otimes \Pi_1 \overrightarrow{\times} [\overrightarrow{s-t-4}, \overleftarrow{t+2}]_{\pi_v}$$

de sorte que $\text{Ind } z^* E_{\mathbb{F}_l, \Psi_{\pi_v}, 1}^{t+1, 1-s}$ admettrait comme constituant la réduction modulo l de

$$\pi_v[s]_D \otimes [\overleftarrow{0}]_{\pi_v} \overrightarrow{\times} [\overrightarrow{s-t-4}, \overleftarrow{t+2}]_{\pi_v} \otimes \mathcal{L}(\pi_v)$$

9.3.2. Lemme. — *Si pour un point supersingulier z , $\text{Ind } z^* E_{\mathbb{F}_l, 1, 1}^{0, 2-s+t}$ n'était pas nulle alors*

$J_{N_{(t+2)g, (s-t-2)g}}^{GL_{sg}}(\text{Ind } z^* E_{\mathbb{F}_l, \Psi_{\pi_v}, \infty}^{2-s+t})$ *admettrait comme constituant*

$$\mathcal{M}_l([\overleftarrow{t+1}]_{\pi_v}) \otimes [\overrightarrow{s-t-3}]_{r_l(\pi_v)}.$$

Démonstration. — D'après ce qui précède $\text{Ind } z^* E_{\mathbb{F}_l, \Psi_{\pi_v}, 1}^{0, 2-s+t}$ admet la réduction modulo l de $\pi_v[s]_D \otimes [\overleftarrow{0}]_{\pi_v} \overrightarrow{\times} [\overrightarrow{s-t-4}, \overleftarrow{t+2}]_{\pi_v} \otimes \mathcal{L}(\pi_v)$ comme constituant. Par ailleurs pour tout $0 \leq i \leq t+1$, $\text{Ind } z^* E_{\mathbb{F}_l, \Psi_{\pi_v}, 1}^{k_{t+2}(i), 2-s+t-k_{t+2}(i)}$ contient la réduction modulo l de $\pi_v[s]_D \otimes [\overleftarrow{t+1}]_{\pi_v} \overrightarrow{\times} [\overrightarrow{s-t-3}]_{\pi_v} \otimes \mathcal{L}(\pi_v)$ de sorte que, quitte à dualiser la filtration de stratification, $\sum_{p \geq 0} \text{Ind } z^* E_{\mathbb{F}_l, \Psi_{\pi_v}, 1}^{p, 2-s+t-p}$, dans le groupe de Grothendieck de $GL_d(F_v)$, contient $m\pi$ où $m = g \dim \pi_v[s]_D$, $\pi = [\frac{t+2}{2}]_{\pi_1} + \pi_2$ avec

$$\pi_1 = \mathcal{M}_l([\overleftarrow{t+2}, \overrightarrow{s-t-3}]_{\pi_v}) \quad \pi_2 = \mathcal{M}_l([\overrightarrow{s-t-3}, \overleftarrow{t+2}]_{\pi_v})$$

Le résultat découle alors des faits suivants :

- pour $i = 1$ et 2 , $J_{N_{(t+2)g, (s-t-2)g}}(\pi_i)$ (resp. $J_{N_{(s-t-3)g, (t+3)g}}(\pi_i)$) contient $\mathcal{M}_l([\overleftarrow{t+1}]_{\pi_v}) \otimes [\overrightarrow{s-t-3}]_{r_l(\pi_v)}$ (resp. $[\overrightarrow{s-t-4}]_{r_l(\pi_v)} \otimes \mathcal{M}_l([\overleftarrow{t+2}]_{\pi_v})$); en effet le résultat est vrai si on remplace π_i par la réduction modulo l de $[\overleftarrow{t+2}, \overrightarrow{s-t-3}]_{\pi_v}$ ou $[\overrightarrow{s-t-3}, \overleftarrow{t+2}]_{\pi_v}$. La conclusion découle alors de (1.7.2), (1.7.7) et du fait, d'après la réciprocity de Frobenius, que seule une superunipotente peut avoir une telle image par le foncteur de Jacquet ;
- pour $p+q = 1-s+t$, π_1 et π_2 ne sont pas des constituants de $\text{Ind } z^* E_{\mathbb{F}_l, \Psi_{\pi_v}, 1}^{p, q}$. En effet d'après $HR_t(E_{\Psi_{\pi_v}, 1})$, les constituants de $\text{Ind } z^* E_{\mathbb{F}_l, \Psi_{\pi_v}, 1}^{p, 1-s+t-p}$ sont à prendre parmi ceux de la réduction modulo l de $[\overleftarrow{t}]_{\pi_v} \overrightarrow{\times} [\overrightarrow{s-t-2}]_{\pi_v}$. Le résultat découle alors du fait que d'après (1.7.7), l'image de $[\overleftarrow{t}, \overrightarrow{s-t-1}]_{\pi_v}$ et $[\overleftarrow{t+1}, \overrightarrow{s-t-2}]_{\pi_v}$ par le foncteur de Jacquet $J_{N_{(s-t-3)g, (t+3)g}}$ ne contient pas dans sa réduction modulo l , $[\overrightarrow{s-t-4}]_{r_l(\pi_v)} \otimes \mathcal{M}_l([\overleftarrow{t+2}]_{\pi_v})$;

- d'après $HR_t(E_{l_k,1})$ pour $k \geq 3$ et $HR'_{t+1}(E_{l_2,1})$, dans le groupe de Grothendieck correspondant $\sum_{p>0} \text{Ind } z^* E_{\mathbb{F}_l, \Psi_{\pi_v, 1}}^{p, 3-s+t-p}$ est égale, quitte à dualiser la filtration de stratification, à la réduction modulo l de $\pi_v[s]_D \otimes \pi' \otimes \mathcal{L}(\pi_v)$ où $\pi' = \lfloor \frac{t+3}{2} \rfloor (\pi'_1 + \pi'_2) + \epsilon \pi'_3$ avec

$$\pi'_1 = \overleftarrow{[t+2, s-t-3]}_{\pi_v} \quad \pi'_2 = \overleftarrow{[t+3, s-t-4]}_{\pi_v} \quad \pi'_3 = \overleftarrow{[1]}_{\pi_v} \overrightarrow{[s-t-5, t+2]}_{\pi_v}$$

avec $\epsilon = 0$ ou 1 ;

- la réduction modulo l de $J_{N_{(t+2)g, (s-t-2)g}}(\pi'_2)$ ne contient pas $\mathcal{M}(\overleftarrow{[t+1]}_{\pi_v}) \otimes \overrightarrow{[s-t-4]}_{r_l(\pi_v)}$: en effet on écrit $J_{N_{(t+2)g, (s-t-2)g}}(\pi'_2)$ sous la forme $\sum_j \psi_j \otimes \phi_j$, pour que la réduction modulo l de ψ_j contienne $\mathcal{M}(\overleftarrow{[t+1]}_{\pi_v})$ il faut, d'après (1.7.7), que ψ_j soit égale à $\overleftarrow{[t+1]}_{\pi_v, (-\frac{s-t+2}{2})}$ de sorte que $\phi_j = \overleftarrow{[1]}_{\pi_v, (-\frac{s-2}{2})} \times \overrightarrow{[s-t-6]}_{\pi_v, (\frac{t+5}{2})}$ dont la réduction modulo l ne contient pas $\overrightarrow{[s-t-4]}_{r_l(\pi_v)}$ d'après (1.7.5) ;
- la réduction modulo l de $J_{N_{(t+2)g, (s-t-2)g}}(\pi'_3)$ ne contient pas $\mathcal{M}(\overleftarrow{[t+1]}_{\pi_v}) \otimes \overrightarrow{[s-t-4]}_{r_l(\pi_v)}$: en effet on écrit $J_{N_{(t+2)g, (s-t-2)g}}(\pi'_3)$ sous la forme $\sum_j \psi_j \otimes \phi_j$, de sorte que ϕ_j est égale à l'une des formes suivantes :

$$\overleftarrow{[1]}_{\pi_v, (-\frac{s-2}{2})} \times \overrightarrow{[s-t-6]}_{\pi_v, (\frac{1-t}{2})} \quad \overleftarrow{[\epsilon]}_{\pi_v, (-\frac{s-1-\epsilon}{2})} \times \overrightarrow{[s-t-5-a, a-\epsilon]}_{\pi_v, (\frac{2a-\epsilon-t}{2})}$$

avec $a - \epsilon > 0$ et $\epsilon = 0$ ou 1 . Le résultat découle alors de (1.7.5) et (1.7.6).

Détaillons la fin de l'argument : si $t+1$ est pair égal à $2a$, alors quitte à dualiser la filtration de stratification de $R\Psi_{\eta_v}(\overline{\mathbb{F}}_l)$, alors $\sum_{p \geq 0} \text{Ind } z^* E_{\mathbb{F}_l, \Psi_{\pi_v, 1}}^{p, 2-s+t-p}$ contient $(a+1)\pi_1 + \pi_2$ alors que $\sum_{p>0} \text{Ind } z^* E_{\mathbb{F}_l, \Psi_{\pi_v, 1}}^{p, 3-s+t-p}$ ne contient que $(a+1)\pi'_1 + \pi'_2 + \epsilon \pi'_3$ de sorte qu'il reste forcément soit un des π_1 soit π_2 dans l'aboutissement, d'où le résultat. Si $t+1 = 2a+1$, alors $\sum_{p \geq 0} \text{Ind } z^* E_{\mathbb{F}_l, \Psi_{\pi_v, 1}}^{p, 2-s+t-p}$ contient toujours $(a+1)\pi_1 + \pi_2$ alors que $\sum_{p>0} \text{Ind } z^* E_{\mathbb{F}_l, \Psi_{\pi_v, 1}}^{p, 3-s+t-p}$, quitte à dualiser la filtration de stratification de $\text{Ind } z^* R\Psi_{\eta_v}(\overline{\mathbb{F}}_l)$, contient $(a+1)\pi'_1 + \pi'_2 + \epsilon \pi'_3$, et la conclusion est la même. \square

9.3.3. Lemme. — Si pour un point supersingulier z , $\text{Ind } z^* E_{\mathbb{F}_l, 1, 1}^{0, 2-s+t}$ n'était pas nulle alors $J_{N_{(t+2)g, (s-t-2)g}}^{GL_{sg}}(\text{Ind } z^* E_{\Psi_{\pi_v, \infty}}^{-t-1})$ aurait un constituant de la forme

$$\overrightarrow{[t+1]}_{r_l(\pi_v)} \otimes \mathcal{M}_l(\overleftarrow{[s-t-3]}_{r_l(\pi_v)})$$

Démonstration. — Le résultat découle du lemme précédent et de (7.0.5) en notant que la représentation en question est bien π_v -superunipotent. \square

9.3.4. Lemme. — Si pour un point supersingulier z , $\text{Ind } z^* E_{\mathbb{F}_l, 1, 1}^{0, 2-s+t}$ n'était pas nulle alors $J_{N_{(s-t-3)g, (t+3)g}}^{GL_{sg}}(\text{Ind } z^* E_{\mathbb{F}_l, \Psi_{\pi_v, \infty}}^{-t-1})$ aurait un constituant de la forme

$$\mathcal{M}_l(\overleftarrow{[s-t-4]}_{r_l(\pi_v)}) \otimes \overrightarrow{[t+2]}_{r_l(\pi_v)}$$

Démonstration. — Par réciprocity de Frobenius, le sous-quotient de la réduction modulo l d'une représentation π tel que son image par $J_{N_{(t+2)g, (s-t-2)g}}^{GL_{sg}}(\pi)$, contienne $\mathcal{M}_l(\overleftarrow{[t+1]}_{\pi_v}) \otimes \overrightarrow{[s-t-3]}_{r_l(\pi_v)}$ est π_v -superunipotente de sorte que d'après la preuve du lemme (9.3.2), il s'agit soit de $\mathcal{M}_l(\overleftarrow{[t+2, s-t-3]}_{\pi_v})$ soit de $\mathcal{M}_l(\overleftarrow{[s-t-3, t+2]}_{\pi_v})$. On en déduit donc que l'image de $\text{Ind } z^* E_{\mathbb{F}_l, \Psi_{\pi_v, \infty}}^{2-s+t}$ par $J_{N_{(s-t-3)g, (t+3)g}}^{GL_{sg}}$ contient $\mathcal{M}_l(\overleftarrow{[s-t-4]}_{\pi_v}) \otimes \overrightarrow{[t+2]}_{r_l(\pi_v)}$; on conclut comme précédemment en utilisant (7.0.5). \square

Fin de la preuve de la proposition (9.3.1) : d'après $HR'_{t+1}(E_{l_k,1})$, les constituants de $\text{Ind } z^* E_{\Psi_{\pi_v, 1}}^{p,q}$ avec $p+q = -t-1$ sont à prendre parmi les constituants de la réduction modulo l de

$$\overleftarrow{[k-1]}_{\pi_v} \overrightarrow{[s-t-k-1, t]}_{\pi_v} \quad \forall 0 \leq k \leq s-t$$

On écrit, dans le groupe de Grothendieck correspondant, l'image de ce dernier par le foncteur de Jacquet $J_{N_{(s-t-3)g, (t+3)g}}^{GL_{sg}}$ sous la forme $\sum \pi_1 \otimes \pi_2$ de sorte que π_2 est de la forme

$$[\overleftarrow{r}]_{\pi_v(-\frac{s-r-1}{2})} \times [\overleftarrow{i-r+1}, \overrightarrow{t-i}]_{\pi_v(\frac{s-t+r-2-2i}{2})}$$

avec soit $r \geq 1$ soit $i-r+1 \geq 1$. On conclut en remarquant que $[\overrightarrow{t+2}]_{r_l(\pi_v)}$ n'est pas un constituant de la réduction modulo l de $[\overleftarrow{1}]_{\pi_v} \times [\overrightarrow{0}]_{\pi_v} \times \cdots \times [\overrightarrow{0}]_{\pi_v}$ (cf. la fin de la preuve de l'étape 2). \square

9.4. Étape 4. — Désormais $\epsilon_l(\pi_v)$ est quelconque. On définit l'hypothèse $HR'_{t+1}(E_{\Psi_{\pi_v, \infty}})$: pour tout $0 \leq k \leq t+1$, $E_{\overline{\mathbb{F}}_l, \Psi_{\pi_v, \infty}}^{1-s+k}$ (resp. $E_{\overline{\mathbb{F}}_l, \Psi_{\pi_v, \infty}}^{-k}$) est isomorphe à la réduction modulo l de $[\overleftarrow{k}, s-k-1]_{\pi_v}$ (resp. $[\overleftarrow{s-k-1}, \overrightarrow{k}]_{\pi_v}$).

9.4.1. Proposition. — Pour $t+1 < \frac{s-2}{2}$, $HR'_{t+1}(E_{\Psi_{\pi_v, \infty}})$ est vérifiée.

Démonstration. — On reprend comme ci-dessus la première partie de la preuve de l'implication $HR_{t+1}(E_{\overline{\mathbb{F}}_l, 1}) \Rightarrow HR_{t+1}(E_{\overline{\mathbb{F}}_l, \Psi_{\pi_v, \infty}})$. Il faut alors prouver que le scalaire associé à $d_{\overline{\mathbb{Z}}_l, \Psi_{\pi_v, 1}}^{t+1, 1-s}$ est de valuation nulle. Si ce n'était pas le cas, $\text{Ind } z^* E_{\overline{\mathbb{F}}_l, \Psi_{\pi_v, \infty}}^{2-s+t}$ admettrait comme constituant la réduction modulo l de $\pi_v[s]_D \otimes [\overleftarrow{t+2}, \overrightarrow{s-t-3}]_{\pi_v} \otimes \mathcal{L}(\pi_v)(-\frac{1-s}{2})$. On en déduit alors le lemme suivant.

9.4.2. Lemme. — Si la proposition précédente n'était pas vérifiée alors $\text{Ind } z^* E_{\overline{\mathbb{F}}_l, \Psi_{\pi_v, \infty}}^{t-s+2}$ aurait $\mathcal{M}_l([\overleftarrow{t+2}, \overrightarrow{s-t-3}]_{\pi_v})$ comme constituant.

Par application de (7.0.5), on obtient alors le lemme suivant.

9.4.3. Lemme. — Si la proposition précédente n'était pas vérifiée alors $\text{Ind } z^* E_{\Psi_{\pi_v, \infty}}^{-t-1}$ aurait $\mathcal{M}_l([\overleftarrow{s-t-3}, \overrightarrow{t+2}]_{\pi_v})$ comme constituant.

Or d'après $HR_t(E_{l_k, 1})$, les constituants de $\text{Ind } z^* E_{\Psi_{\pi_v, 1}}^{p,q}$ avec $p+q = -t-1$ sont à prendre parmi les constituants de la réduction modulo l de

$$[\overleftarrow{k-1}]_{\pi_v} \times [\overleftarrow{s-t-k-1}, \overrightarrow{t}]_{\pi_v} \quad \forall 0 \leq k \leq s-t-1$$

le résultat découle alors de la proposition suivante car par hypothèse $t+1 < \frac{s-1}{2}$. \square

9.4.4. Proposition. — Pour $t \geq 0$, $\mathcal{M}_l([\overleftarrow{s-t-3}, \overrightarrow{t+2}]_{\pi_v})$ n'est pas un constituant de la réduction modulo l de

$$[\overleftarrow{k-1}]_{\pi_v(\delta_1)} \times [\overleftarrow{s-t'-k-1}, \overrightarrow{t'}]_{\pi_v(\delta_2)}$$

pour tout δ_1, δ_2 avec $0 \leq t' \leq t$ et $s-t-3 > t'+1$.

Démonstration. — Le résultat devrait s'inscrire dans un cadre plus général comme suggéré dans la remarque précédant (1.7.9), l'auteur s'excuse par avance du caractère particulier des arguments suivants.

9.4.5. Lemme. — Le résultat de la proposition (9.4.4) est vérifiée si $m_l(\pi_v) \neq 2$.

Démonstration. — On rappelle que l'image de $\mathcal{M}_l([\overleftarrow{s-t-3}, \overrightarrow{t+2}]_{\pi_v})$ par le foncteur de Jacquet $J_{N_{(t+3)g, (s-t-3)g}}$ contient $[\overrightarrow{t+2}]_{r_l(\pi_v(\frac{s-t-3}{2}))} \otimes \mathcal{M}_l([\overleftarrow{s-t-4}]_{\pi_v(-\frac{t+3}{2})})$. Or l'image de $[\overleftarrow{k-1}]_{\pi_v(\delta_1)} \times [\overleftarrow{s-t'-k-1}, \overrightarrow{t'}]_{\pi_v(\delta_2)}$ par $J_{N_{(t+3)g, (s-t-3)g}}$ est une somme de termes de la forme

$$[\overleftarrow{\alpha-1}]_{\pi_v(\delta_1 + \frac{k-\alpha-s+1}{2})} \times [\overleftarrow{\beta}, \overrightarrow{\gamma}]_{\pi_v(\delta_2 + \frac{s-1-\beta+\gamma-2t'}{2})} \otimes ??$$

avec $-1 \leq \alpha \leq k$, $0 \leq \gamma \leq t'$ et $0 \leq \beta \leq s - t' - k - 1$. Ainsi d'après (1.7.10), $[\overrightarrow{t+2}]_{r_l(\pi_v(\frac{s-t-3}{2}))}$ doit être un constituant de la réduction modulo l de $[\overleftarrow{\alpha-1}]_{\pi_v(\delta_1 + \frac{k-\alpha-s+1}{2})} \times [\overleftarrow{\beta}]_{\pi_v(\delta_2 + \frac{s-1-\beta-2t'}{2})}$ pour $-1 \leq \alpha \leq k$ et $\beta = t + 2 - \alpha$, ce qui d'après le lemme (1.7.8) impose $m_l(\pi_v) = 2$. \square

On suppose donc désormais $m_l(\pi_v) = 2$ avec $l \neq 2$ ce qui impose $e_l(\pi_v) = 2$, et on raisonne par récurrence sur t' de 0 à t . L'initialisation de la récurrence, i.e. le cas $t' = 0$ sera traité plus tard, supposons donc le résultat acquis jusqu'au rang $t' - 1$ et traitons le cas de t' . Par application du foncteur de Jacquet $J_{N_{g,(s-1)g}}$, on obtient que $\mathcal{M}_l([\overleftarrow{s-t-4}, \overrightarrow{t+2}]_{\pi_v(1/2)})$ est un constituant de la réduction modulo l de

$$\begin{aligned} & [\overleftarrow{k-2}]_{\pi_v(\delta_1 + \frac{1+k-s}{2})} \times [\overleftarrow{s-t'-k-1}, \overrightarrow{t'}]_{\pi_v(\delta_2 + k/2)} + [\overleftarrow{k-1}]_{\pi_v(\delta_1 + \frac{k-s}{2})} \times [\overleftarrow{s-t'-k-2}, \overrightarrow{t'}]_{\pi_v(\delta_2 + \frac{k-1}{2})} \\ & + [\overleftarrow{k-1}]_{\pi_v(\delta_1 + \frac{k-s}{2})} \times [\overleftarrow{s-t'-k-1}, \overrightarrow{t'-1}]_{\pi_v(\delta_2 + \frac{k-1}{2})} \end{aligned}$$

D'après l'hypothèse de récurrence, car $s - t - 4 > t' - 1$, $\mathcal{M}_l([\overleftarrow{s-t-4}, \overrightarrow{t+2}]_{\pi_v(1/2)})$ n'est pas un constituant de la réduction modulo l de $[\overleftarrow{k-1}]_{\pi_v(\delta_1 + \frac{k-s}{2})} \times [\overleftarrow{s-t'-k-1}, \overrightarrow{t'-1}]_{\pi_v(\delta_2 + \frac{k-1}{2})}$, de sorte qu'en itérant ce processus on arriverait à ce que $[\overrightarrow{t+2}]_{r_l(\pi_v(\frac{s-t-3}{2}))}$ soit un constituant de la réduction modulo l d'une induite de la forme

$$[\overleftarrow{\alpha-1}]_{\pi_v(\delta)} \times [\overleftarrow{\beta}, \overrightarrow{t'}]_{\pi_v(\delta')}$$

ce qui n'est pas d'après le lemme (1.7.10).

Traitons désormais le cas $t' = 0$, i.e. pour $e_l(\pi_v) = 2$, montrons que $\mathcal{M}_l([\overleftarrow{\alpha}, \overrightarrow{t+2}]_{\pi_v})$ n'est pas un constituant de la réduction modulo l de $[\overleftarrow{k-1}]_{\pi_v(\delta)} \times [\overleftarrow{k'-1}]_{\pi_v(\delta')}$ pour $k + k' - 1 = t + 2 + \alpha$ avec $\alpha \geq 2$. En raisonnant par récurrence sur α et par application successive du foncteur de Jacquet $J_{N_{\gamma,g}}$, on est ramené à traiter le cas de $\alpha = 2$, car on a supposé $s - t - 3 > t' + 1$. Puis à nouveau par application du foncteur de Jacquet $J_{N_{\gamma,g}}$, on est ramené au cas $t + 2 = 2$. Finalement il reste à prouver que $\mathcal{M}_l([\overleftarrow{2}, \overrightarrow{2}]_{\pi_v})$ n'est pas un sous-quotient de la réduction modulo l de

$$[\overleftarrow{4}]_{\pi_v}, \quad [\overleftarrow{3}]_{\pi_v(1/2)} \times [\overleftarrow{0}]_{\pi_v} \quad [\overleftarrow{2}]_{\pi_v} \times [\overleftarrow{1}]_{\pi_v(-1/2)}, \quad [\overleftarrow{2}]_{\pi_v} \times [\overleftarrow{1}]_{\pi_v(1/2)}, \quad [\overleftarrow{0}]_{\pi_v} \times [\overleftarrow{3}]_{\pi_v(-1/2)}$$

Il s'agit alors d'éliminer chacun de ces cas.

- D'après (1.7.9), $\mathcal{M}_l([\overleftarrow{2}, \overrightarrow{2}]_{\pi_v})$ n'est pas un sous-quotient de $r_l([\overleftarrow{4}]_{\pi_v})$, ce qui élimine la première possibilité.

- Pour la deuxième, reste à regarder $[\overleftarrow{1}, \overleftarrow{3}]_{\pi_v}$; la contradiction découle du fait que l'image de $\mathcal{M}_l([\overleftarrow{2}, \overrightarrow{2}]_{\pi_v})$ par le foncteur de Jacquet $J_{N_{4g,g}}$ est $\sum_i ?_i \otimes [\overleftarrow{0}]_{r_l(\pi_v)}$, alors que pour $[\overleftarrow{1}, \overleftarrow{3}]_{\pi_v}$, on trouve $\sum_i ?_i \otimes [\overleftarrow{0}]_{\pi_v(1)}$.

- Pour la troisième, il reste à regarder $[\overleftarrow{2}, \overleftarrow{1}, \overleftarrow{1}]_{\pi_v}$. On regarde les images par $J_{N_{3g,g,g}}$: pour $\mathcal{M}_l([\overleftarrow{2}, \overrightarrow{2}]_{\pi_v})$, $[\overleftarrow{1}, \overleftarrow{1}]_{r_l(\pi_v)} \otimes [\overleftarrow{0}]_{r_l(\pi_v)} \otimes [\overleftarrow{0}]_{r_l(\pi_v)}$ en est un constituant alors qu'il n'est pas un constituant de la réduction modulo l de $[\overleftarrow{2}, \overleftarrow{1}, \overleftarrow{1}]_{\pi_v}$.

- Pour la cinquième, il reste à regarder $[\overleftarrow{3}, \overleftarrow{1}]_{\pi_v}$. La contradiction découle cette fois de l'étude des images par $J_{N_{g,4g}}$, ce qui donne $[\overleftarrow{0}]_{r_l(\pi_v)} \otimes ?$ pour $\mathcal{M}_l([\overleftarrow{2}, \overrightarrow{2}]_{\pi_v})$ et $[\overleftarrow{0}]_{r_l(\pi_v(1))} \otimes ??$ pour $[\overleftarrow{3}, \overleftarrow{1}]_{\pi_v}$.

- Enfin pour la quatrième, reste à regarder $[\overleftarrow{1}, \overleftarrow{1}, \overleftarrow{2}]_{\pi_v}$. On étudie les images par $J_{N_{3g,2g}}$; pour $\mathcal{M}_l([\overleftarrow{2}, \overrightarrow{2}]_{\pi_v})$, on remarque que $[\overleftarrow{2}]_{r_l(\pi_v)} \otimes ? + \mathcal{M}([\overleftarrow{2}]_{\pi_v}) \otimes ??$ en est un sous-quotient alors que pour $[\overleftarrow{1}, \overleftarrow{1}, \overleftarrow{2}]_{\pi_v}$, pour le même support cuspidal sur le premier facteur, on ne trouve comme π_v -superunipotente que $\mathcal{M}_l([\overleftarrow{2}]_{\pi_v})$ et $\mathcal{M}_l([\overleftarrow{1}, \overleftarrow{1}]_{\pi_v})$; la contradiction découle alors de (1.7.9). \square

9.5. Étape 5. — Il s'agit de prouver la proposition suivante avec $\epsilon_l(\pi_v)$ quelconque.

9.5.1. Proposition. — Pour $t + 1 \leq \frac{s-1}{2}$ et pour tout $1 \leq k \leq s$, $E_{l_k,1}^{0,-t-1}$ est nul.

Démonstration. — Si $t + 1 = \frac{s-1}{2}$, il ne reste plus qu'à traiter le cas de $k = 1$; or le résultat a déjà été prouvé car $E_{1,1}^{0,-t-1} = E_{1,1}^{0,1-s+t+1}$.

- De même si $t + 1 = \frac{s-2}{2}$, il ne reste plus qu'à regarder $k = 1$. Ainsi le seul terme supplémentaire dans les $E_{1,1}^{0,r}$ est pour $r = -t - 1$; celui-ci est nul car la somme alternée des termes "supplémentaires" est nulle.

- On suppose donc $t + 1 < \frac{s-1}{2}$, ce qui nous permet d'utiliser la proposition (9.4.1). On raisonne alors par récurrence sur k de 1 à s . L'initialisation de la récurrence procède comme la preuve du cas général; on suppose donc le résultat acquis jusqu'au rang $k - 1$ et traitons le cas de k .

9.5.2. Lemme. — Soit $a \leq s$ tel que pour tout $a \leq b \leq s$ (resp. $a < b \leq s$), $E_{\mathbb{F}_l, !_b}^{0,i}$ soit nul pour tout $-t \leq i \leq 0$ (resp. $-t - 1 \leq i \leq 0$). Alors si $\text{Ind } z^* E_{\mathbb{F}_l, !_a, 1}^{0,-t-1}$ est non nul, il est un constituant de (resp. est égal à) la réduction modulo l de

$$\pi_v[s]_D \otimes \Pi_a \overrightarrow{\times} \overleftarrow{[s - a - t - 1, t]}_{\pi_v}$$

Démonstration. — Cela découle simplement du fait que l'aboutissement de la suite spectrale $E_{\mathbb{F}_l, !_a, 1}^{p,q}$ est nul et du fait que les $d_{\mathbb{Z}_l, !_a, 1}^{i, a-s}$ sont donnés par des scalaires. \square

D'après $HR'_{t+1}(E_{\mathbb{F}_l, \Psi_{\pi_v, \infty}})$ on en déduit comme d'habitude que le scalaire associé à $d_{\mathbb{Z}_l, \Psi_{\pi_v, 1}}^{t-s+2, s-2t-3}$ est de valuation nulle, de sorte qu'il ne reste plus rien dans les $E_{\mathbb{F}_l, \Psi_{\pi_v, 1}}^{p,q}$ pour $p + q \geq -t$. Soit alors a maximal tel que $E_{\mathbb{F}_l, !_a, 1}^{0,-t-1}$ soit non nul. D'après le lemme précédent, on en déduit alors qu'il contient un constituant de niveau de Whittaker $s - t - 1$; il en est alors de même pour $E_{\mathbb{F}_l, \Psi_{\pi_v, 1}}^{t-s+2+(s-t-1-a), s-2t-3-(s-t-1-a)}$. D'après le cas respé du lemme précédent, les constituants de $E_{\mathbb{F}_l, \Psi_{\pi_v, 1}}^{p,q}$ pour $p + q = -t - 2$ et $p < t - s + 2 + (s - t - 1 - a)$ sont tous de niveau de Whittaker strictement inférieur à $s - t - 1$, d'où la contradiction avec $HR'_{t+1}(E_{\mathbb{F}_l, \Psi_{\pi_v, \infty}})$. \square

10. Trivialité de la torsion des groupes de cohomologie

10.1. des extensions intermédiaires et par zéro des $\mathcal{F}_{\mathbb{Z}_l}(t, \pi_v)$. — Il s'agit donc de montrer que les groupes de cohomologies des extensions intermédiaires et par zéro des systèmes locaux d'Harris-Taylor sont sans torsion. Le raisonnement est parallèle à celui des faisceaux de cohomologie en étudiant les suites spectrales suivantes :

$$E_{h_t, \mathbb{Z}_l, 2}^{p,q} = H^p(h^q j_{!*}^{\geq tg} HT_{\mathbb{Z}_l}(\pi_v, \Pi_t)) \Rightarrow H^{p+q}(j_{!*}^{\geq tg} HT_{\mathbb{Z}_l}(\pi_v, \Pi_t))$$

$$E_{!_t, \mathbb{Z}_l, 1}^{p,q} = H^{p+q}(gr_{-p} j_!^{\geq tg} HT_{\mathbb{Z}_l}(\pi_v, \Pi_t)) \Rightarrow H^{p+q}(j_!^{\geq tg} HT_{\mathbb{Z}_l}(\pi_v, \Pi_t))$$

On renvoie le lecteur aux figures (5), (6) et (7) pour des illustrations de ces suites spectrales dans les cas où l'on considère les parties $\Pi^{\infty, v}$ -isotypiques avec Π_v qui est de la forme $\text{St}_s(\pi_v)$ ou $\text{Speh}_s(\pi_v)$ pour un diviseur s de $d = sg$ et π_v une représentation irréductible cuspidale entière de $GL_g(F_v)$.

10.1.1. Théorème. — Pour tout $1 \leq tg \leq d$ et pour toute représentation irréductible cuspidale entière π_v de $GL_g(F_v)$, les groupes de cohomologies des extensions intermédiaires et par zéro de $HT_{\mathbb{Z}_l}(\pi_v, \Pi_t)$ sont sans torsion

Démonstration. — Pour π_v fixé, on raisonne par récurrence sur t de $s := \lfloor \frac{d}{g} \rfloor$ à 1. Pour $t = s$, on a $j_!^{\geq sg} HT_{\overline{\mathbb{Z}}_l}(\pi_v, \Pi_t) = j_{!*}^{\geq sg} HT_{\overline{\mathbb{Z}}_l}(\pi_v, \Pi_t)$ et comme la strate $\overline{X}_{\mathcal{I}}^{(d-sg)}$ est affine, on en déduit que les $H^i(j_!^{\geq sg} HT_{\overline{\mathbb{Z}}_l}(\pi_v, \Pi_t))$ sont nuls pour $i < 0$ et sans torsion pour $i = 0$. En appliquant la dualité de Verdier, on en déduit alors qu'il en est de même pour les $i \geq 0$.

Supposons alors le résultat acquis jusqu'au rang $t + 1$ et traitons le cas de t . En particulier, on en déduit que les $E_{!_t, \overline{\mathbb{Z}}_l, 1}^{p,q}$ sont sans torsion pour $p \neq 0$. Par ailleurs pour $p + q < 0$ avec $p > 0$, on remarque que

- les $E_{!_t, \overline{\mathbb{Z}}_l, 1}$ non nuls sont en tant que représentation de $GL_d(F_{v'})$ de la forme $\bigoplus \text{Speh}_{s_1}(\pi_{v',1}) \times \cdots \times \text{Speh}_{s_r}(\pi_{v',r})$;
- les $E_{!_t, \overline{\mathbb{Z}}_l, 2}^{p,q}$ sont de torsion : s'ils sont non nuls alors en tant que représentation de $GL_d(F_{v'})$ ils sont de la forme $\bigoplus r_l(\text{Speh}_{s_1}(\pi_{v',1}) \times \cdots \times \text{Speh}_{s_r}(\pi_{v',r}))$.

Ainsi s'il existe $i < 0$ tel que la torsion de $H^i(j_!^{\geq tg} HT_{\overline{\mathbb{Z}}_l}(\pi_v, \Pi_t))$ soit non nulle, alors en tant que représentation de $GL_d(F_{v'})$, on en déduit que ses sous-quotients irréductibles sont à prendre parmi ceux de $r_l(\text{Speh}_{s_1}(\pi_{v',1}) \times \cdots \times \text{Speh}_{s_r}(\pi_{v',r}))$ pour divers $\pi_{v',i}$.

Remarque : on pourrait aussi observer que si pour $k \geq 2$, $E_{!_t, \overline{\mathbb{Z}}_l, k}^{p,q}$, en tant que représentation de $GL_d(F_{v'})$, contient un sous-quotient irréductible de $r_l(\text{Speh}_{s_1}(\pi_{v',1}) \times \cdots \times \text{Speh}_{s_r}(\pi_{v',r}))$, alors il les contient tous.

On étudie alors la suite spectrale

$$E_{h_t, \overline{\mathbb{Z}}_l, 2}^{p,q} = H^p(h^q j_{!*}^{\geq tg} HT_{\overline{\mathbb{Z}}_l}(\pi_v, \Pi_t)) \Rightarrow H^{p+q}(j_{!*}^{\geq tg} HT_{\overline{\mathbb{Z}}_l}(\pi_v, \Pi_t))$$

D'après l'hypothèse de récurrence les $E_{h_t, \overline{\mathbb{Z}}_l, 2}^{p,q}$ sont sans torsion pour $q \neq -d + tg$. Par ailleurs on a $E_{h_t, \overline{\mathbb{Z}}_l, r}^{p,q} = E_{h_t, \overline{\mathbb{Z}}_l, 2}^{p,q}$ pour tout $2 \leq r \leq g$ et les $d_{\overline{\mathbb{Z}}_l, g}^{p,q}$ non nuls sont définis par des scalaires entre des $\overline{\mathbb{Q}}_l$ -représentations irréductibles globales entières Π^∞ telles $\Pi_{v'}$ est de la forme $\text{St}_{s_1}(\pi_{v',1}) \times \cdots \times \text{St}_{s_r}(\pi_{v',r})$. Supposons qu'un de ces scalaires soit de valuation non nulle de sorte que $\text{St}_{s_1}(r_l(\pi_{v',1})) \times \cdots \times \text{St}_{s_r}(r_l(\pi_{v',r}))$ est un sous-quotient de $E_{h_t, \overline{\mathbb{Z}}_l, g+1}^{p,q}$. D'après le lemme suivant, on en déduit alors qu'il est un sous-quotient de $E_{h_t, \overline{\mathbb{Z}}_l, \infty}^{p,q}$. D'après ce qui précède il doit aussi être un sous-quotient de la réduction modulo l d'une représentation de la forme $\text{Speh}_{s'_1}(\pi'_{v',1}) \times \cdots \times \text{Speh}_{s'_r}(\pi'_{v',r})$ ce qui ne se peut pas d'après le lemme suivant. Ainsi tous les scalaires associés aux $d_{\overline{\mathbb{Z}}_l, g}^{p,q}$ non nuls, sont de valuation nulle de sorte que la suite spectrale dégénère en E_3 avec $E_{h_t, \overline{\mathbb{F}}_l, 3}^{p,q} = E_{h_t, \overline{\mathbb{Z}}_l, 3}^{p,q} \otimes_{\overline{\mathbb{Z}}_l} \overline{\mathbb{F}}_l$.

Ainsi les $H^i(j_{!*}^{\geq tg} HT_{\overline{\mathbb{Z}}_l}(\pi_v, \Pi_t))$ sont sans torsion pour $i \leq 0$ et donc pour tout i en utilisant la dualité de Verdier. □

10.1.2. Lemme. — *La représentation $\text{St}_{s_1}(r_l(\pi_{v',1})) \times \cdots \times \text{St}_{s_r}(r_l(\pi_{v',r}))$ n'est jamais un sous-quotient irréductible de $r_l(\text{Speh}_{s'_1}(\pi'_{v',1}) \times \cdots \times \text{Speh}_{s'_r}(\pi'_{v',r}))$, pour tout $\pi_{v',i}$ et pour tout s'_i avec $\max_{1 \leq i \leq r'} \{s'_i\} > 1$.*

Démonstration. — Étant donné une $\overline{\mathbb{Q}}_l$ -représentation irréductible entière π , sa réduction modulo l est de même niveau de Whittaker et contient un unique sous-quotient irréductible de ce niveau maximal. Le résultat découle alors du fait que $\text{Speh}_{s'_1}(\pi'_{v',1}) \times \cdots \times \text{Speh}_{s'_r}(\pi'_{v',r})$ n'est pas de carré intégrable i.e. son niveau de Whittaker n'est pas maximal. □

10.2. de la variété de Shimura. —

10.2.1. Théorème. — *Pour tout i , la torsion de $H^i(\Psi_{\mathcal{I}, \overline{\mathbb{Z}}_l})$ est nulle.*

Démonstration. — On considère la suite spectrale de monodromie

$$E_{\mathbb{Z}_l,1}^{p,q} = H^{p+q}(gr_{-p}\Psi_{\mathcal{I},\mathbb{Z}_l}) \Rightarrow H^{p+q}(\Psi_{\mathcal{I},\mathbb{Z}_l})$$

D'après le théorème précédent, les $E_{\mathbb{Z}_l,1}^{p,q}$ sont sans torsion. Soit alors $p+q$ minimal avec q minimal tel que les scalaires associés à $d_{1,\mathbb{Z}_l}^{p,q}$ ne soit pas tous inversibles. On en déduit alors que $H^{p+q}(\Psi_{\mathcal{I},\mathbb{Z}_l})$ en tant que représentation de $GL_d(F_v)$ est une somme directe de la forme

$$r_l(\mathrm{Speh}_{s_1}(\pi_{v,1}) \times \cdots \times \mathrm{Speh}_{s_{i-1}}(\pi_{v,i-1}) \times [\vec{\beta}, \overleftarrow{s_i - 1 - \alpha - \beta}, \vec{\alpha}]_{\pi_{v,i}} \times \mathrm{Speh}_{s_{i+1}}(\pi_{v,i+1}) \times \cdots \times \mathrm{Speh}_{s_r}(\pi_{v,r})) \quad (10.2.2)$$

alors qu'en tant que représentation de $GL_d(F_{v'})$ il est une somme directe de représentations de la forme $r_l(\mathrm{Speh}_{s'_1}(\pi'_{v',1}) \times \cdots \times \mathrm{Speh}_{s'_r}(\pi'_{v',r}))$. Ainsi si on calcule $H^{p+q}(\Psi_{\mathcal{I},\mathbb{Z}_l})$ via la suite spectrale en v' , on en déduit qu'en tant que représentation de $GL_d(F_v)$ il est une somme directe de la forme

$$r_l(\mathrm{Speh}_{s_1}(\pi_{v,1}) \times \cdots \times \mathrm{Speh}_{s_r}(\pi_{v,r})) \quad (10.2.3)$$

La contradiction découle alors du fait que le niveau de Whittaker de (10.2.2) est strictement supérieur à celui de (10.2.3) de sorte que le niveau maximal de torsion de $H^{p+q}(\Psi_{\mathcal{I},v})$ en tant que représentation de $GL_d(F_v)$ vu via (10.2.2) est strictement plus grande que vu via (10.2.3). \square

11. Figures

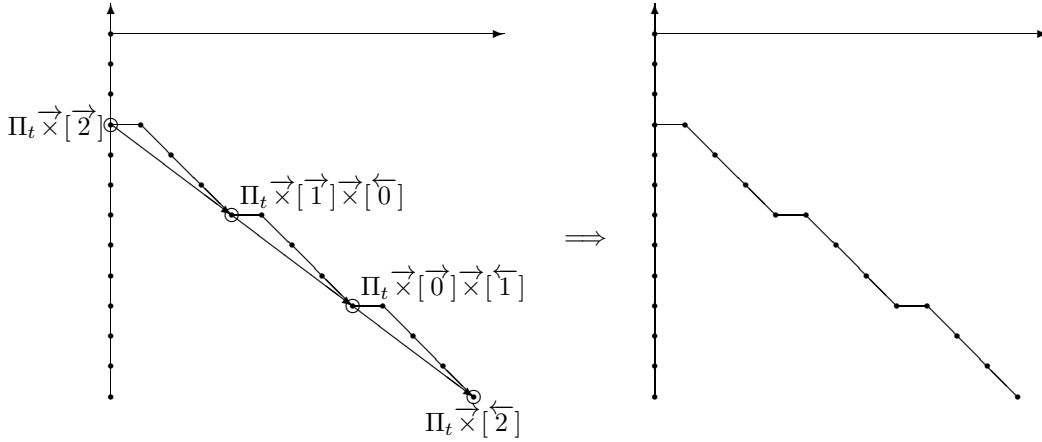


FIGURE 5. Termes $E_{h_t, \mathbb{Z}_l, 2}^{p,q}[\Pi^{\infty, v}]$ et $E_{h_t, \mathbb{Z}_l, \infty}^{p,q}[\Pi^{\infty, v}] = E_{h_t, \mathbb{Z}_l, 5}^{p,q}[\Pi^{\infty, v}]$ pour $g = 4$ et $s - t = 3$ avec $\Pi_v \simeq \mathrm{St}_s(\pi_v)$

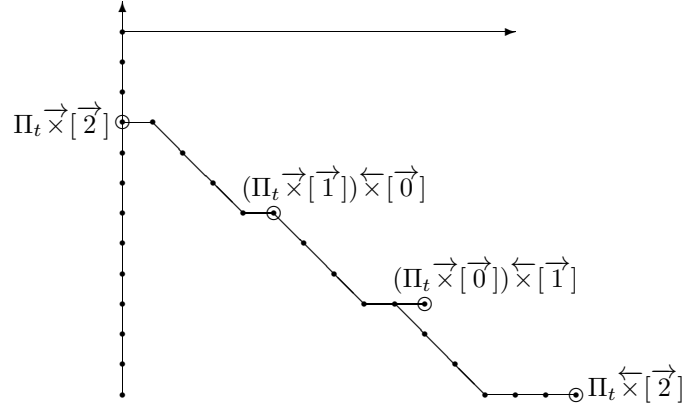


FIGURE 6. Termes $E_{h_t, \overline{\mathbb{Z}}_l, 2}^{p,q}[\Pi^{\infty, v}] = E_{h_t, \overline{\mathbb{Z}}_l, \infty}^{p,q}[\Pi^{\infty, v}]$ pour $g = 4$ et $s - t = 3$ avec $\Pi_v \simeq \text{Speh}_s(\pi_v)$

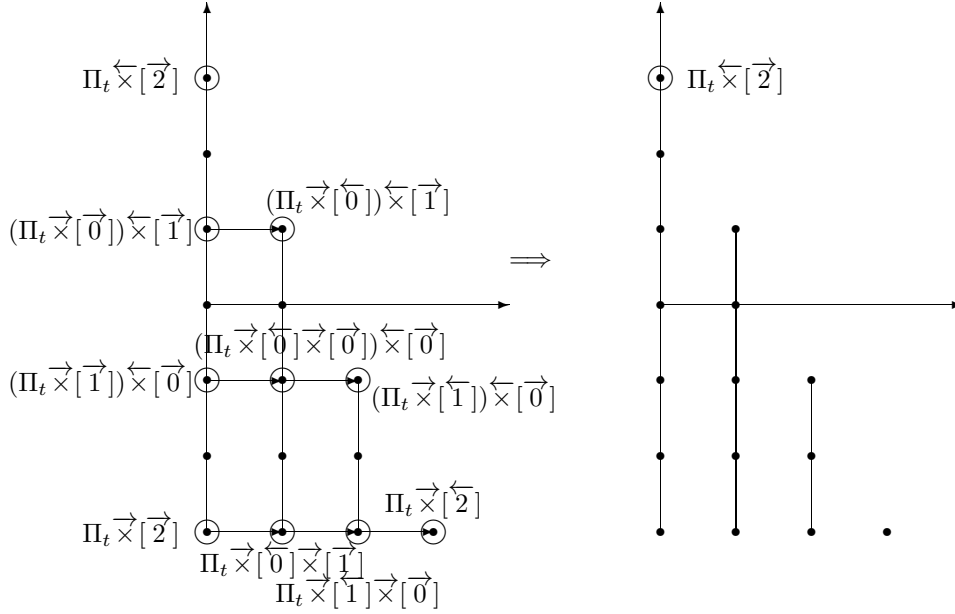


FIGURE 7. Termes $E_{!_t, \overline{\mathbb{Z}}_l, 1}^{p,q}[\Pi^{\infty, v}]$ et $E_{!_t, \overline{\mathbb{Z}}_l, \infty}^{p,q}[\Pi^{\infty, v}] = E_{!_t, \overline{\mathbb{Z}}_l, 2}^{p,q}[\Pi^{\infty, v}]$ pour $s - t = 3$ avec $\Pi_v \simeq \text{Speh}_s(\pi_v)$

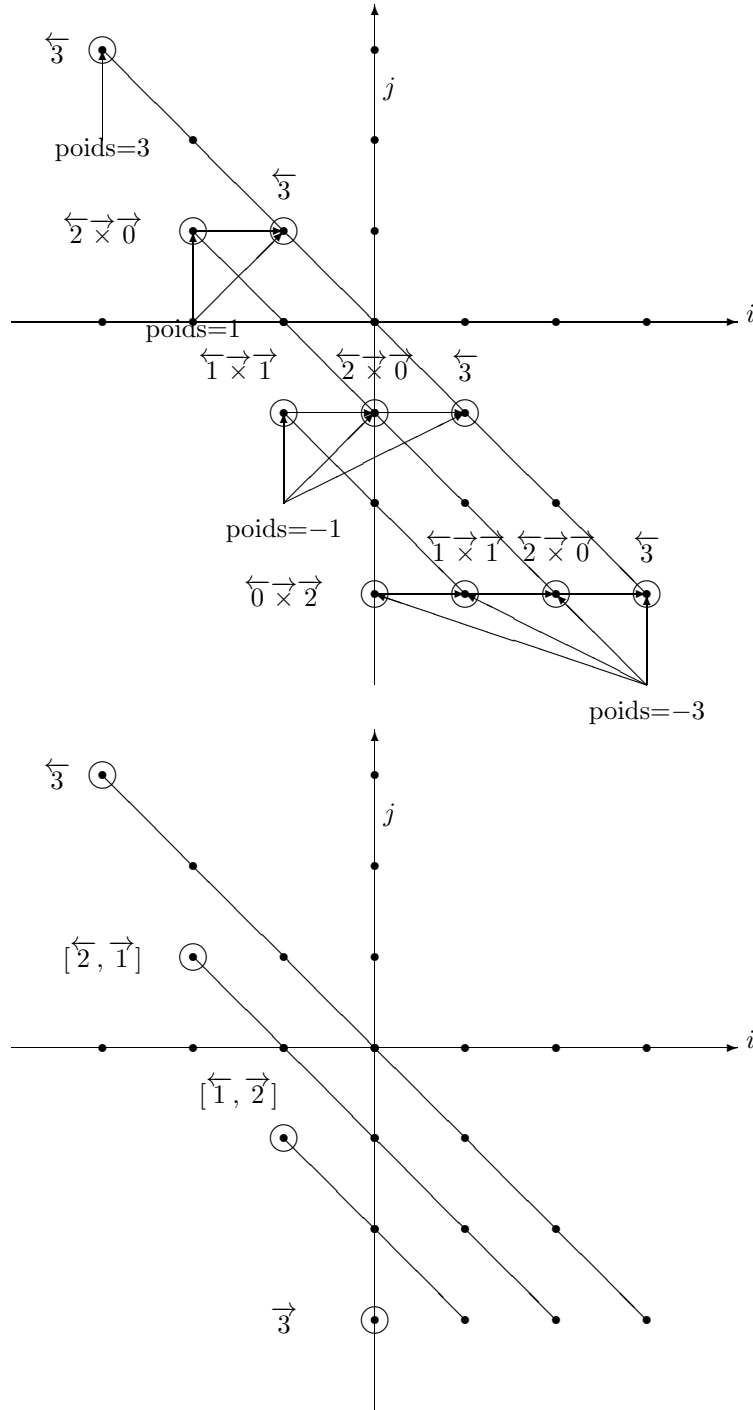


FIGURE 8. Termes $E_{\overline{z}_l, 1}$ et $E_{\overline{z}_l, \infty} = E_{\overline{z}_l, 2}$ de la suite spectrale de monodromie-locale pour $s = 4$

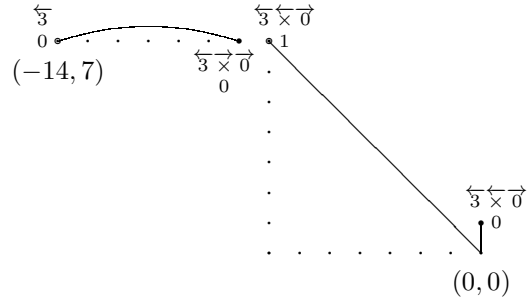


FIGURE 9. $g = 7, s = 5; E_2^{p,q}$ de la suite spectrale (6.4.1) pour $t = 4$

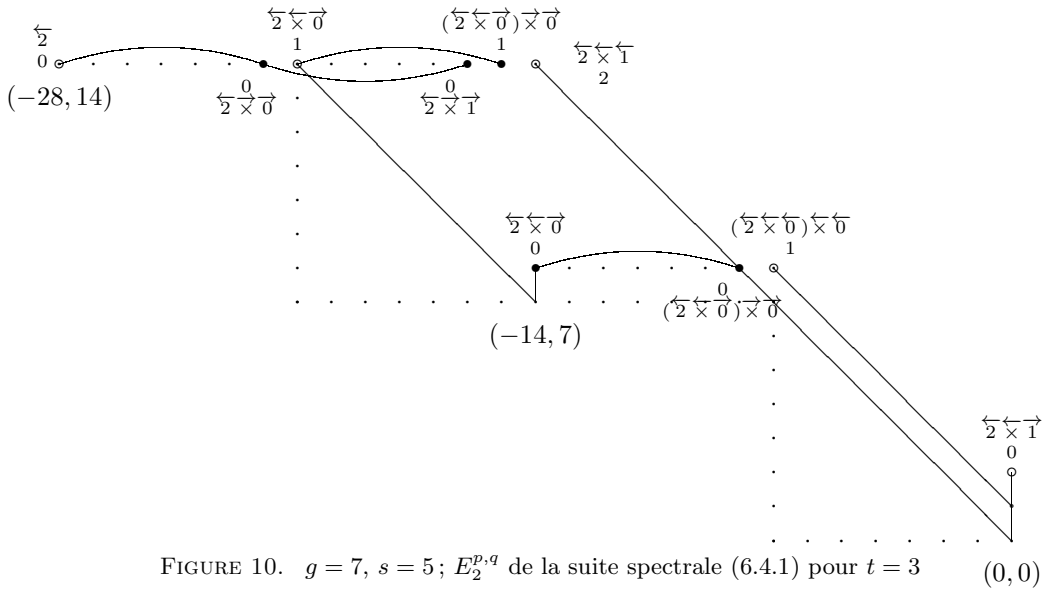


FIGURE 10. $g = 7, s = 5; E_2^{p,q}$ de la suite spectrale (6.4.1) pour $t = 3$

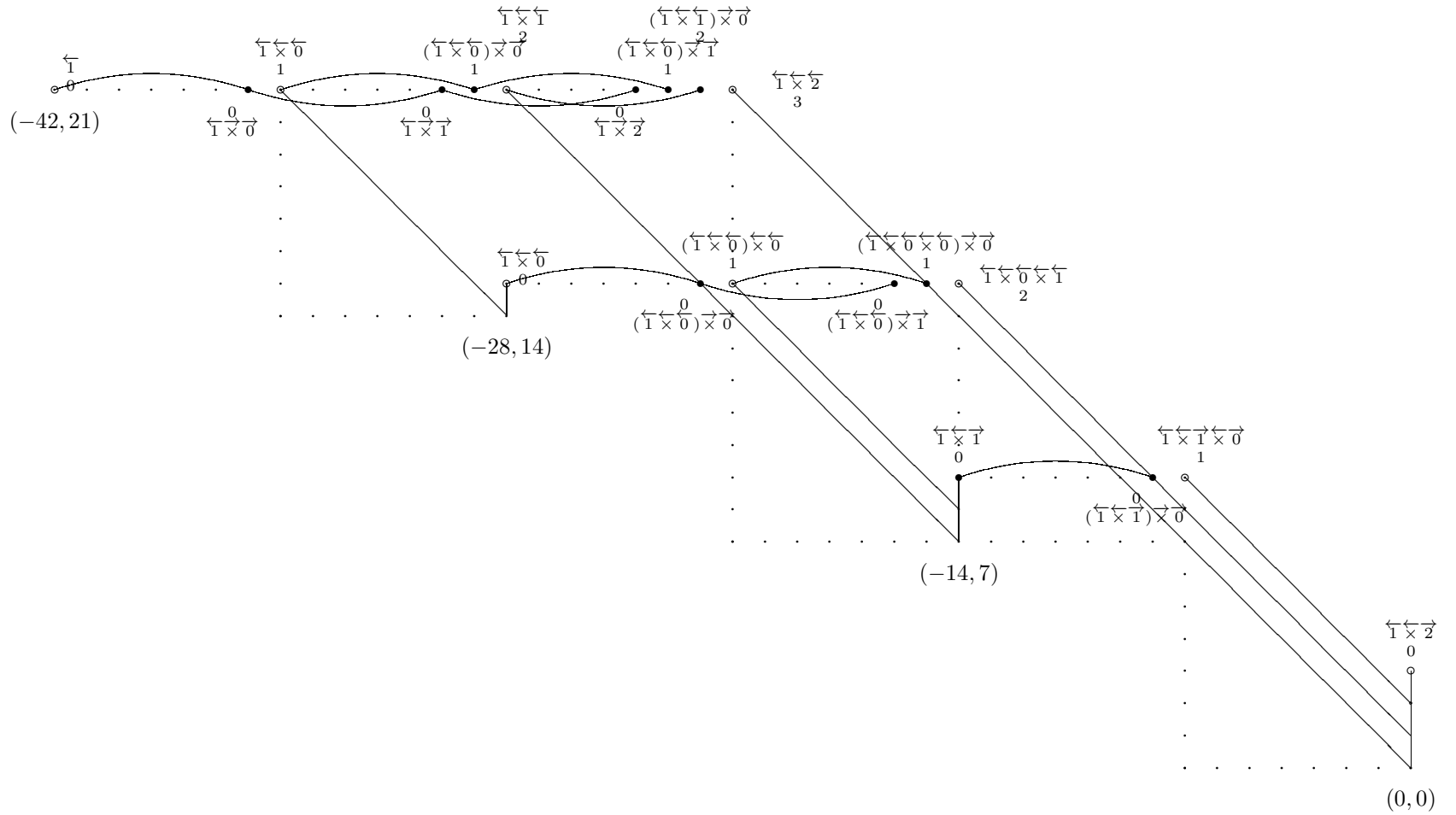


FIGURE 11. $g = 7, s = 5$; $E_2^{p,q}$ de la suite spectrale (6.4.1) pour $l = 2$

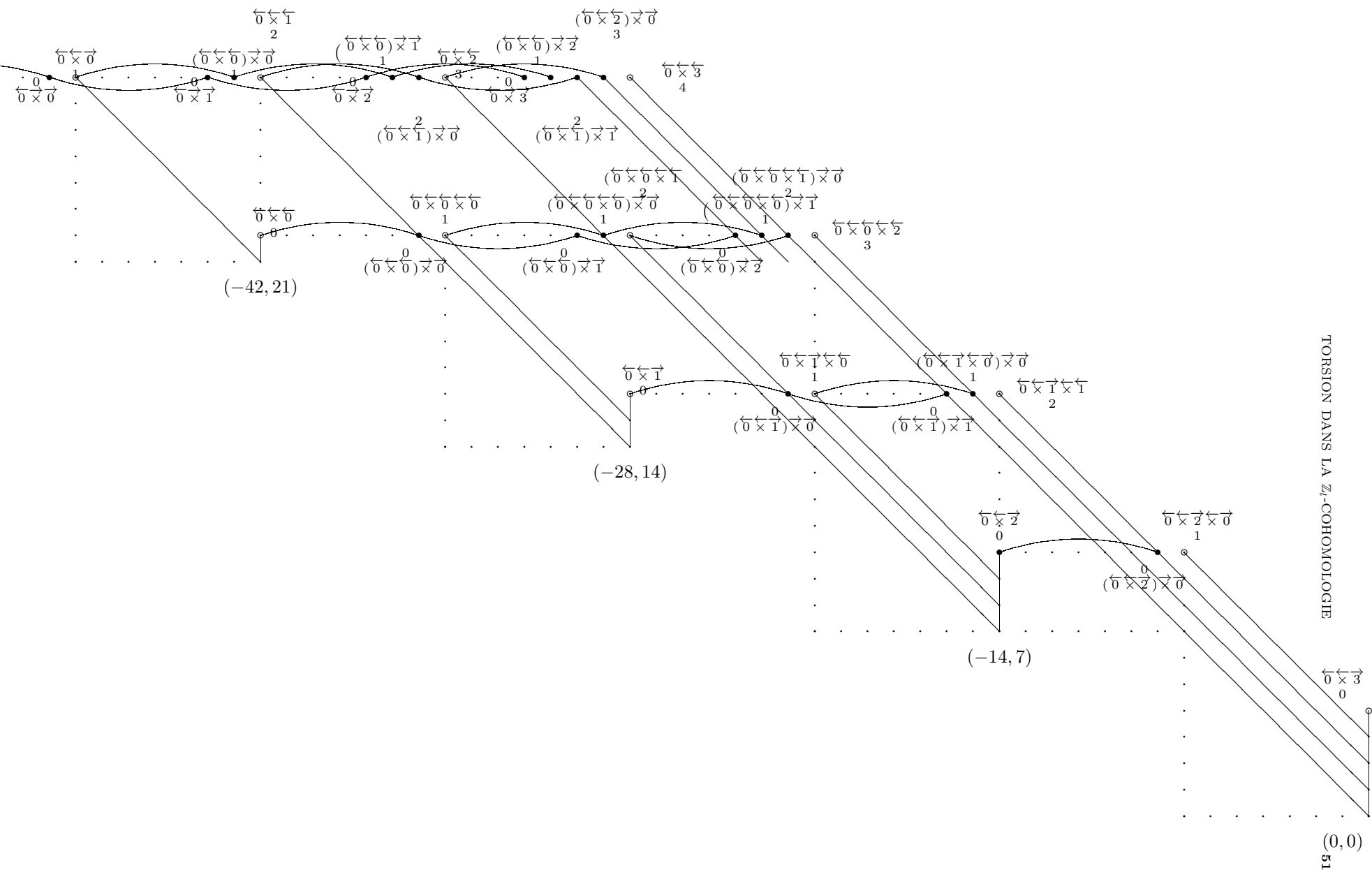


FIGURE 12. $g = 7, s = 5$; $E_2^{p,q}$ de la suite spectrale (6.4.1) pour $l = 1$

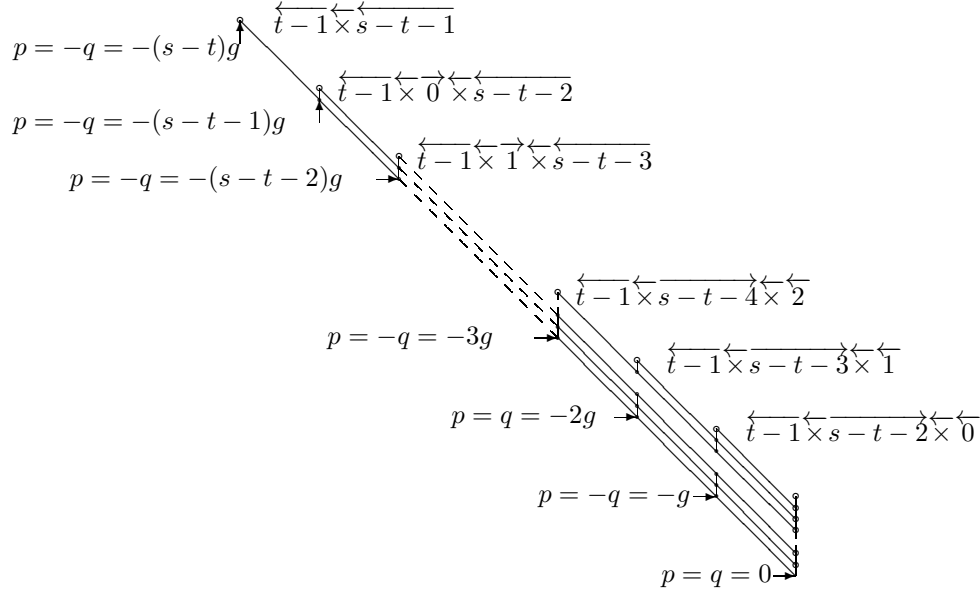


FIGURE 13. parties de poids $(s-t)(g+1)$ de la fibre aux points supersinguliers des $E_2^{p,q}$ de la suite spectrale (6.4.1)

Références

- [1] P. Boyer. Cohomologie des systèmes locaux de harris-taylor et applications. *soumis*, 2006.
- [2] P. Boyer. Monodromie du faisceau pervers des cycles évanescents de quelques variétés de shimura simples et applications. *soumis*, 2006.
- [3] J.-F. Dat. v -tempered representations of p -adic groups. I. l -adic case. *Duke Math. J.*, 126(3) :397–469, 2005.
- [4] Laurent Fargues. Dualité de poincaré et involution de zelevinsky dans la cohomologie étale équivariante des espaces analytiques rigides. *à paraître*, 2006.
- [5] William Fulton and Joe Harris. *Representation theory*, volume 129 of *Graduate Texts in Mathematics*. Springer-Verlag, New York, 1991. A first course, Readings in Mathematics.
- [6] M. Harris, R. Taylor. *The geometry and cohomology of some simple Shimura varieties*, volume 151 of *Annals of Mathematics Studies*. Princeton University Press, Princeton, NJ, 2001.
- [7] Tetsushi Ito. Hasse invariants for somme unitary shimura varieties. *Math. Forsch. Oberwolfach report 28/2005*, pages 1565–1568, 2005.
- [8] Bernard Leclerc, Jean-Yves Thibon, and Eric Vasserot. Zelevinsky’s involution at roots of unity. *J. Reine Angew. Math.*, 513 :33–51, 1999.
- [9] P. Schneider, U. Stuhler. Representation theory and sheaves on the Bruhat-Tits building. *Inst. Hautes Études Sci. Publ. Math.*, 85 :97–191, 1997.
- [10] Marie-France Vignéras. *Représentations l -modulaires d’un groupe réductif p -adique avec $l \neq p$* , volume 137 of *Progress in Mathematics*. Birkhäuser Boston Inc., Boston, MA, 1996.
- [11] Marie-France Vignéras. Cohomology of sheaves on the building and R -representations. *Invent. Math.*, 127(2) :349–373, 1997.
- [12] Marie-France Vignéras. Induced R -representations of p -adic reductive groups. *Selecta Math. (N.S.)*, 4(4) :549–623, 1998.